

核磁気共鳴装置の 原理から応用まで

2014. 5. 12

岡山大学大学院NMRユーザーセミナー

自然科学研究科（工学系）片桐利真

NMRの歴史

NMRは「高度技術」の固まり、
繊細な装置であることの理解。



Wolfgang Pauli

夜明け前

- ・ 1924 パウリ 原子核は磁石と見なしえることを指摘
- ・ 1934 ラービ 分子線磁気共鳴法による核磁気モーメントの測定
- ・ 1936-42 ホルター 核磁気共鳴の観測失敗 資料LiF(Li) 明礬(H) エネルギーの吸収を熱量計で測定しようとする。

特に $I=1/2$ の核に対しては

ホルター失敗の理由

$$\Delta E = \gamma \frac{h}{2\pi} B_0 \quad (1.6)$$

となる。

〔参考〕ここで、この ΔE がどの程度の大きさかを見積もってみよう。いわゆる 100MHz 分光器で ^1H NMR を測定する場合を考える。式(1.6)に必要な数値を示す。

$$\begin{aligned}\gamma_{\text{H}}^{*1} &= 2.6752 \times 10^8 \text{ kg}^{-1} \text{ s A (SI)} \\ &= 2.6752 \times 10^4 \text{ rad Gauss}^{-1} \text{ s}^{-1} \text{ (cgs)} \\ h &= 6.6256 \times 10^{-34} \text{ J s} (= \text{m}^2 \text{ kg s}^{-1}) \text{ (SI)} \\ B_0 &= 2.3490 \text{ T} (= \text{kg s}^{-2} \text{ A}^{-1}) \text{ (SI)}^{*2} \\ &= 23,490 \text{ Gauss (cgs)} \\ \Delta E &= 2.6752 \times 10^8 \times \frac{6.6256 \times 10^{-34}}{2} \times 2.3490 \text{ J} \\ &= 2.08 \times 10^{-25} \text{ J (SI)} \\ &= 4.98 \times 10^{-24} \text{ cal (cgs)}\end{aligned}$$

これは核 1 個あたりであるから、わかりやすいようにアボガドロ定数 N_A をかけて 1 モルあたりのエネルギー差 ΔE (mol) に換算すると

$$\begin{aligned}\Delta E \text{ (mol)} &= \Delta E \times N_A = 0.125 \text{ J mol}^{-1} \text{ (SI)} \\ &= 0.029 \text{ cal/mol (cgs)}\end{aligned}$$

この値がどんなに小さいか想像することができよう。1 モル (18g) の水の温度を 1 $^{\circ}\text{C}$ 上げるのに必要な熱量の $1/600$ である。

ボルツマン分布では、さらに $1/20,000$ 。従って $1/12,000,000$ $^{\circ}\text{C}$ の上昇

核磁気共鳴装置は
弱いエネルギーを扱う

デリケートなマシン

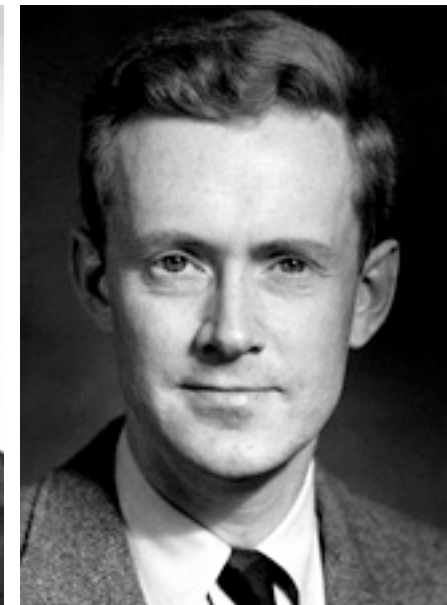
黎明期

- 1936-1945 第2次世界大戦 レーダー技術の発達（高出力安定な電波源の開発）
- 1945. 12. 24 パーセル 固体パラフィンのNMR観測の報告
- 1946. 1. 26 ブロッホ 水のNMR測定の報告
- 1952 パーセル・ブロッホ ノーベル物理学賞



The Nobel Prize in Physics 1952

"for their development of new methods for nuclear magnetic precision measurements and discoveries in connection therewith"



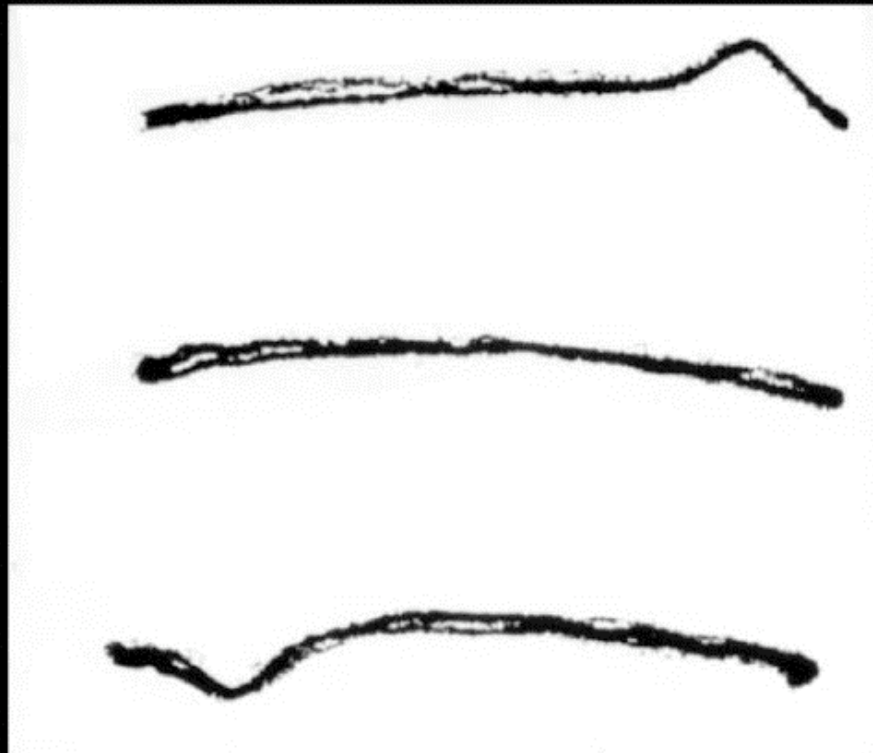
Felix Bloch

E. M. Purcell



KUNGL.
VETENSKAPS AKADEMIEN
THE ROYAL SWEDISH ACADEMY OF SCIENCES

*Proton signal from water at 7.76 MHz, sinusoidal field modulation,
Bloch, Hansen, and Packard Phys. Rev. 70, 474 (1946)*

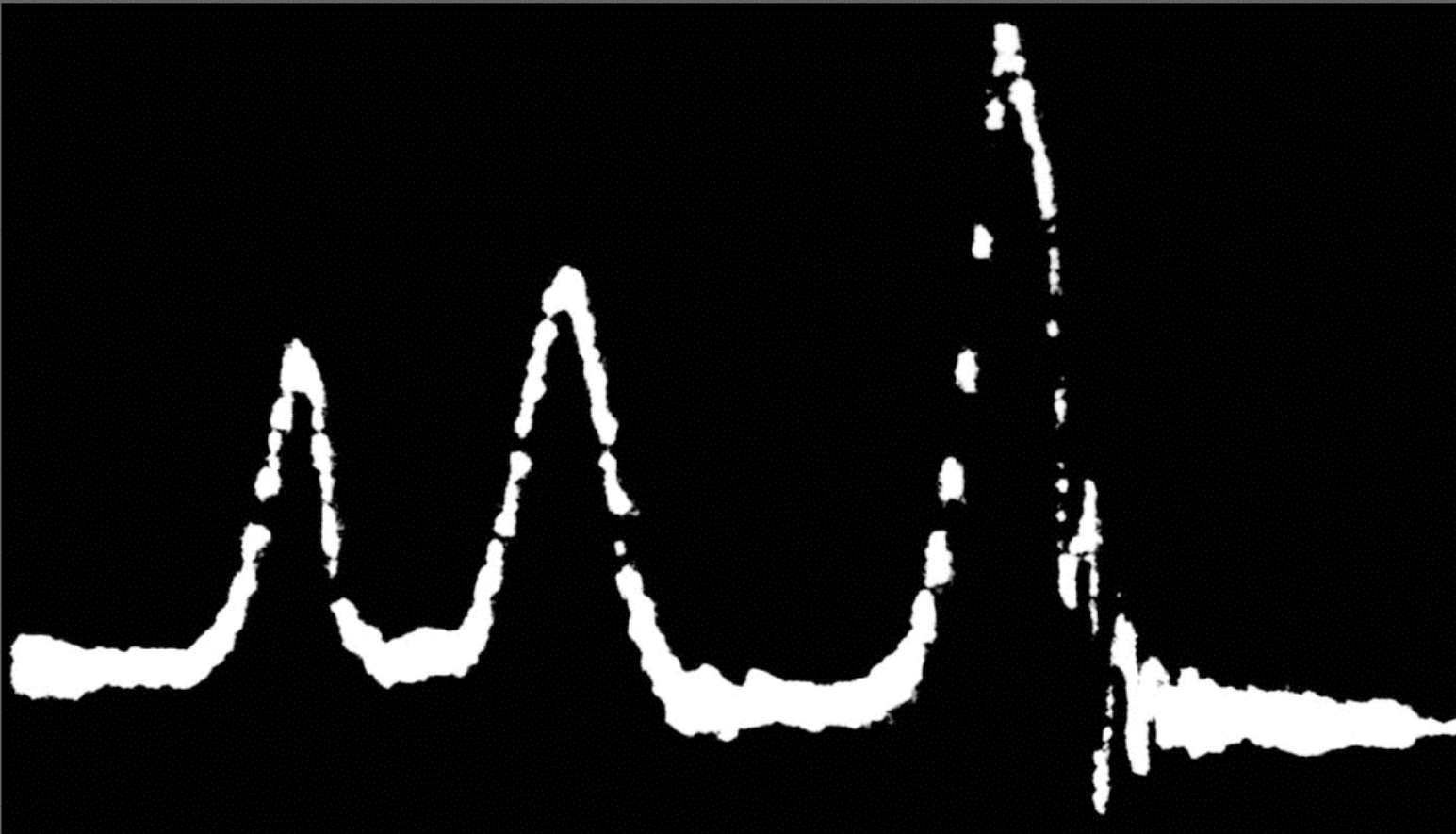


First NMR signals, 1946

The nuclear magnetic resonance of protons in water was first detected in early January 1946 by graduate student Martin Packard, working with Bloch and Hansen
F. Bloch, W.W. Hansen, and M. Packard, "Nuclear Induction," Phys. Rev 69, 127 (1948).

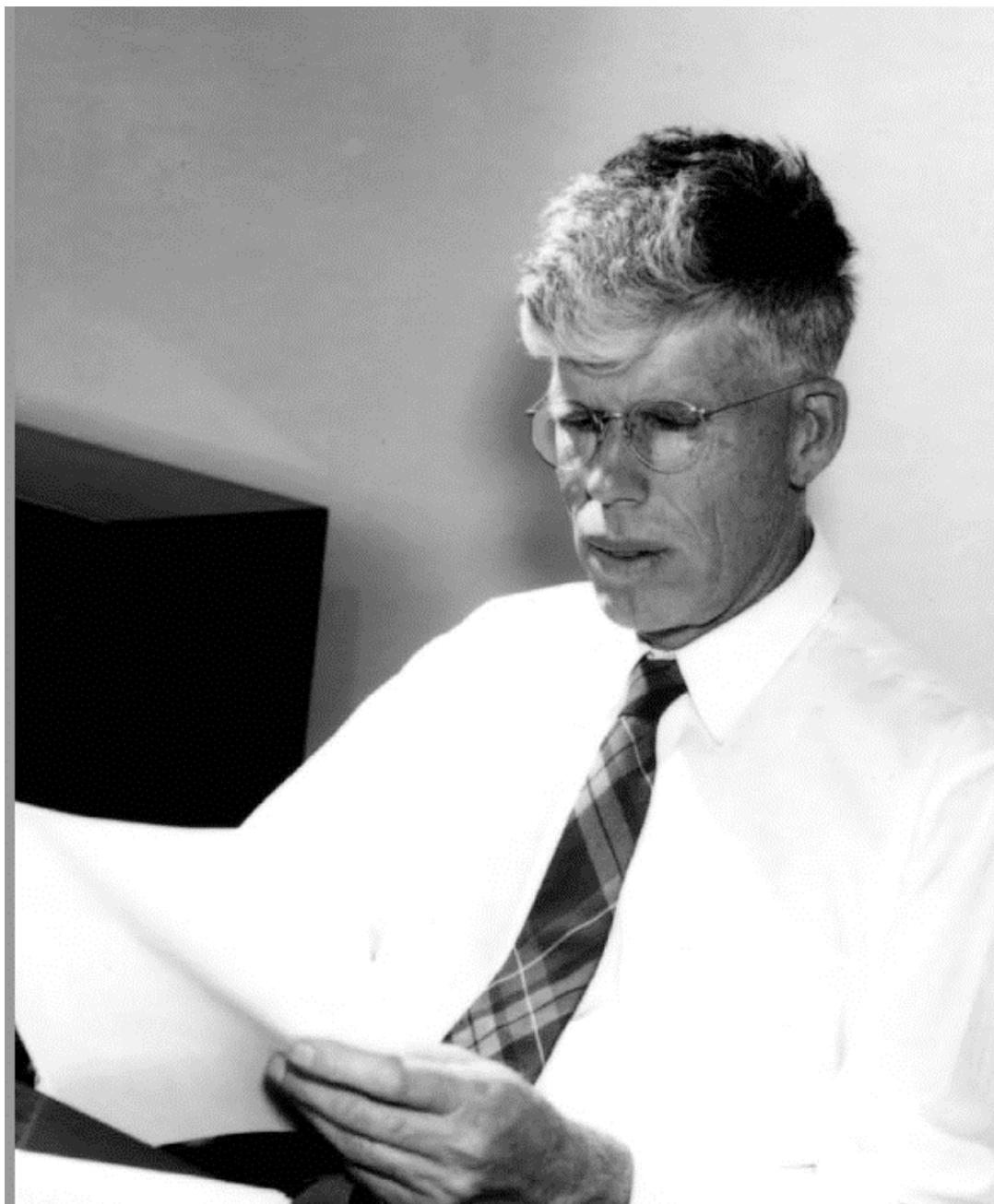
基盤期

- ・ 1951 ケミカルシフトの発見
- ・ 1953 Varian社の参入
- ・ 1954 資料回転による分解能の向上 微細構造の発見
- ・ 1961 Varian社A-60発売
- ・ 1960's末 FT-NMRの開発 トランジスター コンピュータ技術の発達



Chemical Shift Observed in Ethanol, 1951

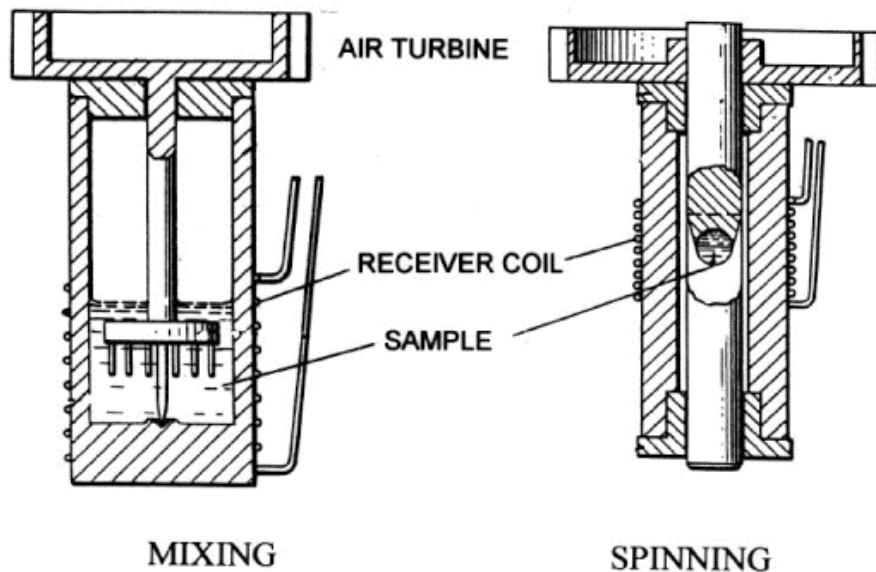
At Stanford in 1951, Jim Arnold, Martin Packard, and Shrinivas Sharmati observed a chemical shift between protons within the same molecule *J. Chem. Phys.*, 19, 507 (1951). Russell Varian had long been an advocate of NMR, and the significance of this advance and its potential impact on chemical analysis prompted the initiation of an active NMR applications development effort, headed by a new employee Jim Shoolery.



Russell Varian

Russell Varian returned to Stanford in July 1946 from his radar work at Sperry Laboratories on Long Island. He believed that nuclear magnetic resonance would be used for more than just the measurement of magnetic field strength and nuclear magnetic moments, and felt that NMR would be even more useful in chemical analysis. Bloch and Hansen were not convinced but requested that he prepare an initial draft of a patent for them.

FIRST EXPERIMENTS WITH SAMPLE SPINNING



A Line-Narrowing Experiment

W. A. ANDERSON AND J. T. ARNOLD
Stanford University, Stanford, California
(Received February 19, 1954)

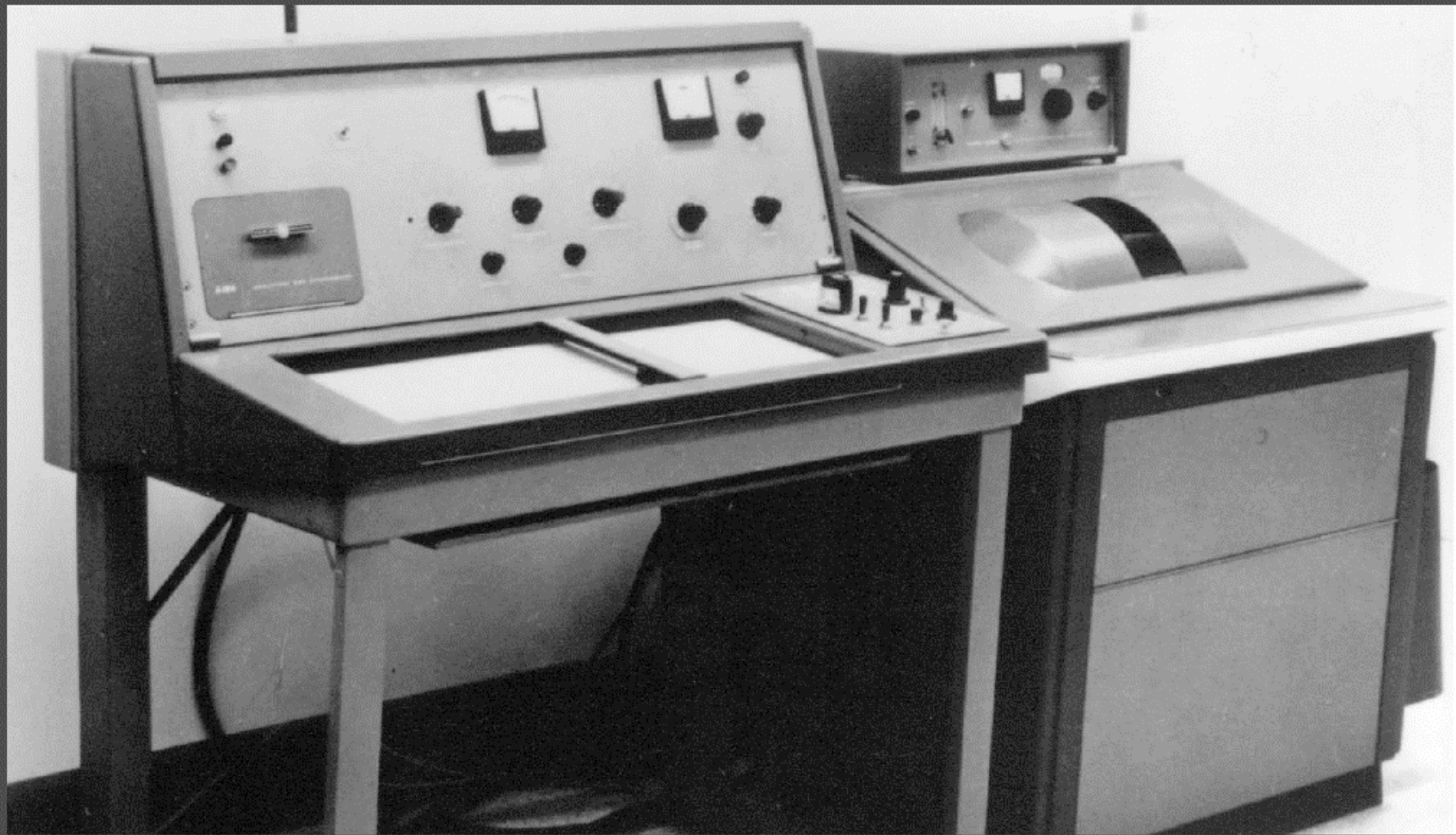
Phys. Rev. 94, 497 (1954)



SPINNING VS. NON-SPINNING

Sample Spinning, 1954

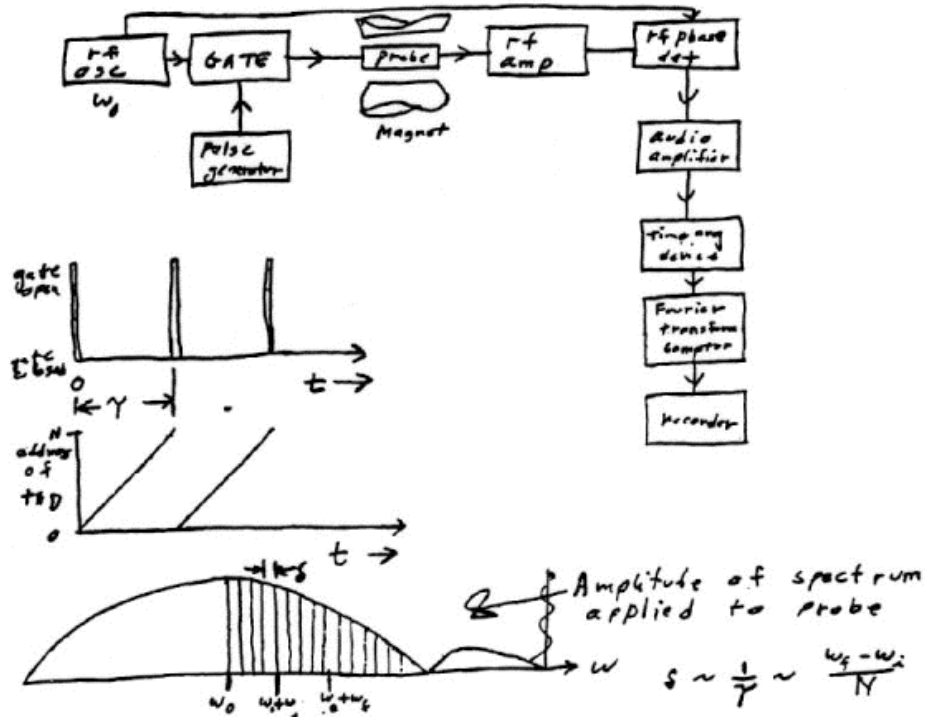
The resolution of NMR was greatly enhanced by the introduction of sample spinning, a concept developed by Felix Bloch and first demonstrated by Wes Anderson and Jim Arnold at Stanford. The drawing shown here is from the patent filed for Bloch by Varian in 1954.



The Varian A-60, 1961

The Varian A-60 NMR spectrometer, introduced in 1961, was designed for the laboratory chemist. It included calibrated chart paper and a built-in signal integrator.

From Weston Anderson's Engineering Notebook dated June 3, 1964, outlining the idea of pulse-excited high resolution NMR spectroscopy.



Pulse-Excited High Resolution NMR, 1964

This diagram from Wes Anderson's engineering notebook, dated June 3, 1964, outlined the idea of pulse-excited high resolution NMR spectroscopy. The practical application of the idea was later implemented by Richard Ernst, working in Anderson's laboratory.

展開期

- ・ 1960's 超伝導NMRの開発 600MHz ICの登場
- ・ 1980's エルンストら 2次元NMRの研究 LSIの実用化 MRIの開発
- ・ 1991 エルンスト ノーベル化学賞
- ・ 2001 1GHzNMRの登場
- ・ 2003 950MHz NMR市販



The First High Resolution "Supercon" NMR

After receiving his PH.D. at Stanford under Professor Block, Harry Weaver joined Varian in 1954. Here he developed the first superconducting NMR magnet using a niobium-titanium alloy. The result was the Varian HR-200, the HR-220 (shown here) and later the HR-300 high resolution NMR spectrometers.



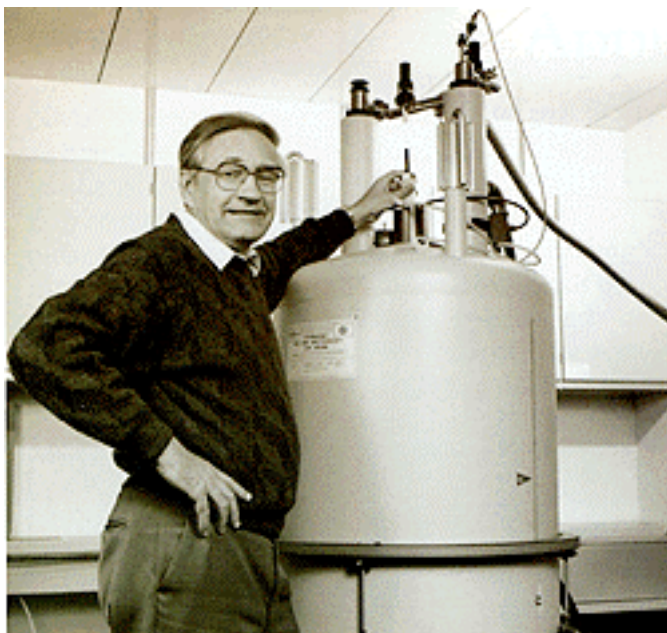
FT NMR in Practice, 1965

Ernst's apparatus worked well, but was limited by the computing technology of 1965. NMR data was read out of the C-1024 averaging computer on paper tape, transferred to punched cards, and taken to the IBM 7090 computer in an adjacent building. Several days later, after waiting for payroll and factory inventory processing, the Fourier transform was complete.



The Nobel Prize in Chemistry 1991

"for his contributions to the development of the methodology of high resolution nuclear magnetic resonance (NMR) spectroscopy"



KUNGL.
VETENSKAPS AKADEMIEN
THE ROYAL SWEDISH ACADEMY OF SCIENCES

Richard R. Ernst

900MHz NMR magnet



950MHz NMR magnet

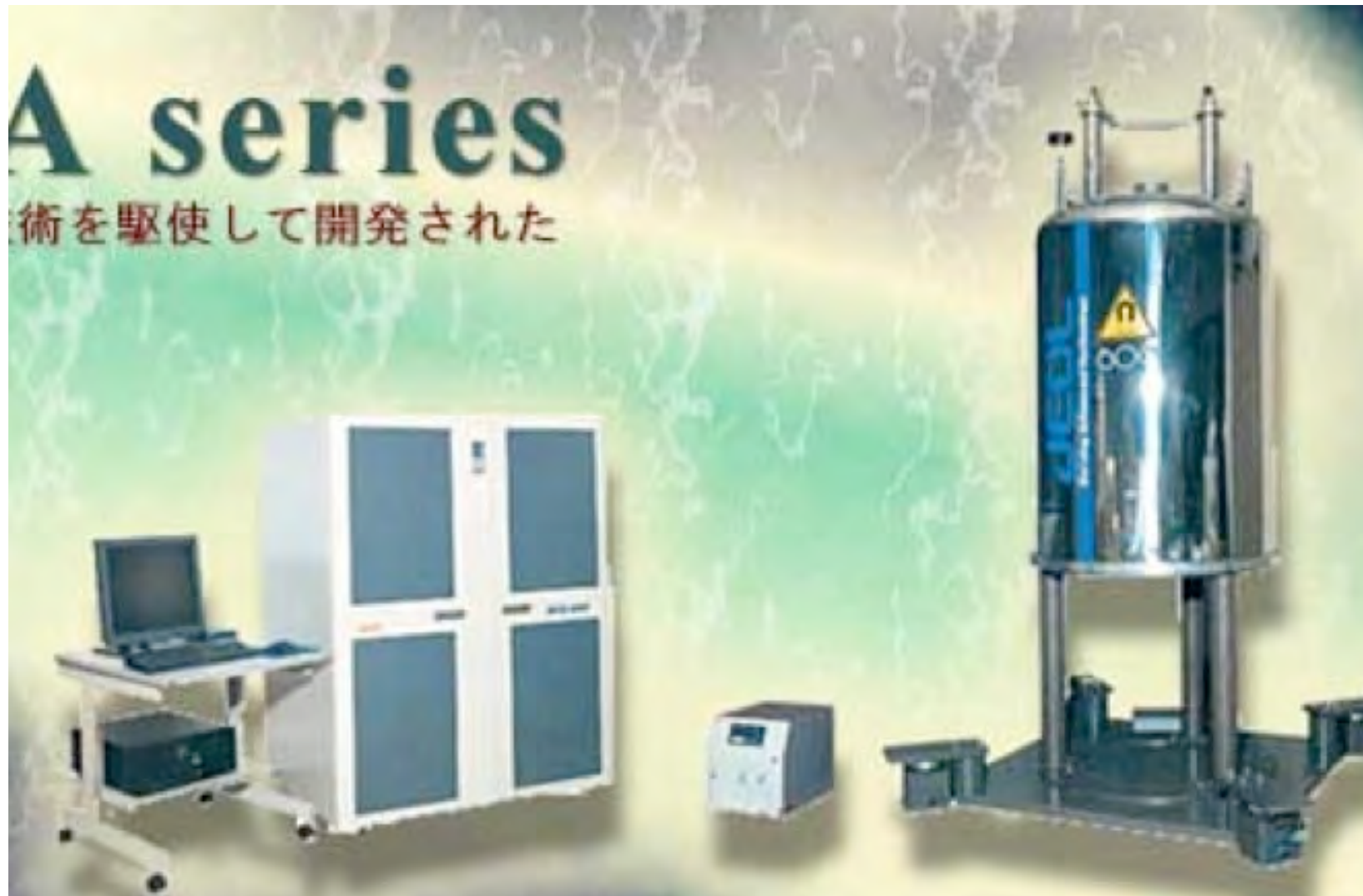
Varian NMR Systems 800-950 MHz



Varian, Inc. is a recognized world leader and innovator in magnetic resonance systems. The DirectDrive™ architecture, DirectDigital™ receiver and advanced phase and amplitude modulation characteristics provide superior data for a variety of applications including:

- Bio-Liquids
- Bio-Solids
- Small Molecules (liquid and solid state)
- Polymers and Materials (liquid and solid state)

1 GHz NMR magnet



NMRは過去の叡智の結晶

デリケートなわずかなエネルギー
を検出する。

丁寧に扱わなければいけません！

未来へ

- ・ 高周波数 S/N比の向上
- ・ 高分解能 toluene 4 級炭素線幅 0.0077 Hz
- ・ Shim技術の進歩: 100MHz 9項, 300MHz 17項, 500-800MHz 21項, 900MHz 43項.
- ・ 多情報 NOE, スピン相関, 多次元化,
- ・ 極限化 固体、微量→LCとの組み合わせ

磁気共鳴とは

測定の原理と
機械の基本構造

核はスピン(磁性)をもつことがある

核がスピンを持つ条件

- 原子番号が奇数である
又は
- 質量数が奇数である

→陽子数又は中性子数のいずれかが奇数

測定可能な核種

実効測定感度: R_X , 共鳴周波数: ν_X , 核スピル: I_X , 同位体存在比: a_X
 1H の $R_X = 100$ c.p.u

$$R_x \propto U_x^3 I_x (I_x + 1) \alpha_x \quad \begin{matrix} {}^{13}C \\ {}^{19}F \end{matrix} = 0.017 \quad 78.1$$

表1. 核磁気モーメントを持つ安定同位体の性質 ***

この弱い核スピンが強磁場中
で2つの状態に開裂

ゼーマン開裂

磁場の中のスピン

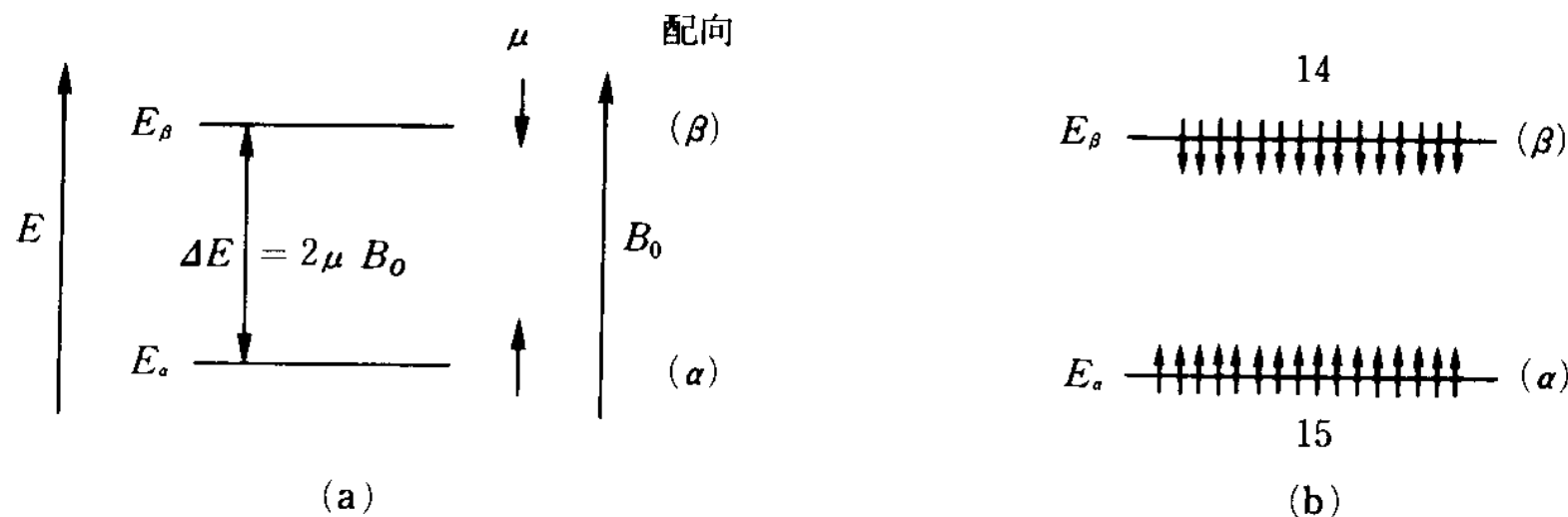
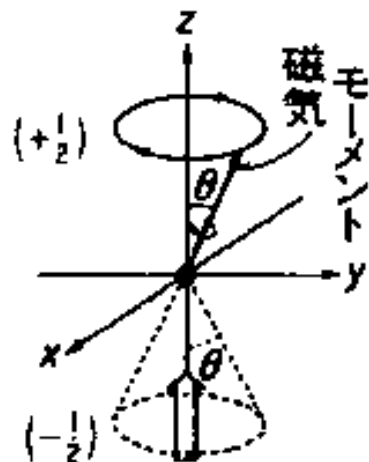
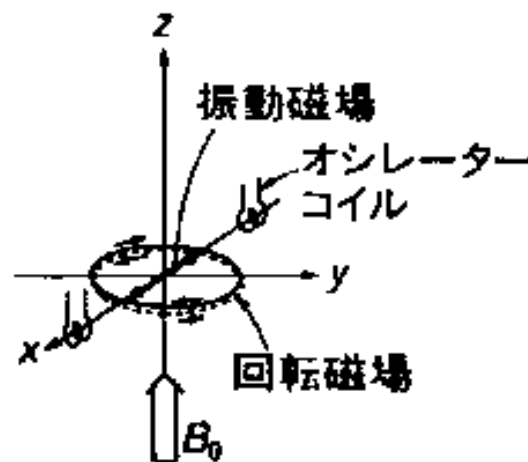


図1.1 磁場の中におかれた原子核。(a)エネルギー準位,(b)核のエネルギー準位への分布

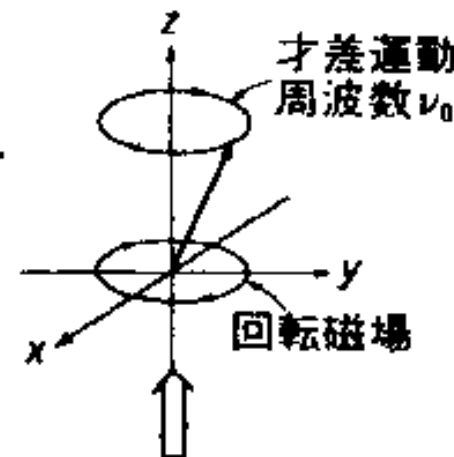
磁場の中のスピン



回転している核が B_0 の中におかれると、その磁気モーメントは z 軸に対して θ の角度になり、コマが首を振るように z 軸を中心に才差運動をする。

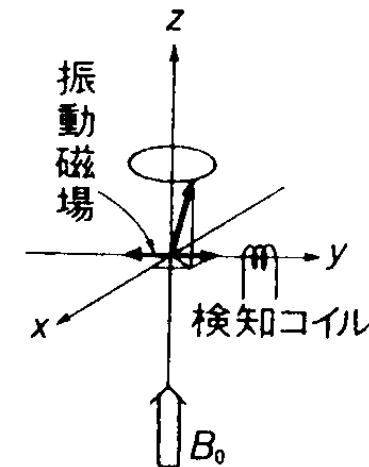
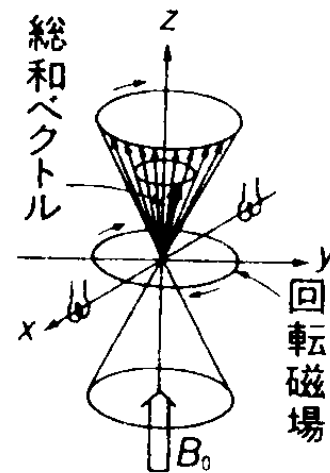
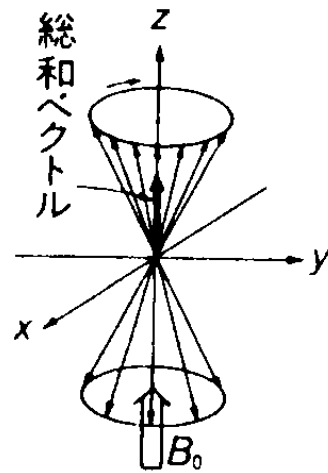


z 軸のオシレーターコイルに交流を流すと、振動磁場が生じ、これは反対方向にまわるふたつの回転磁場を合成したものと考えることができます。



才差運動と同じ方向の回転磁場が、同じ周波数 ν_0 になるとエネルギーの吸収が起り始める。
($\nu_0 = \gamma B_0 / 2\pi$, γ : 磁気回転比, γB_0 : 角速度)

磁場の中のスピン

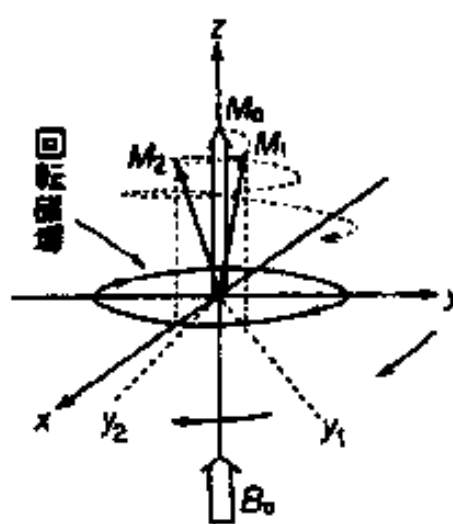


熱平衡状態にある多数の核の磁気モーメントをひとつの座標に示すと、そのベクトル和は xy 軸上は互いに打ち消され、 $+1/2$ 核が $-1/2$ 核より多いので z 軸上ののみの総和ベクトルになる。

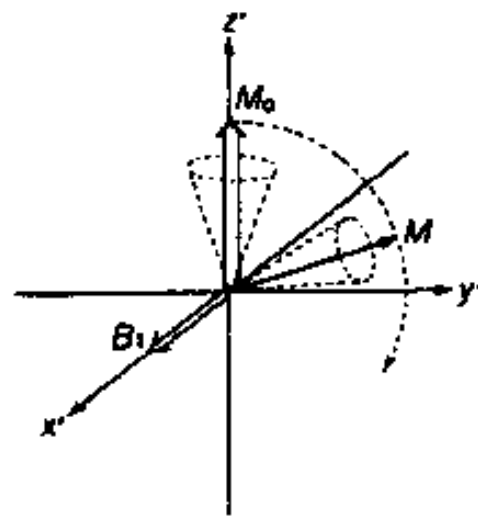
共鳴周波数の回転磁場が照射されると、個々の核スピンの位相が同調して、磁気モーメントが一方にかたよって回転するので総和ベクトルは傾き、これが z 軸を中心に同じ周波数で才差運動をする。

総和ベクトルの才差運動は、 xy 面上にベクトル成分をもち、 z 軸上に振動磁場を与えるので検知コイルに誘起電流を生じる。この電流から NMR 信号(シグナル)が得られる。

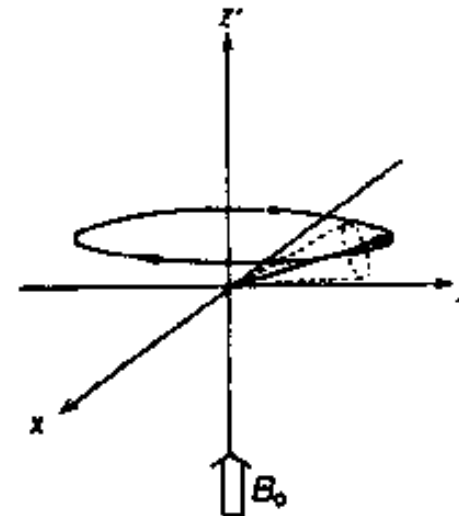
磁場の中のスピン



個々の核の磁気モーメントの総和ベクトル M_0 は、回転磁場が作用するとらせん状に z 軸を回る。これを、 z 軸を中心に回転磁場と同じ角速度で回る座標系で観測すると、 M_0 は常に y 軸上にあることになる。

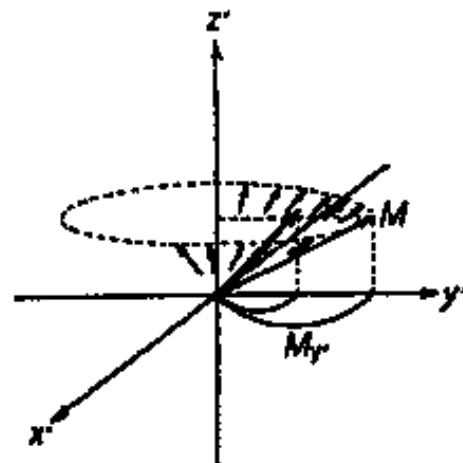


左図を回転座標系 (x' y' z') で示すと回転磁場は B_1 になり、 M_0 は B_1 の磁場*によって x 軸を中心才差運動を中心才差運動をすることになるので y' z' 面を倒れてゆく。このとき点線で示した個々の磁気モーメントも z 軸と共に倒れる。

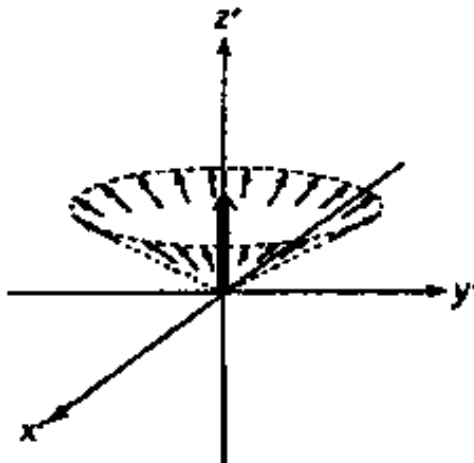


M_0 が一定角倒れた後に回転磁場を切ると、再び B_0 の作用によって M_0 は z 軸を中心に才差運動を始めろ。 M_0 周辺の個々の磁気モーメントも z 軸を回転しながら、だんだんに位相がずれて分散して回転するようになる。

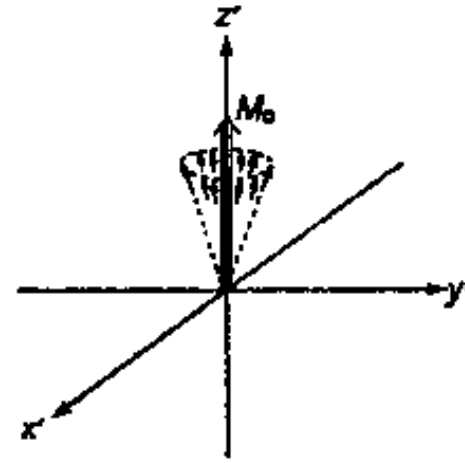
磁場の中のスピン



M_0 の才差運動を回転座標系で観測すると、 M_0 付近にあった個々の磁気モーメントが位相のずれで才差運動の軌道上に分散してゆくので、 M_0 の y' 軸上の成分 $M_{y'}$ はだんだんに減少してゆく。

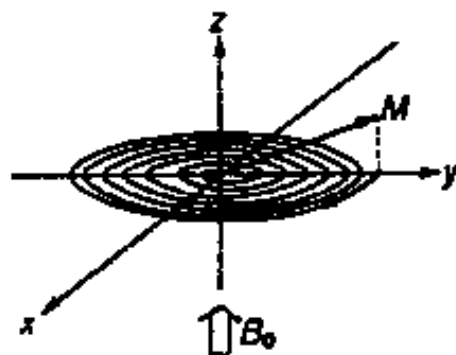


個々の磁気モーメントの才差運動が才差軌道上に均一に分布すると $M_{y'}$ 成分は 0 になり、 $M_{z'}$ 成分のみが残る。この $M_{z'}$ 成分の減少を横緩和 (緩和時間 T_2) という。

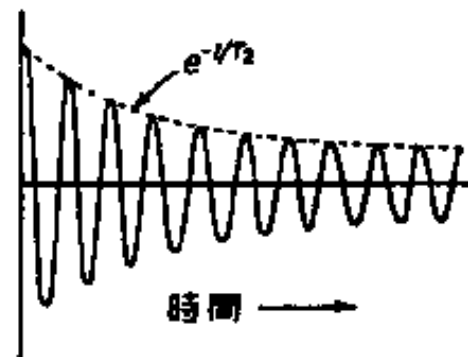


横緩和が始まると同時に、これより遅いが $M_{z'}$ 成分もまた元の状態に復元してゆく。これを縦緩和 (緩和時間 T_1) という。

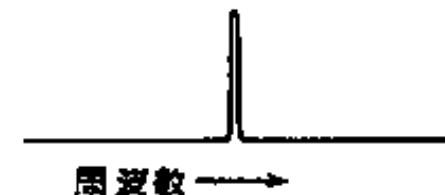
磁場の中のスピン



M_y は y' 軸上を減衰してゆくが、これを固定座標系で見ると渦巻状に減衰してゆくことになる。

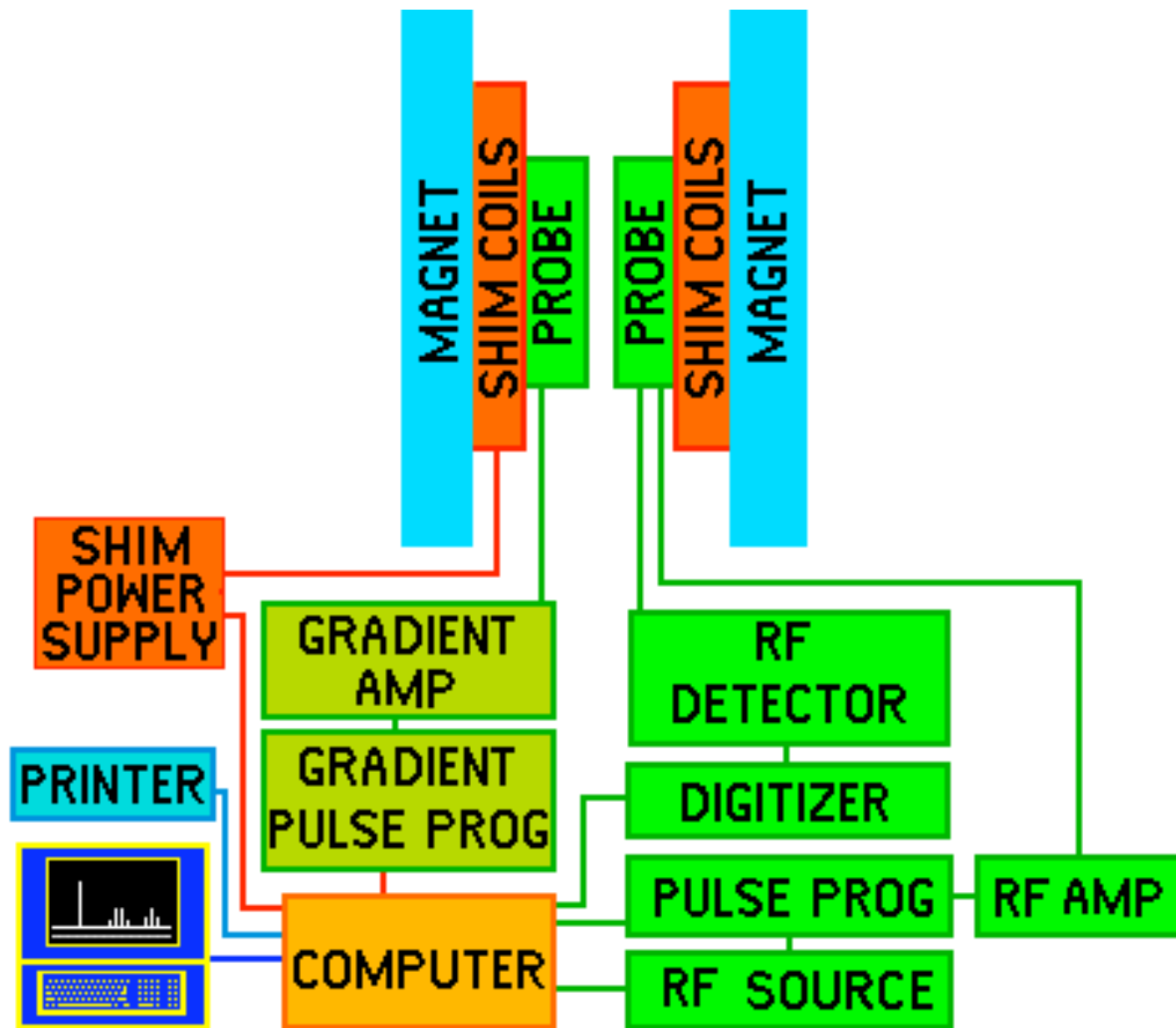


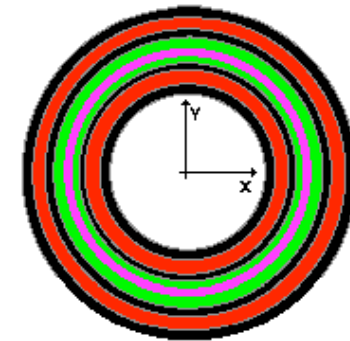
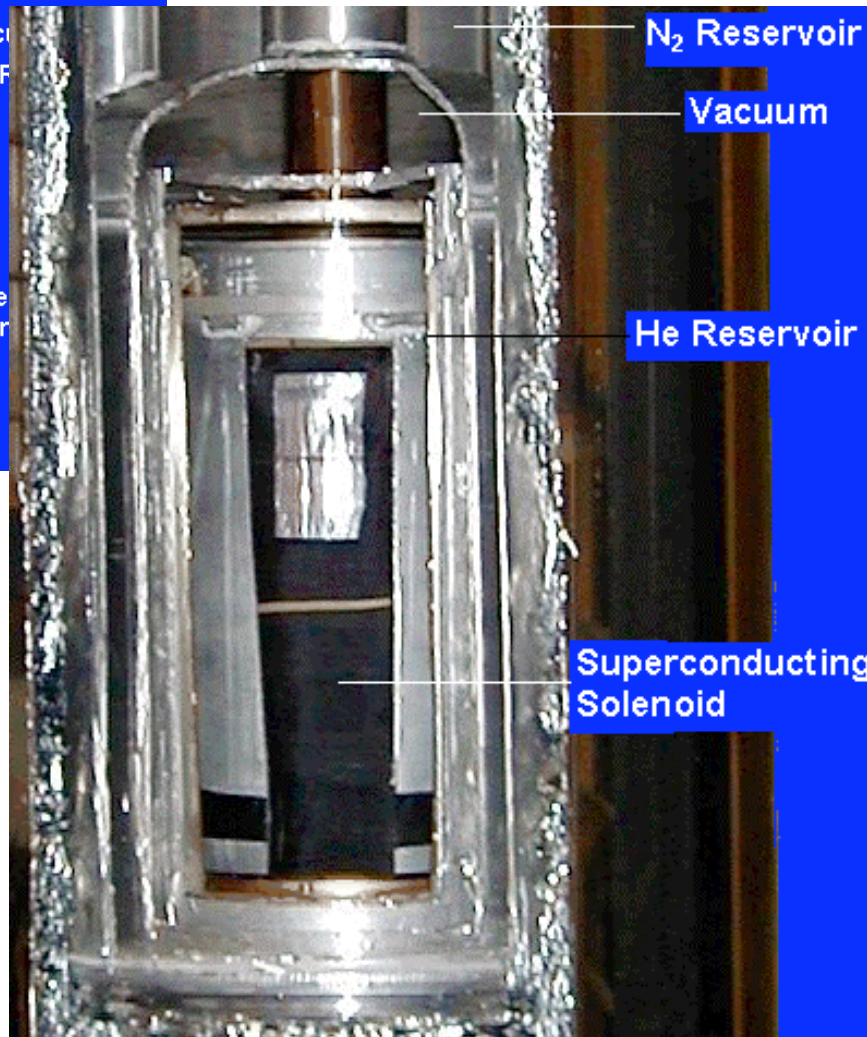
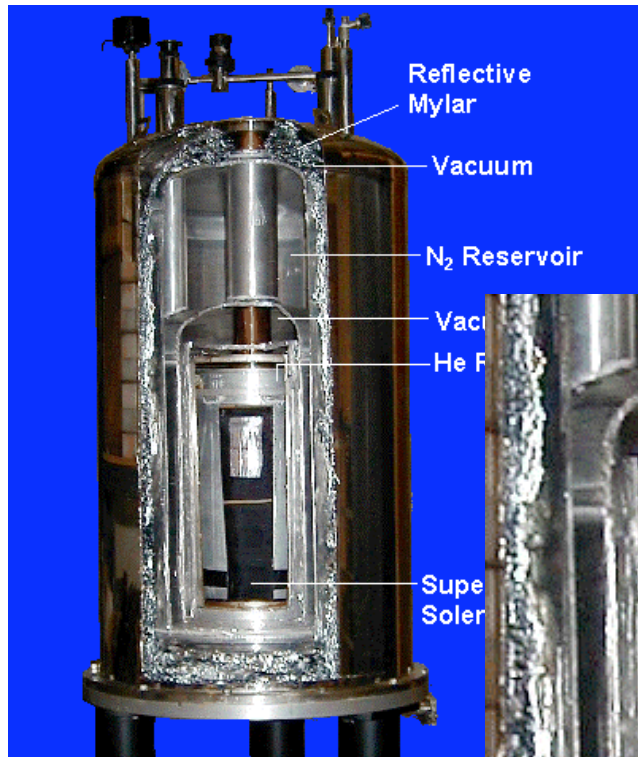
y 軸上の検知器には一定の周期をもち指数関数的に減衰する振動（これを FID 値号* という）が得られる。



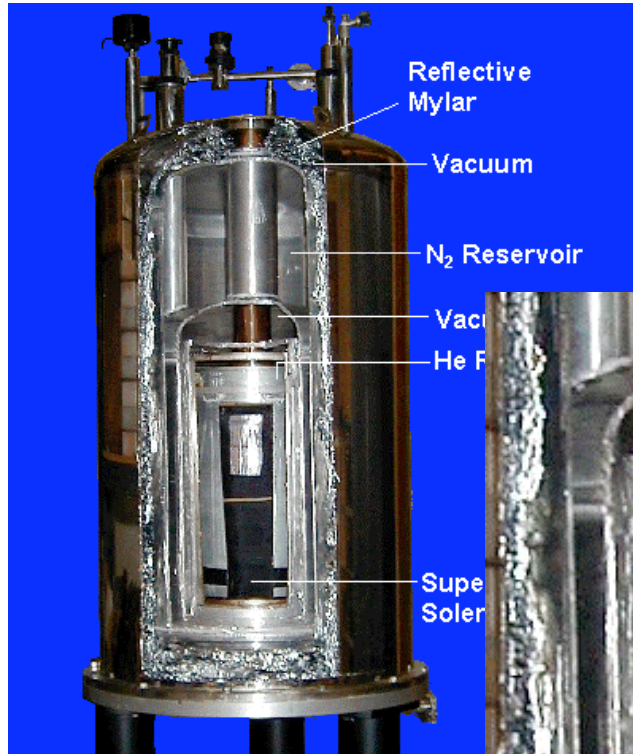
FID 値号から周波数とその強度が求まり、周波数座標に記録すると周波数掃引をした結果と同じになる。

装置の概略

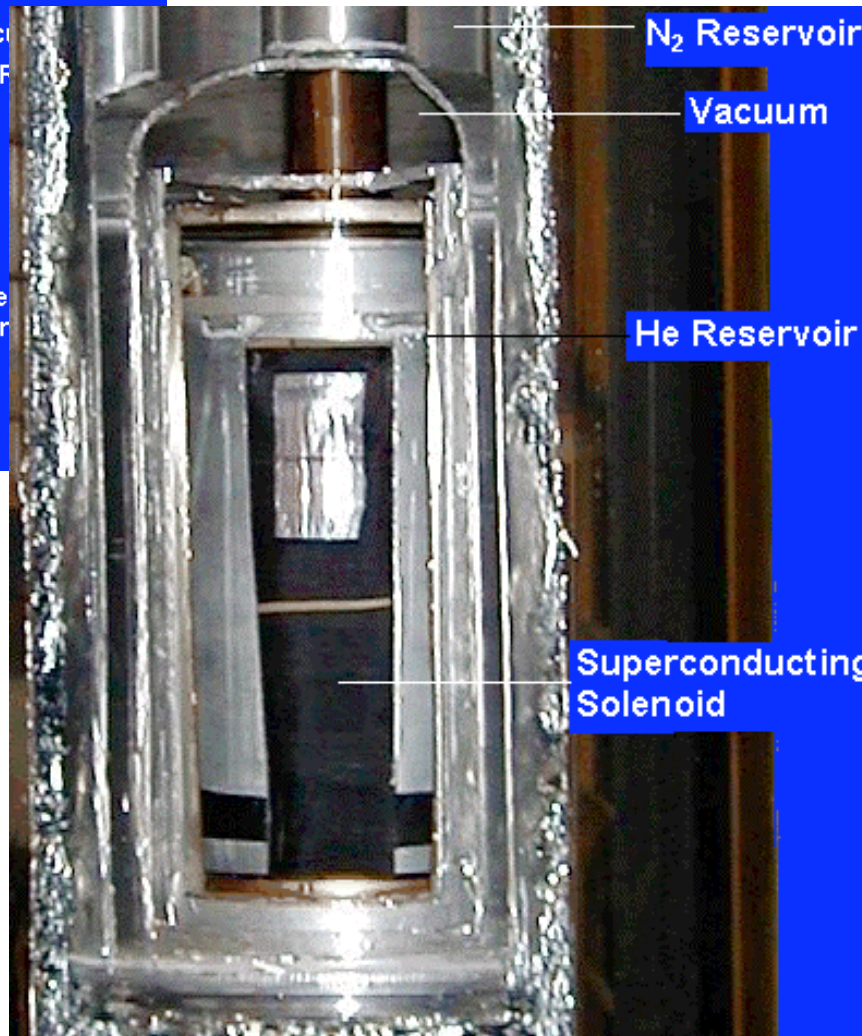




- Vacuum
- Liquid Helium
- Liquid Nitrogen
- Container & Support
- Superconducting Coil

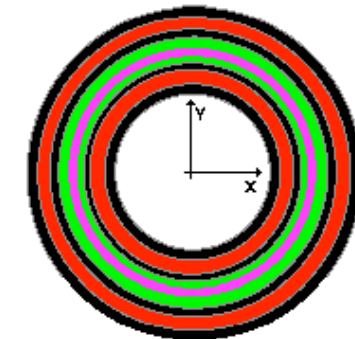


コイルは大電流が流れている
超伝導が破れるとクエンチする。

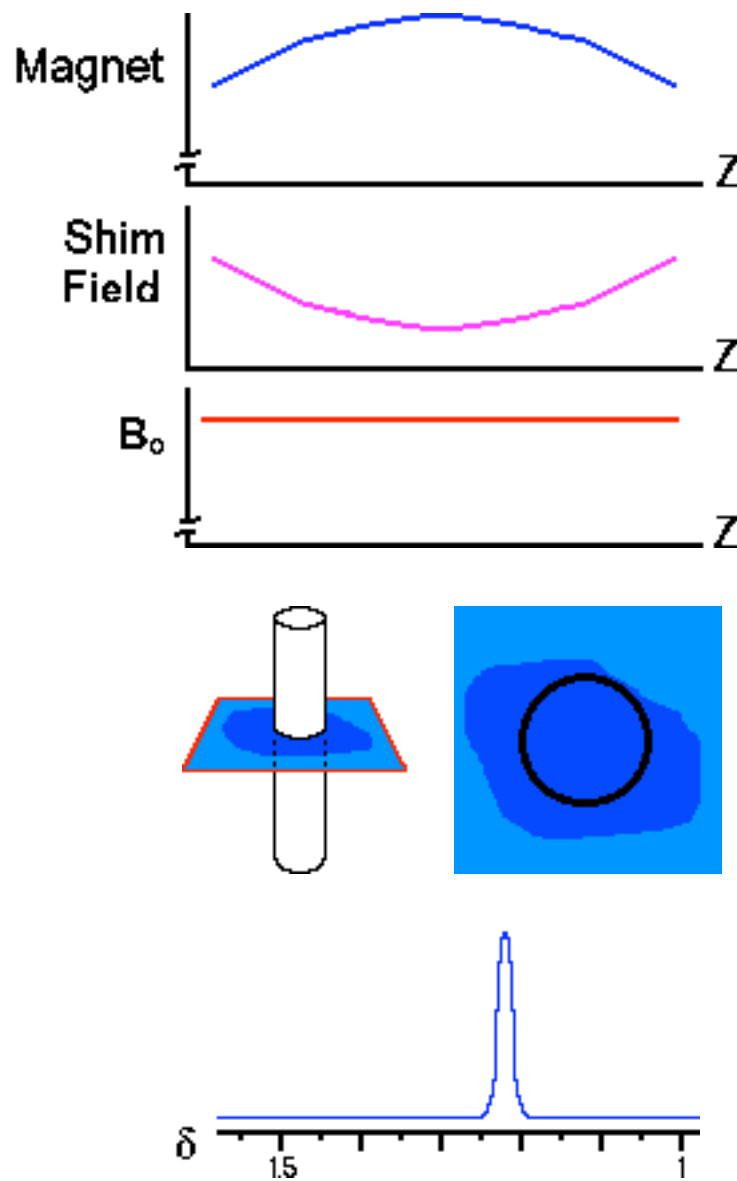


とてつもなく
強力な空気砲

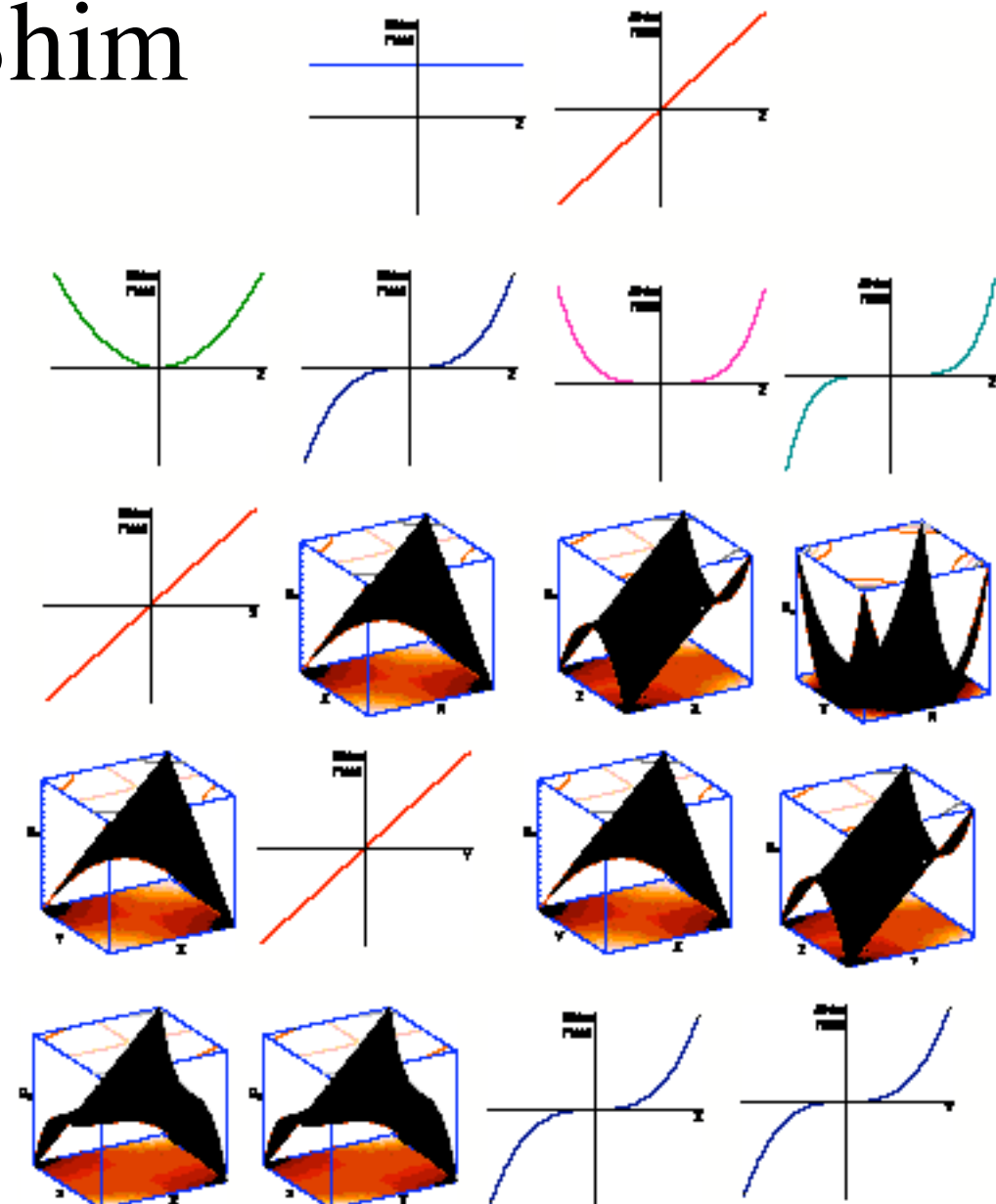
誤った行為は
危険！



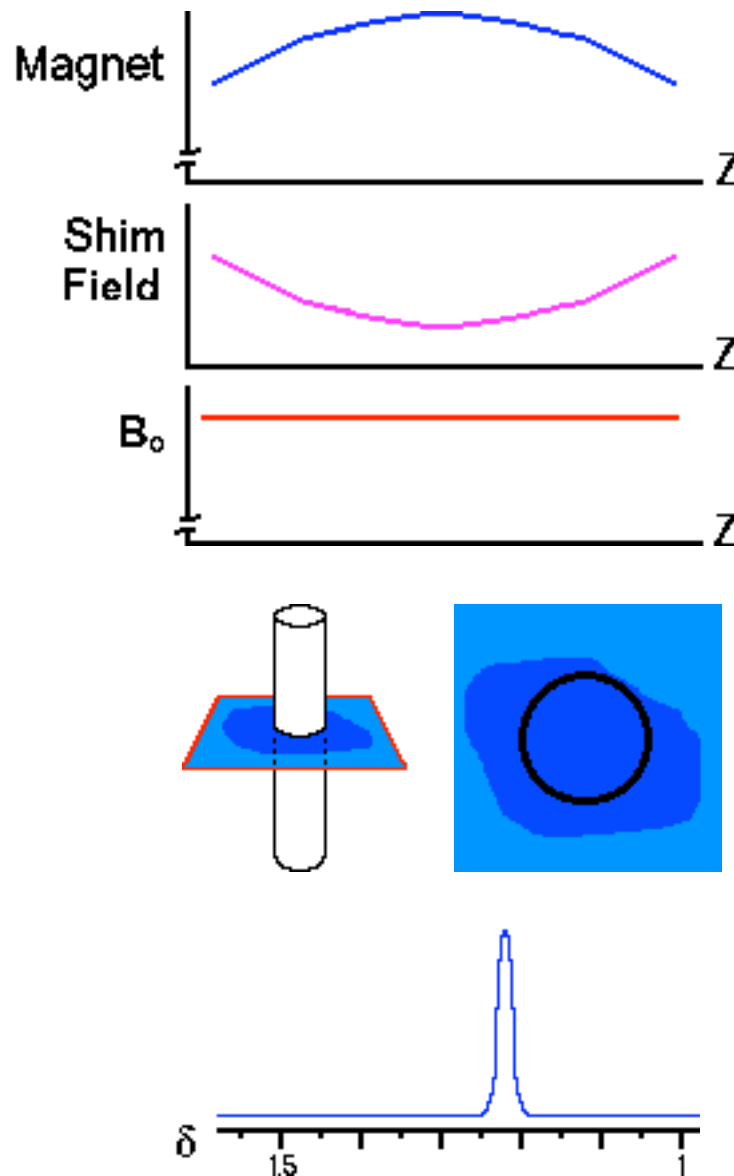
- Vacuum
- Liquid Helium
- Liquid Nitrogen
- Container & Support
- Superconducting Coil



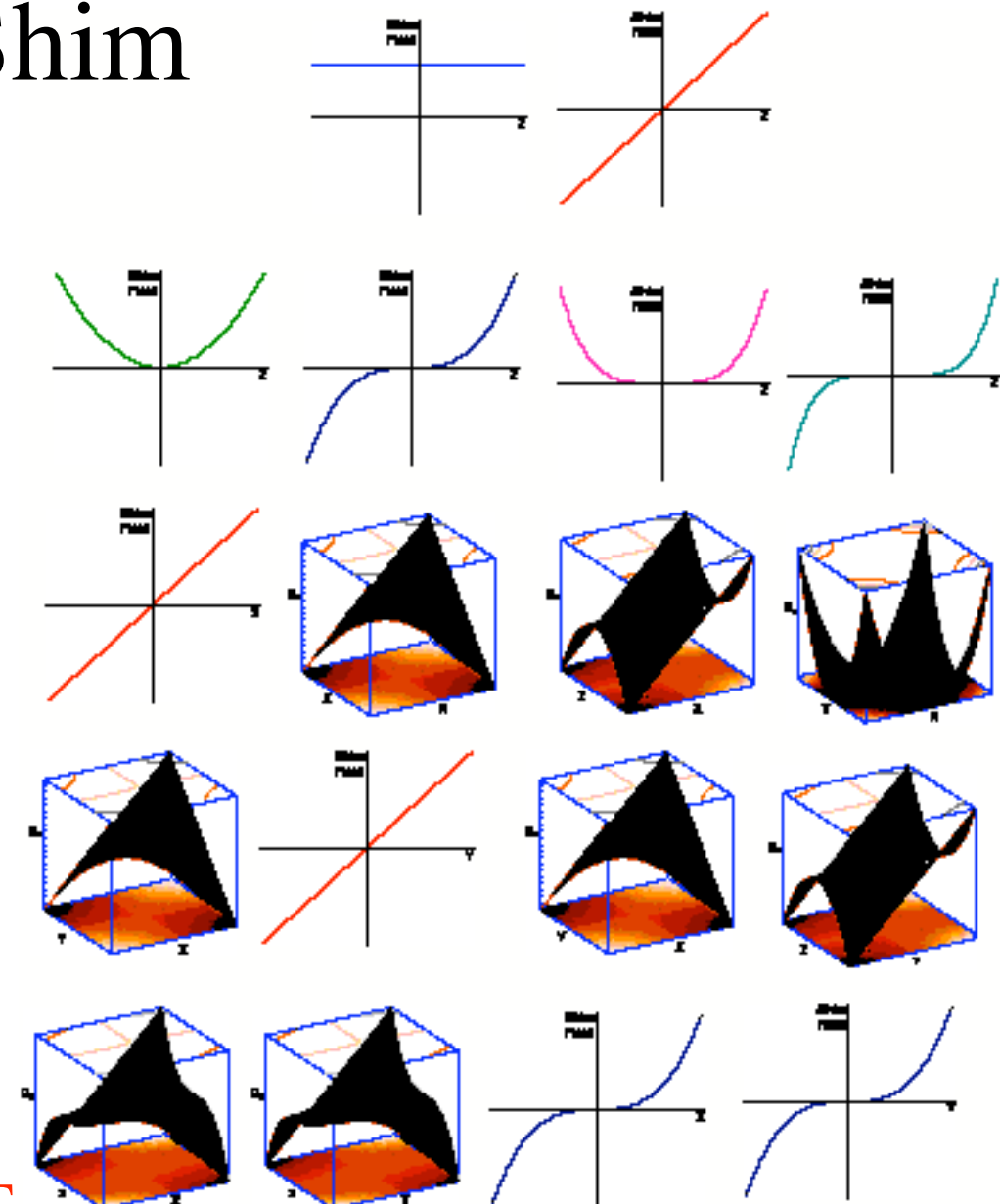
Shim



磁場を均一に保つ



Shim



細い細い銀線、鋸びたらOUT

磁場の均一性

- 600 MHzで0.1 Hzの精度・正確さということは...

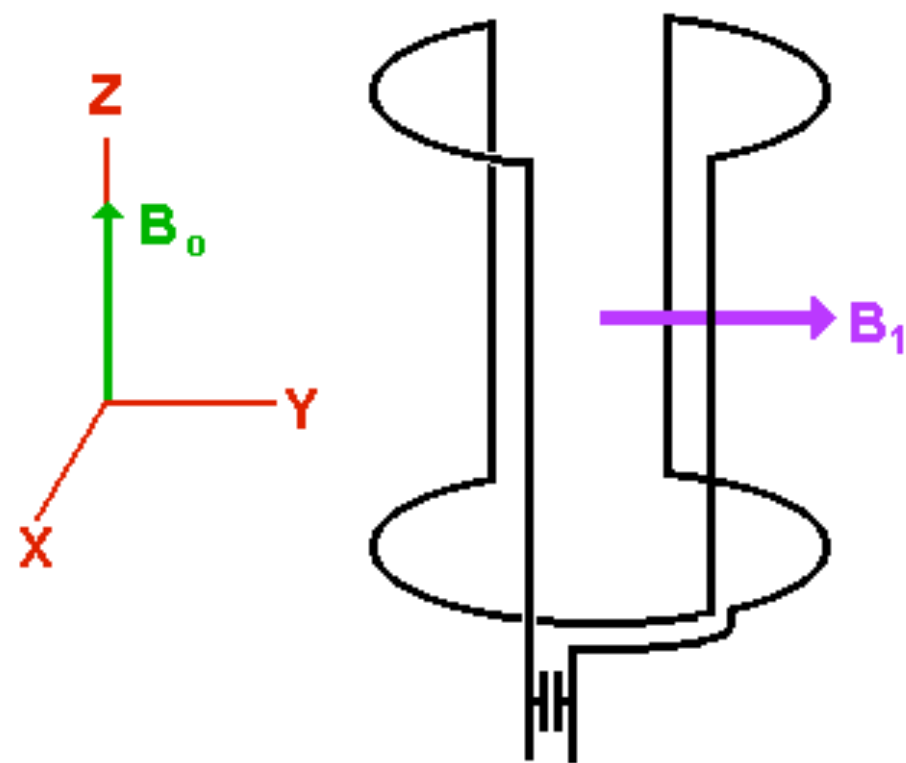
→1/6,000,000,000の精度（60億分の1）

地球一周4万キロに対して6.6 mmの精度！

超精密なのだ！

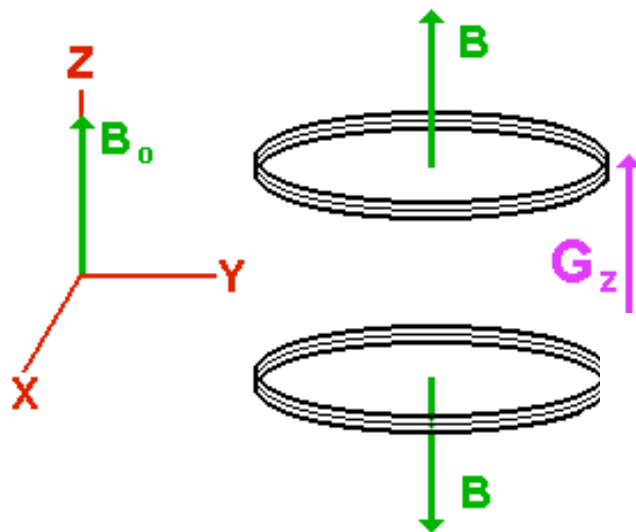
RF coil

Saddle Coil

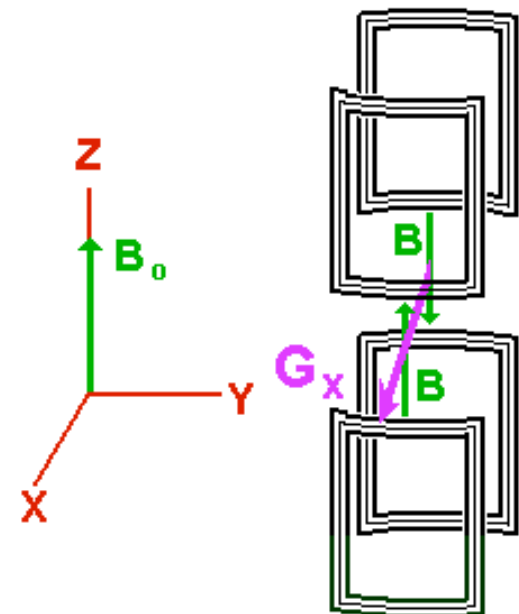


Gradient Coils

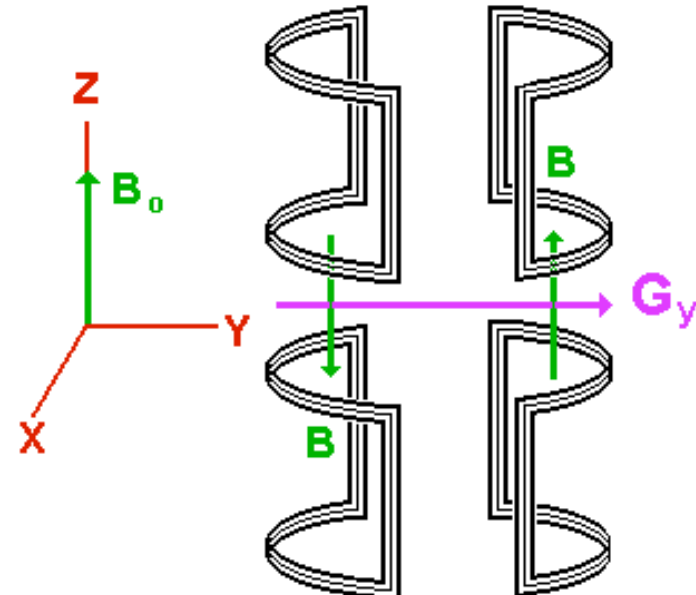
Z Gradient Coil



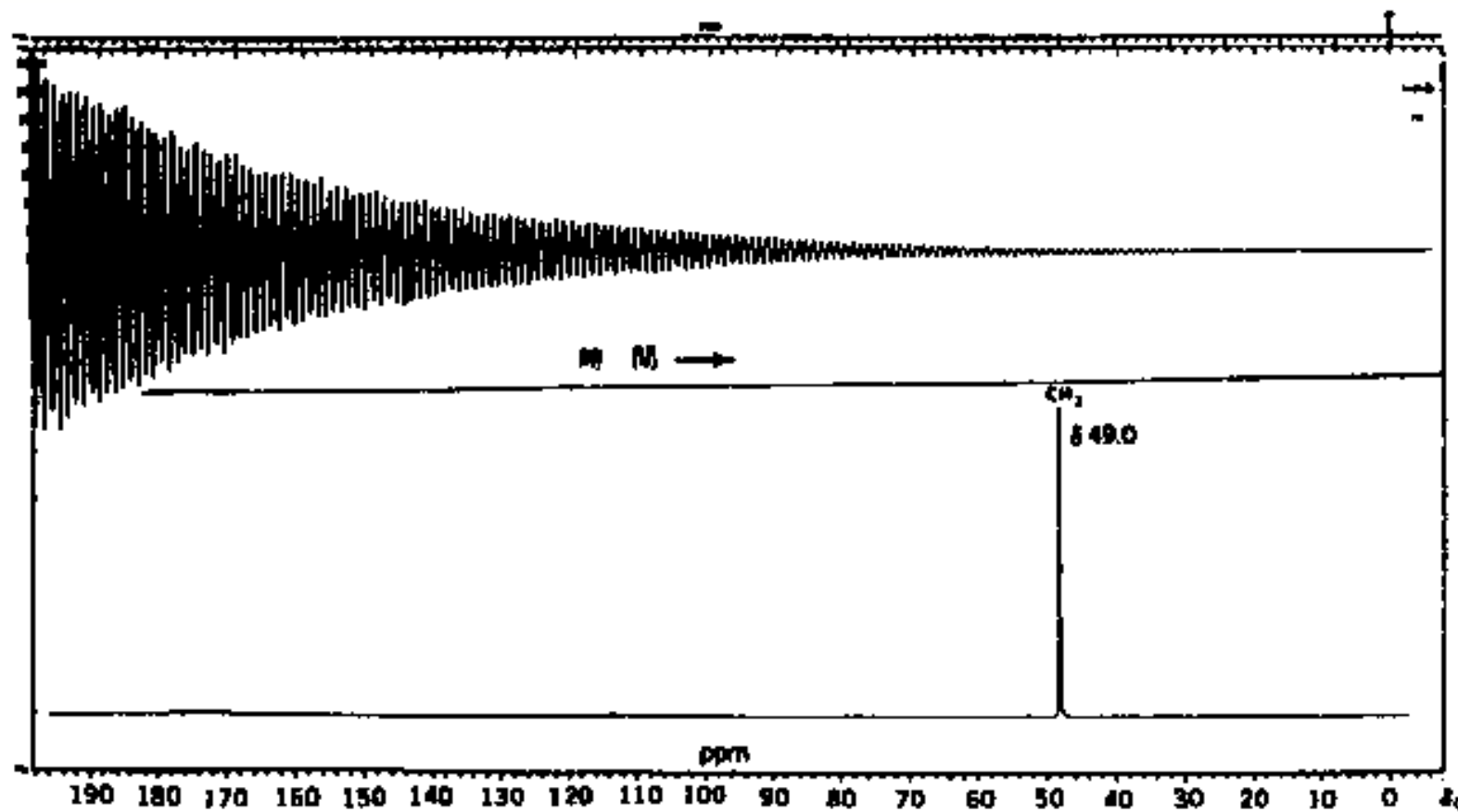
X Gradient Coil



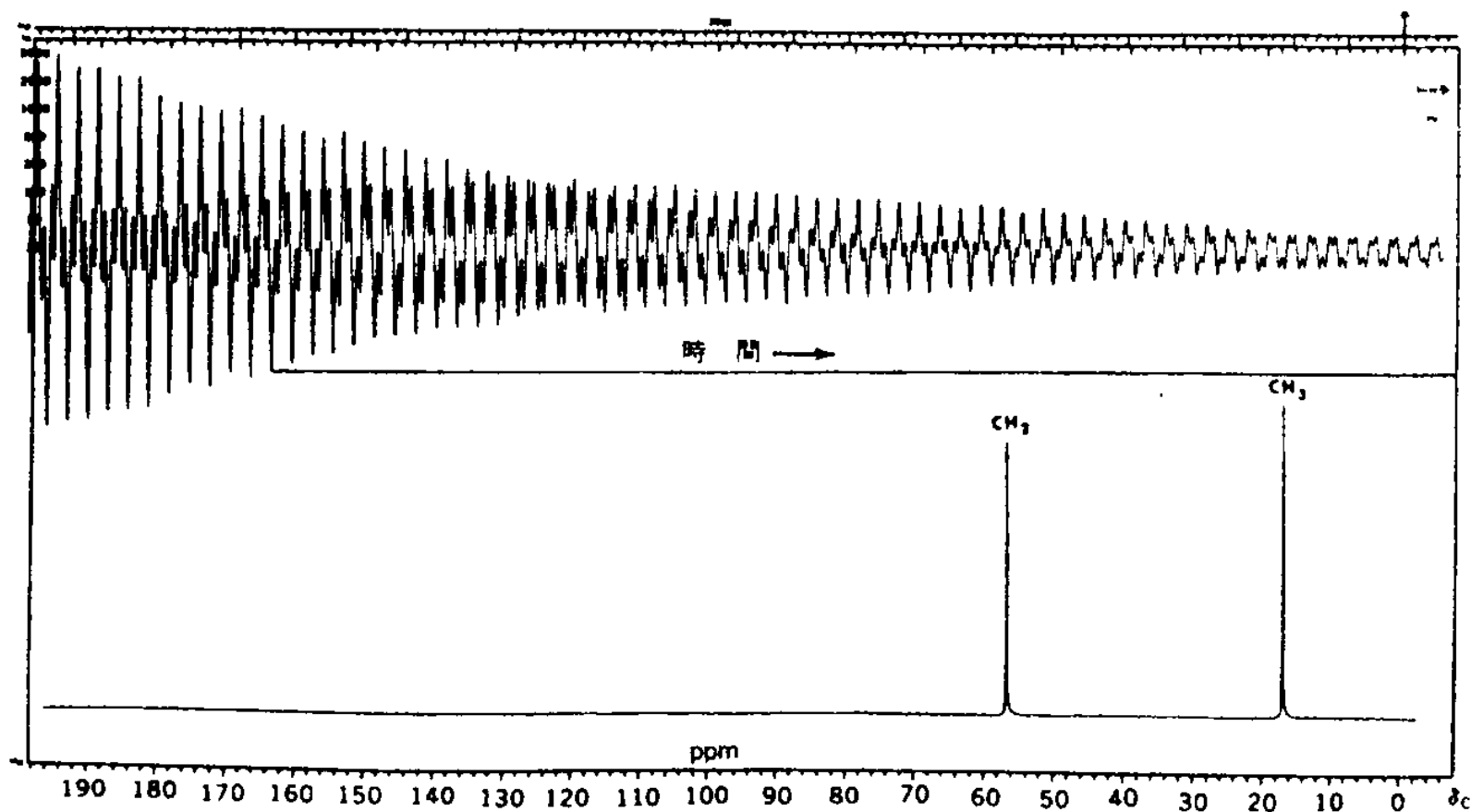
Y Gradient Coil



FID



FID



得られる情報

得られる情報

- 核種の存在
- 化学シフト
- Jカップリング
- 積分値
- 線幅

測定可能な核種

Table 1.1 Nuclear properties of nuclei important for the n.m.r. spectroscopy of organic compounds

Nucleus	Spin quan-number, I	Magnetic moment, μ (units of μ_N)	Magneto-gyric ratio, γ (10^8 rad T $^{-1}$ s $^{-1}$)	Resonance frequency ν_0 (MHz at a field of 1 T)	Relative sensitivity at constant field	Natural abundance (%)	Quadrupole moment, Q ($e \times 10^{-28}$ m 2)
1H	$\frac{1}{2}$	2.79277	2.675	42.577	1.000	99.98	0.003
2H	1	0.85735	0.411	6.536	0.009	0.0156	0.111
^{10}B	3	1.8007	0.288	4.575	0.02	18.83	0.036
^{11}B	$\frac{3}{2}$	2.6880	0.858	13.660	0.165	81.17	—
^{13}C	$\frac{1}{2}$	0.70216	0.673	10.705	0.016	1.108	0.02
^{14}N	1	0.40369	0.193	3.076	0.001	99.635	—
^{15}N	$\frac{1}{2}$	-0.28298	-0.271	4.315	0.001	0.365	-0.004
^{17}O	$\frac{5}{2}$	-1.8930	-0.363	5.772	0.029	0.037	—
^{19}F	$\frac{1}{2}$	2.6273	2.517	40.055	0.834	100.0	—
^{29}Si	$\frac{1}{2}$	-0.55492	-0.531	8.460	0.079	4.70	—
^{31}P	$\frac{1}{2}$	1.1316	1.083	17.235	0.066	100.0	—

測定可能な核種

実効測定感度: R_X , 共鳴周波数: ν_X , 核スピル: I_X , 同位体存在比: a_X
 1H の $R_X = 100$ c.p.u

$$R_x \propto U_x^3 I_x (I_x + 1) \alpha_x$$

$$1H_0R_x = 100 \times 12$$

$$\frac{^{13}C}{^{12}C} = 0.017$$

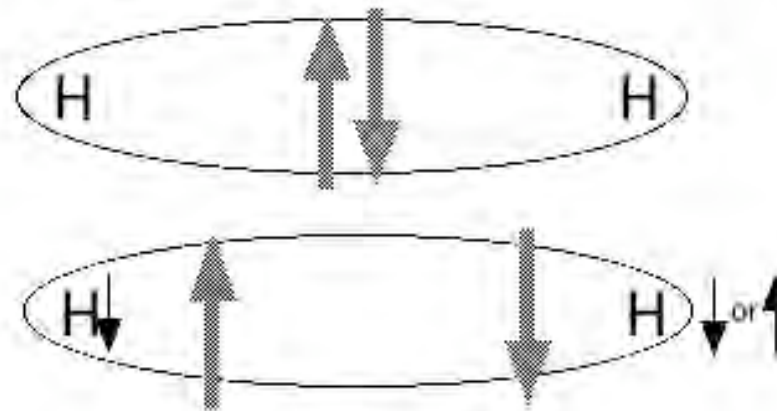
$$14\% = 18.1$$

表1. 核磁気モーメントを持つ安定同位体の性質 ***

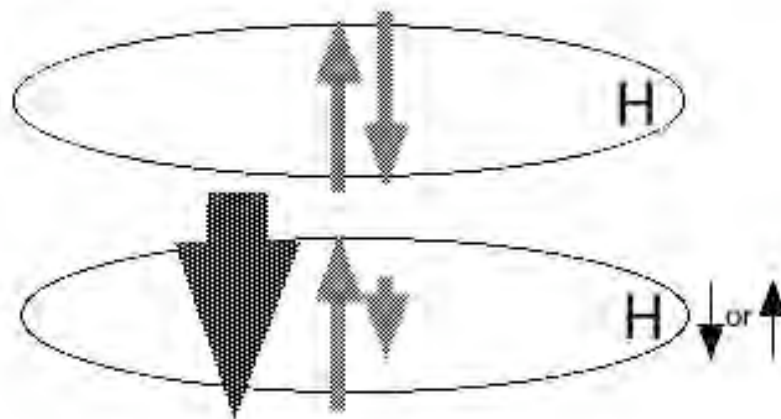
元素記号
質量数 核スピン
(天然同位体比)
共鳴周波数

化学シフトとカップリング

Spin-Spin Coupling



Chemical Shift



化学シフト

Chemical Shift

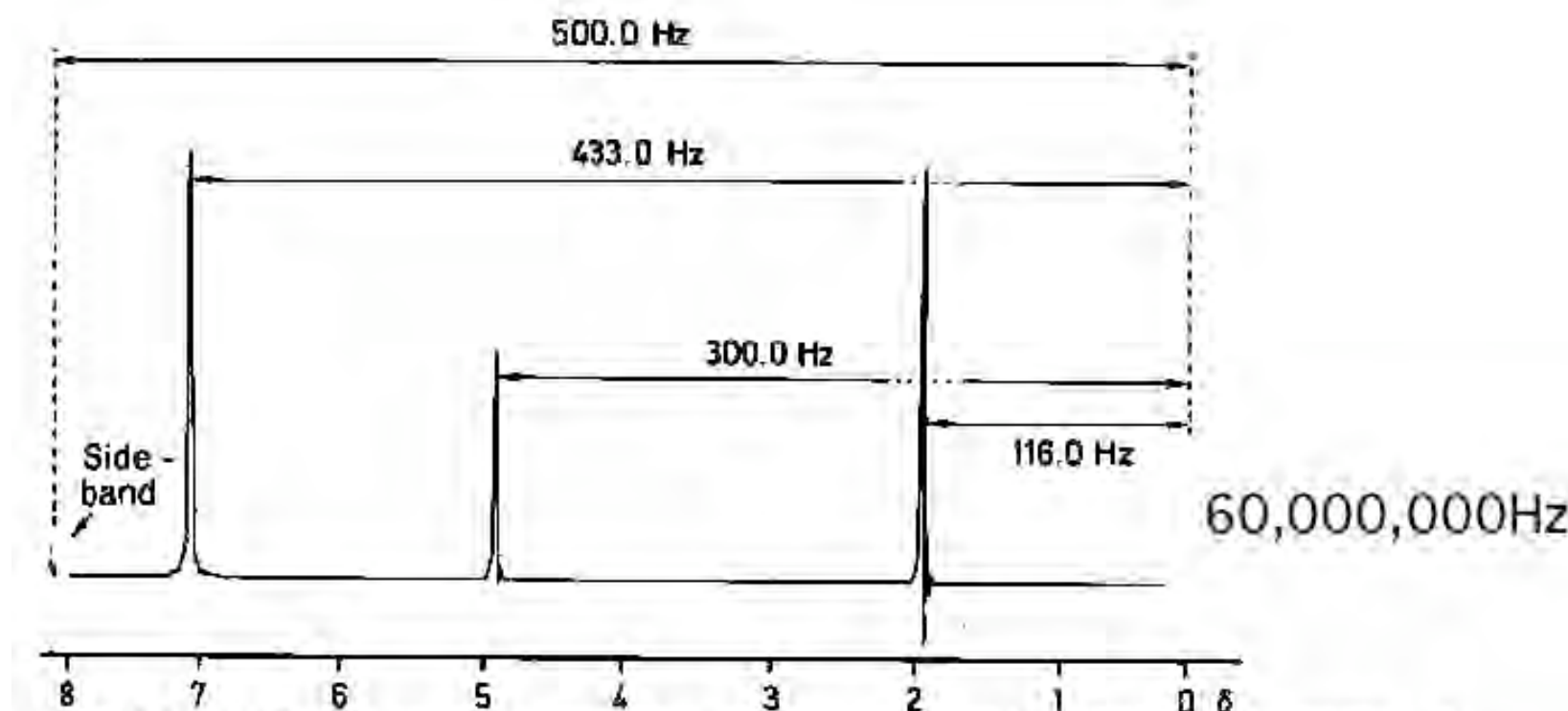
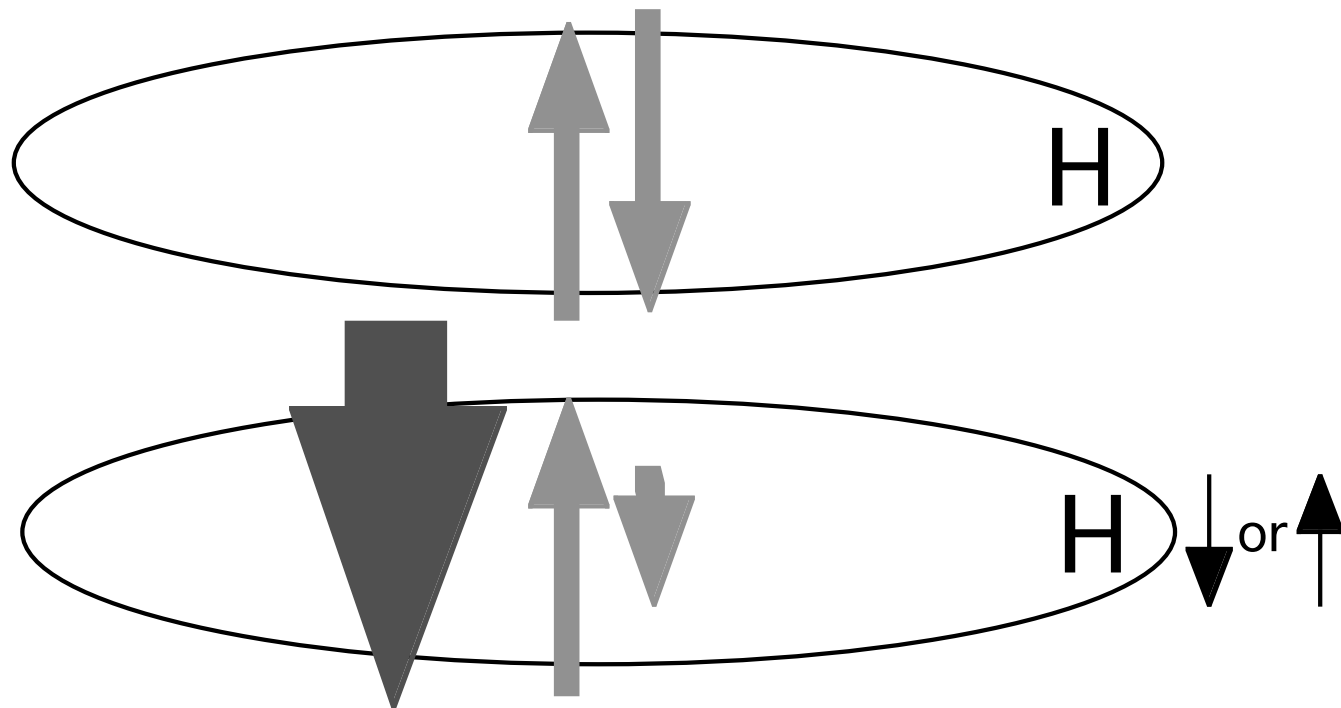


Figure 2.3 (a) Proton magnetic resonance spectrum of benzyl acetate in the presence of tetramethylsilane as an internal standard. (b) Proton magnetic resonance spectrum of benzyl acetate with side band calibration; 60 MHz

化学シフト



化学シフト

電子の量の影響

	CH ₃ F	CH ₃ Cl	CH ₃ Br	CH ₃ I	CH ₃ H
δ (Pauling)	4.19	2.84	2.45	1.98	0.13
δ (Pauling)	4.0	3.0	2.8	2.6	2.1

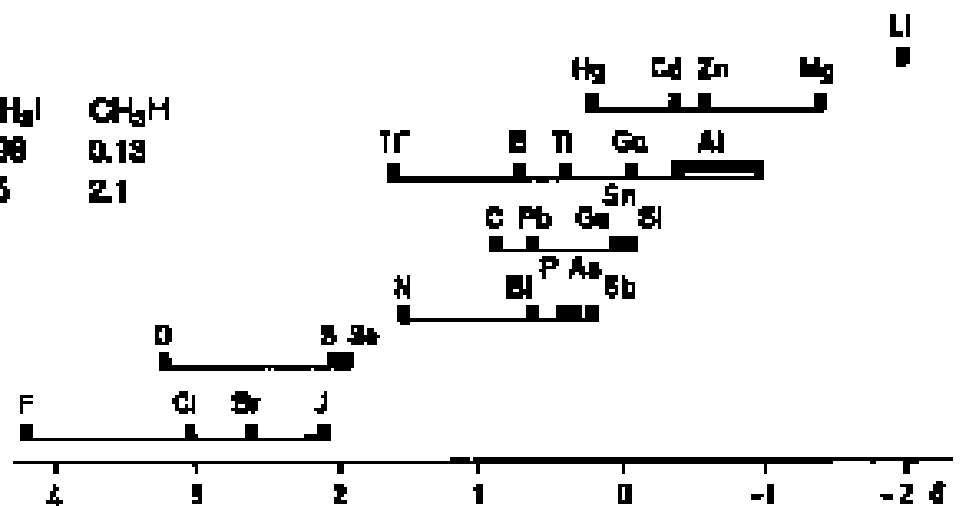


Figure 4.2 Proton resonance of the methyl derivatives of the representative elements (Set 1)

化学シフト

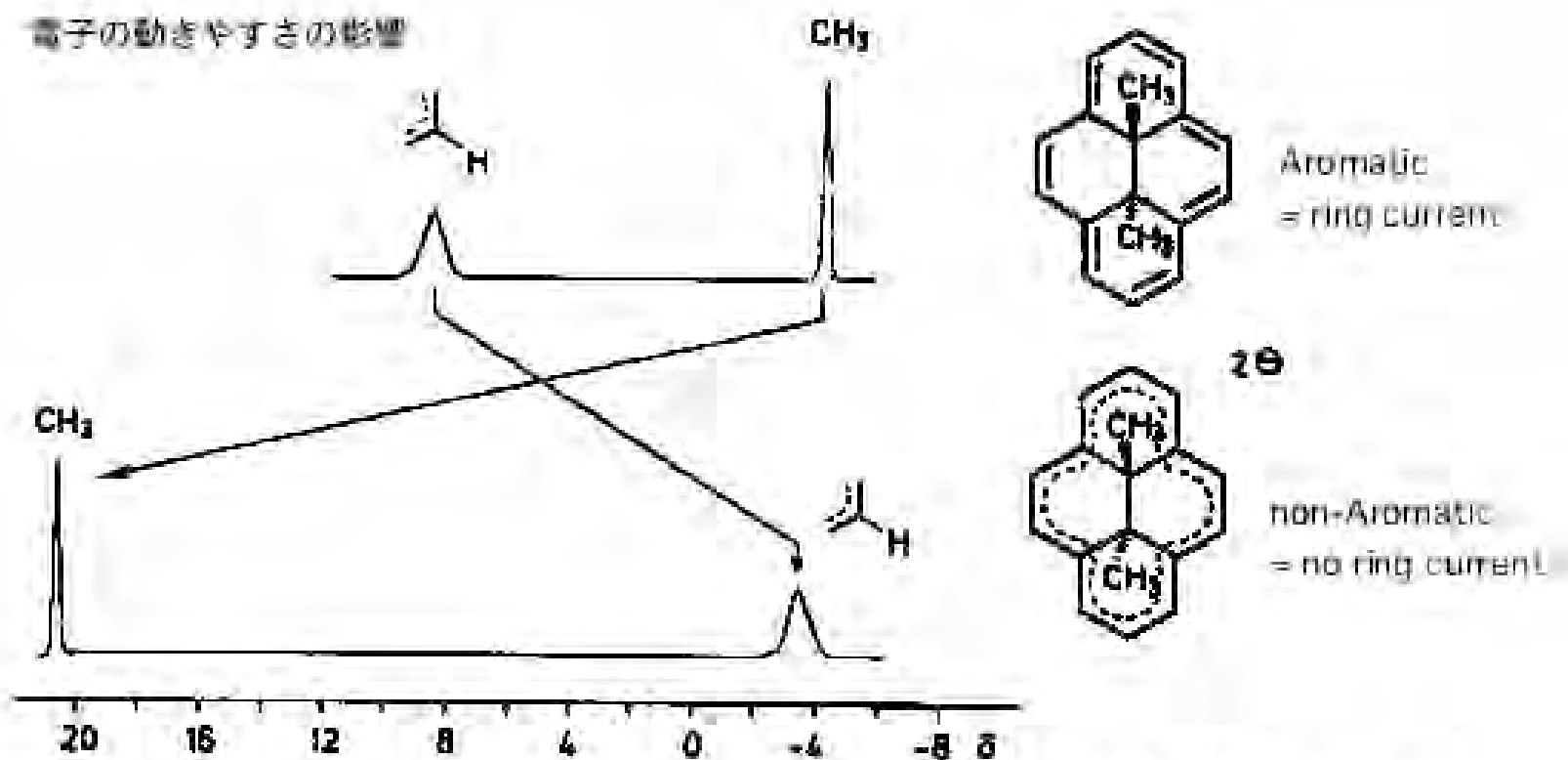
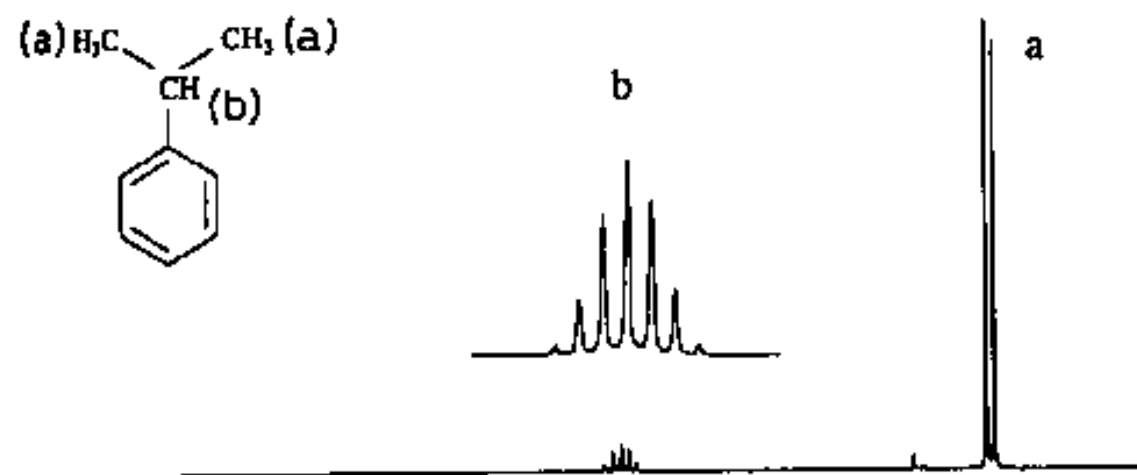
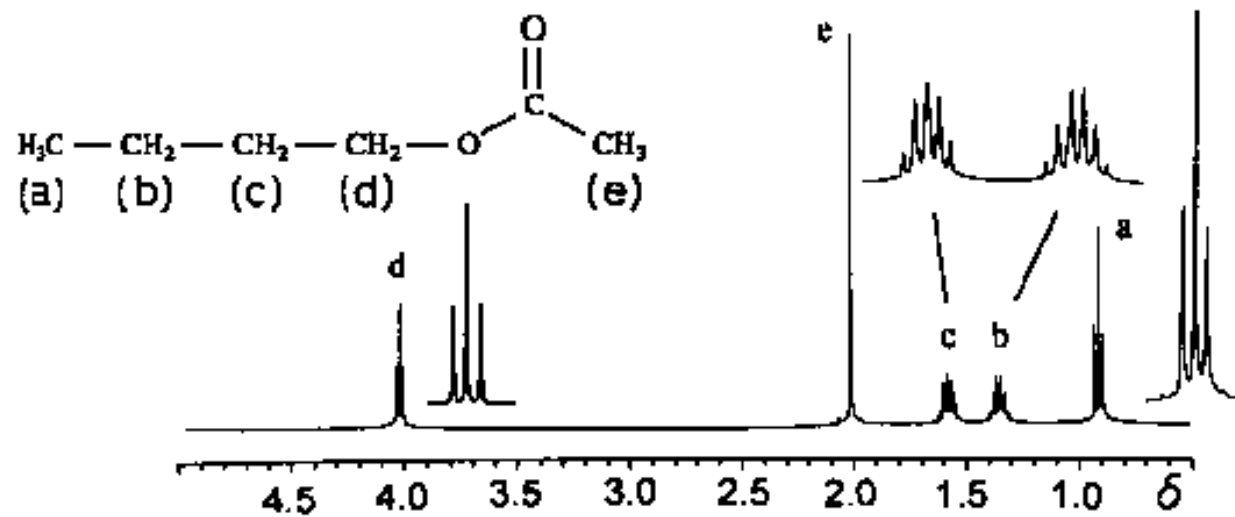


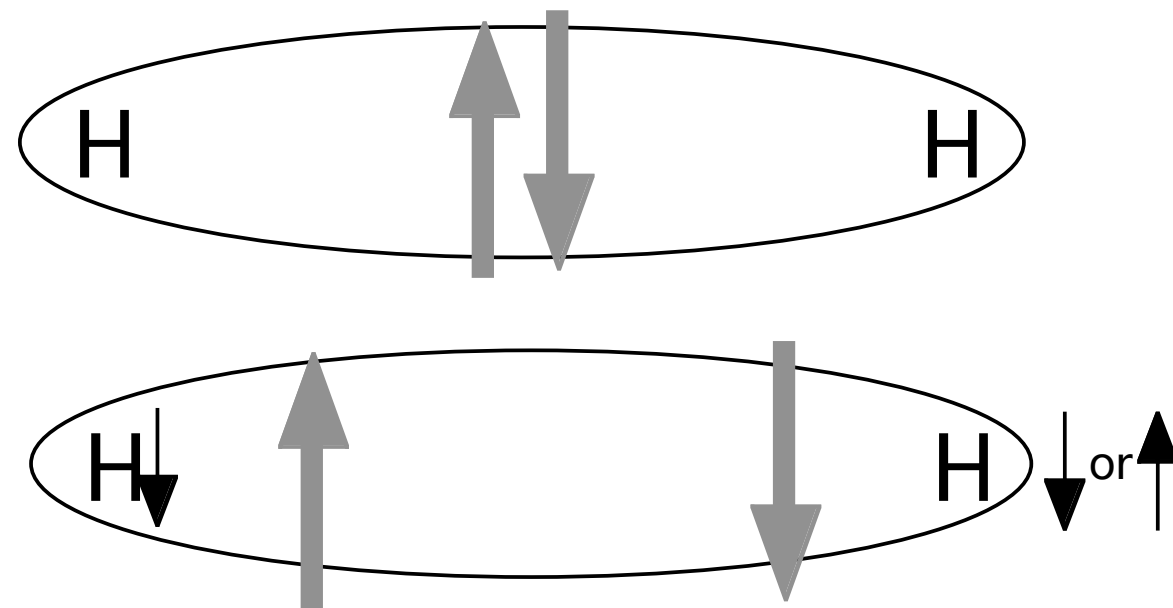
Figure 4.13 Schematic comparison of n.m.r. spectra of the annulenes 25 and 27 with 14 and 16 π -electrons, respectively

Jカップリング



Jカップリング

Spin-Spin Coupling



Jカップリング

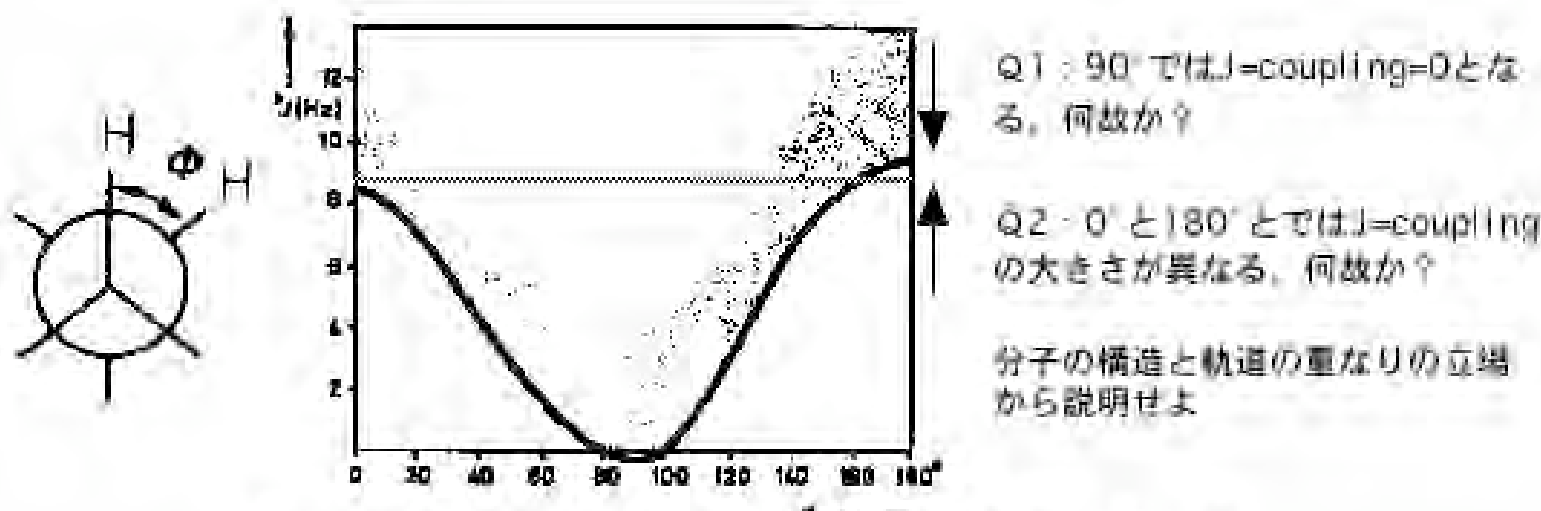
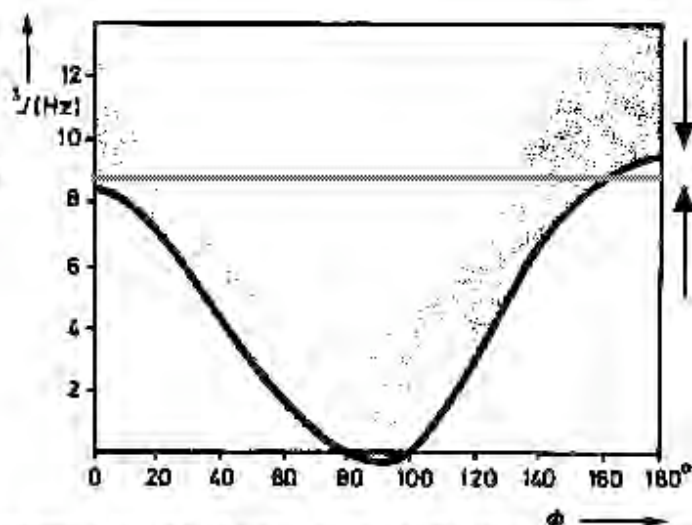
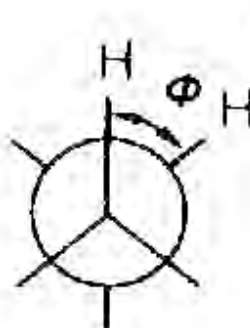


Figure 4.33 The Kemphus curve for the dependence of vicinal H-H coupling on the dihedral angle ϕ : line, theoretical curve; shaded area, range of experimental results

Jカップリング

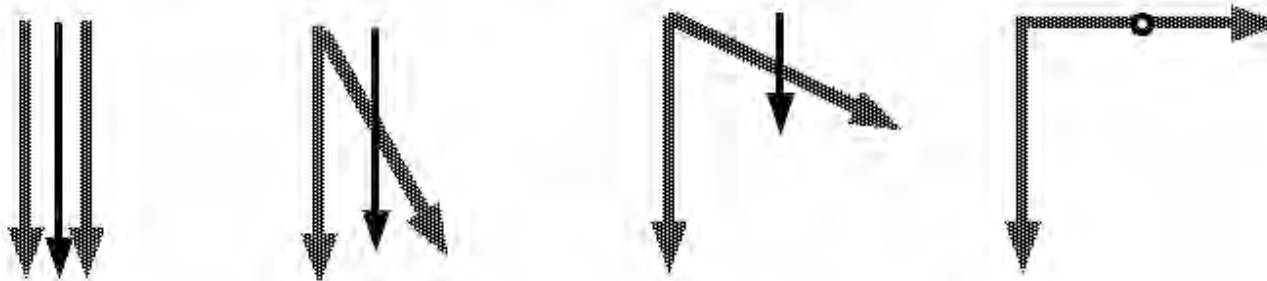


Q1: 90°では $J=coupling=0$ となる。何故か？

Q2: 0°と180°とでは $J=coupling$ の大きさが異なる、何故か？

分子の構造と軌道の重なりの立場から説明せよ

Figure 4.22 The Karplus curve for the dependence of vicinal H-H coupling on the dihedral angle ϕ : line, theoretical curve; shaded area, range of empirical results



Jカップリング

Decoupling

Q3: 強力な電場をその位置に当てるとき $J=0$ となる。何故か？

核スピンを飽和させた場合どうなるか？

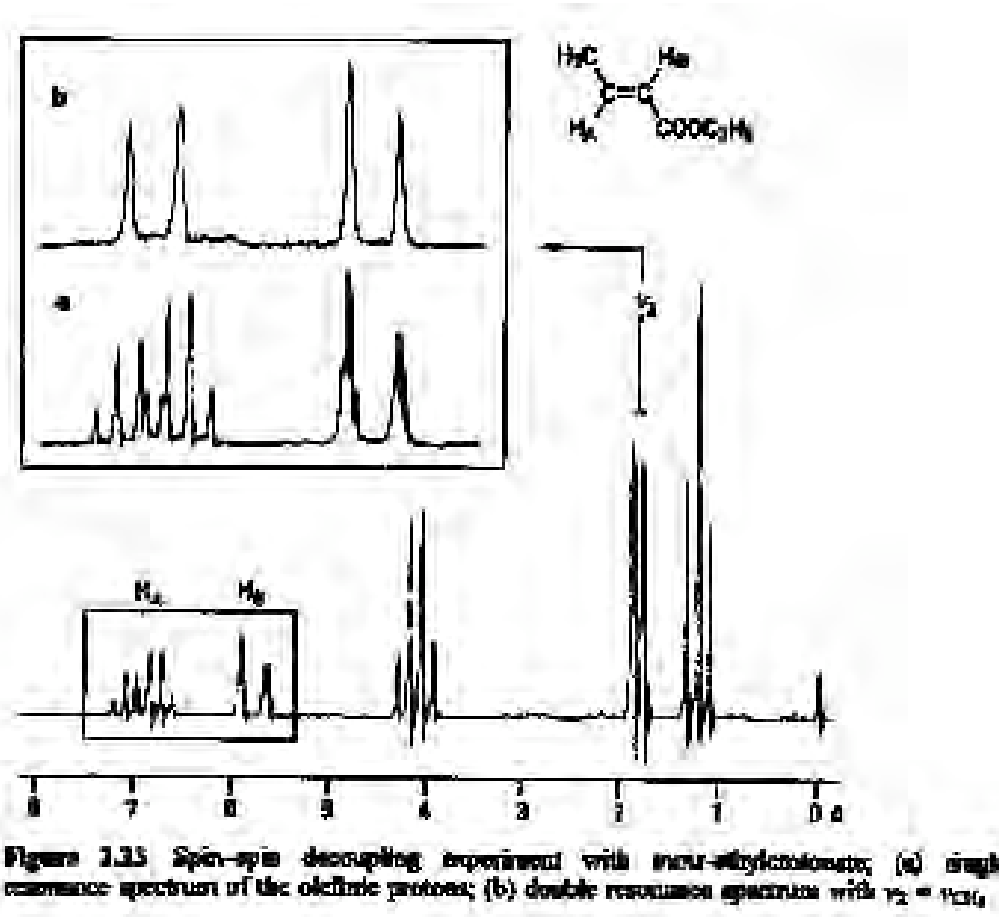
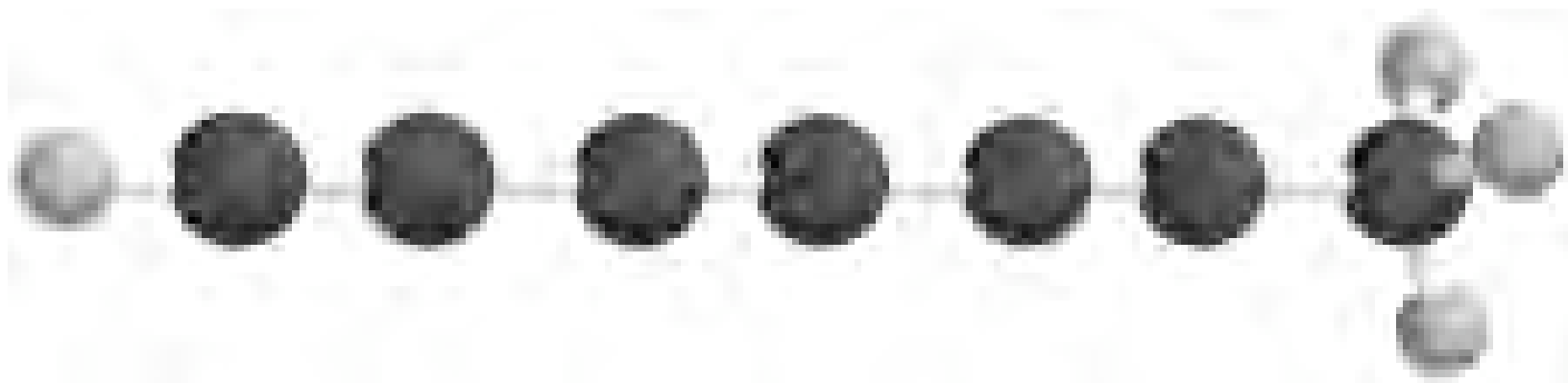


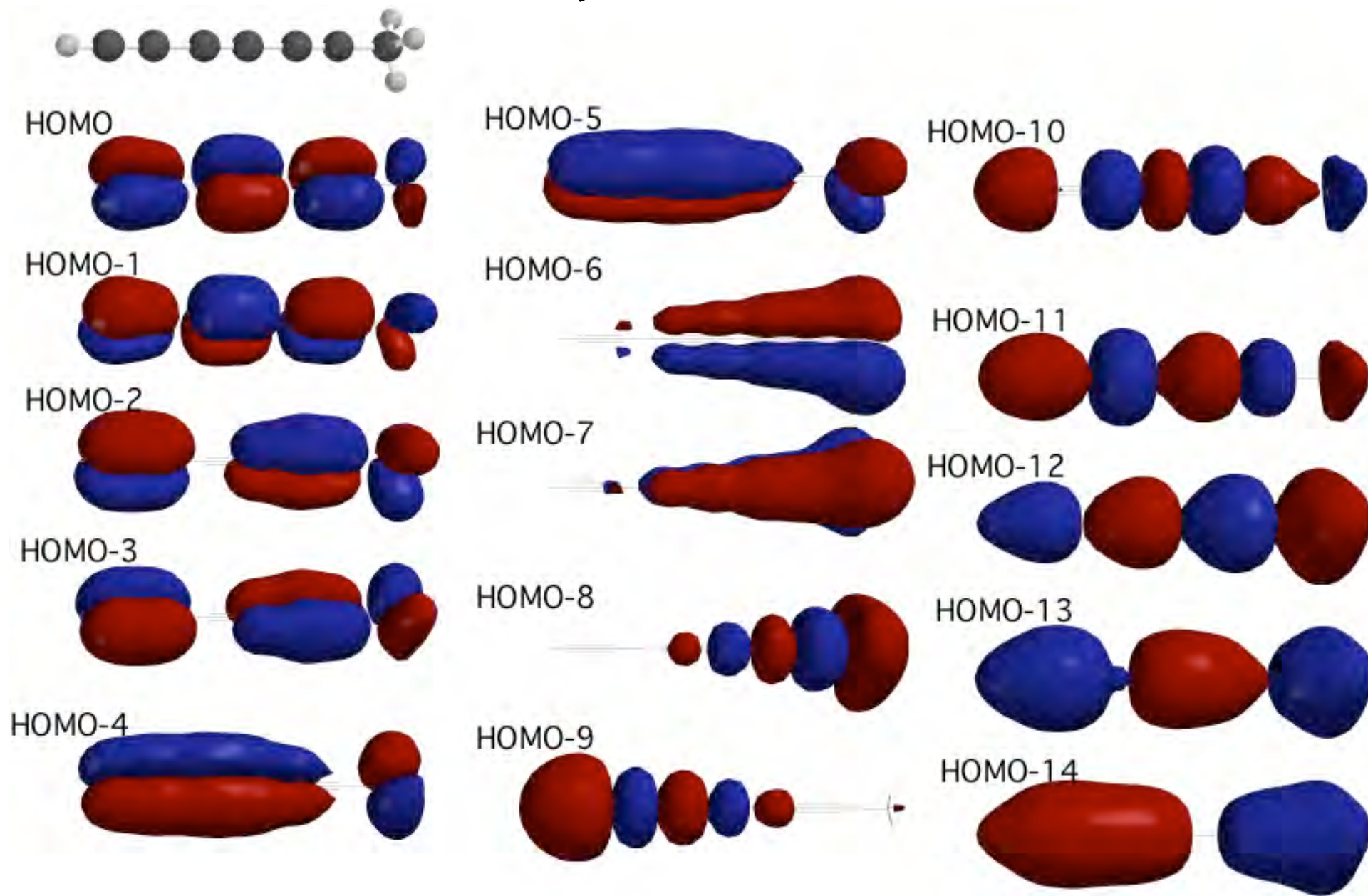
Figure 1.15 Spin-spin decoupling experiment with *trans*-2-ethylhexanoic acid: (a) single resonance spectrum of the olefinic protons; (b) double resonance spectrum with $\nu_2 = 13\text{C}$.

J カップリング



0.3Hzのカップリング

J カップリング



積分值

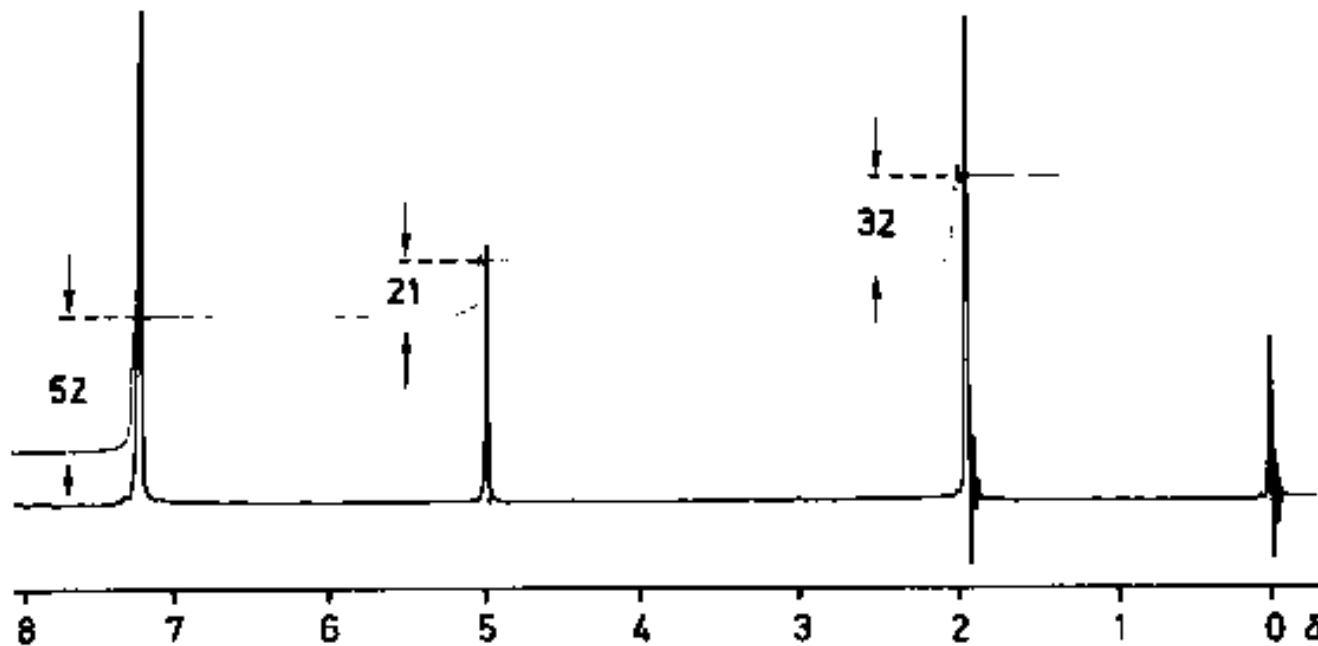


Figure 2.4 Proton magnetic resonance spectrum of benzyl acetate with integration; step heights indicated in millimetres

得られる情報（中級）

- シグナルの幅
 - 緩和時間
 - 化学交換
- 積分強度の異常

緩和時間と分解能 脱気の効果

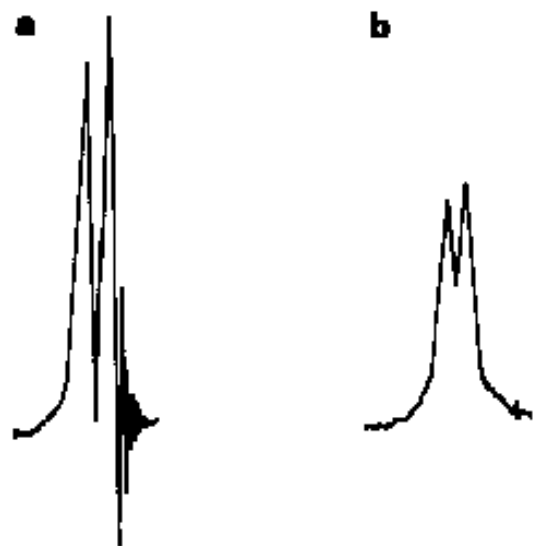
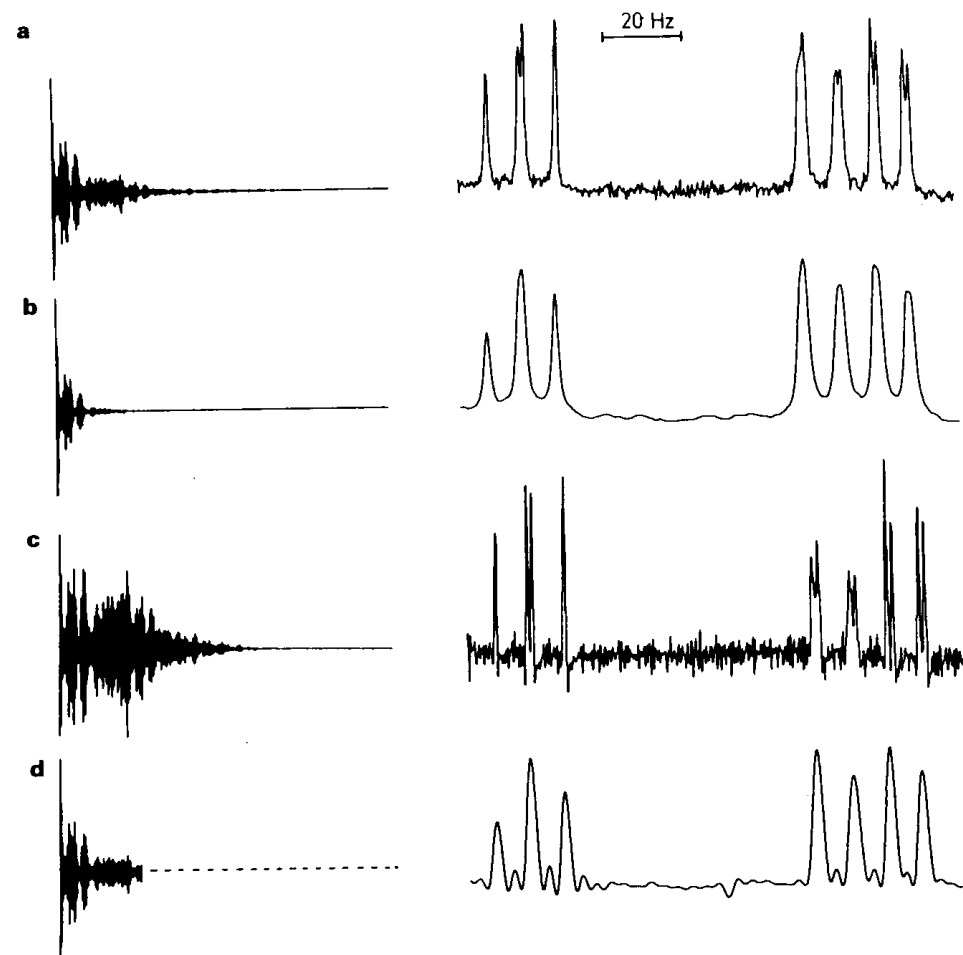


Table 7.1 Longitudinal proton relaxation times T_1 for benzene (s)

Benzene	(degassed) at 20 °C	19.9
Benzene	in CS_2 (11 vol.-%, degassed)	60.0
Benzene	in the presence of air	2.7

FIDと線形

Figure 7.9 Influence of atmospheric oxygen on the shape of the resonance signal: shown are the lines from the spectrum of *o*-dichlorobenzene previously presented in Figure 3.6 (d). (a) A degassed sample; (b) an air-containing sample. Both signals were recorded with the same spectrometer adjustments—only the field homogeneity was optimized



CIDNP (Chemically Induced Dynamic Nuclear Polarization)

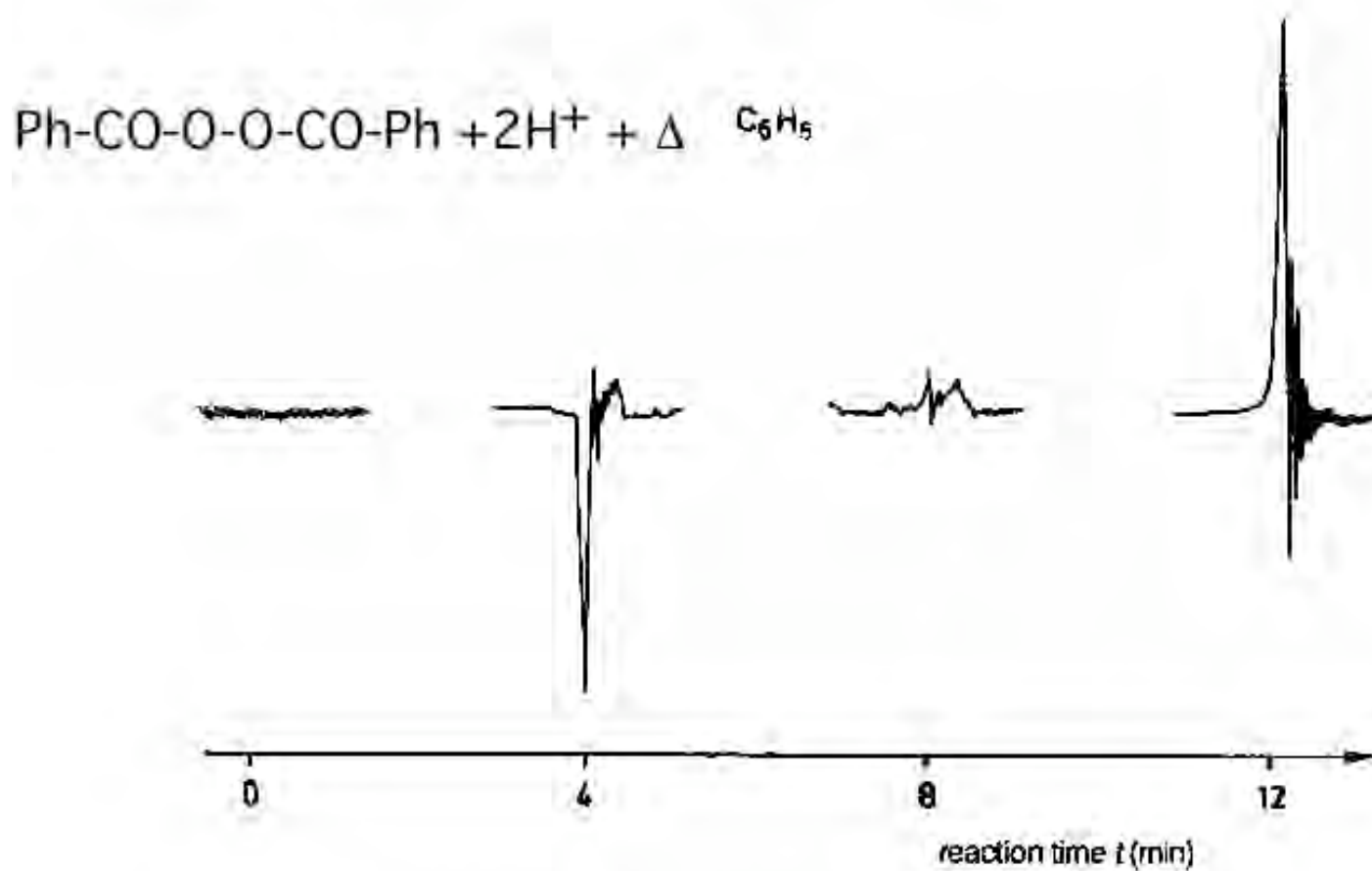


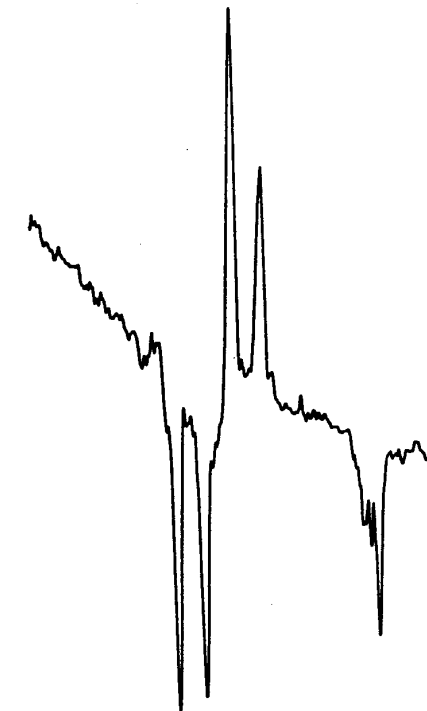
Figure 4 Thermal decomposition of dibenzoyl peroxide

CIDNP (Chemically Induced Dynamic Nuclear Polarization)

Mg + EtBr/THF



EtMgBr



分子運動・化学交換

分子運動とスペクトル

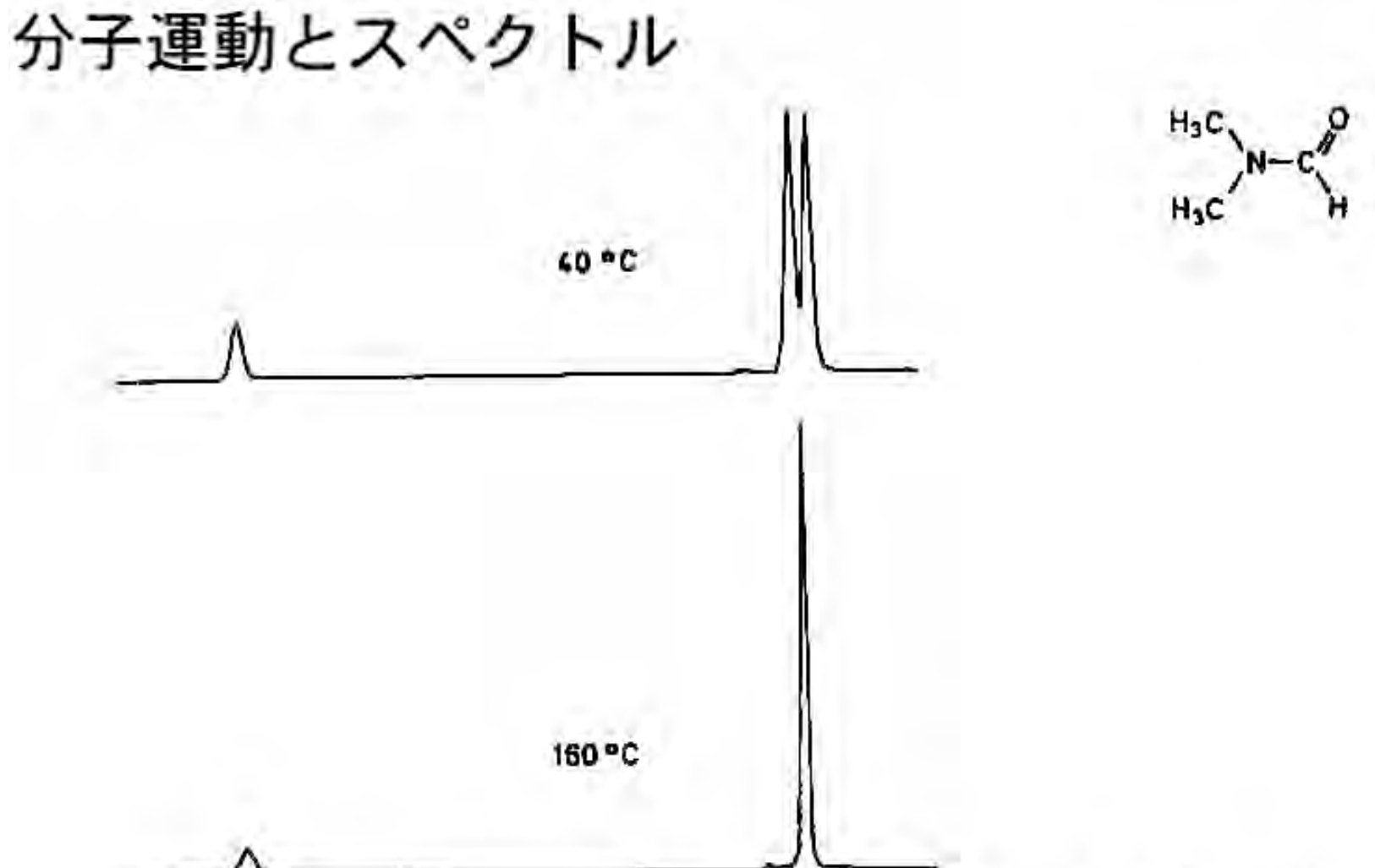


Figure 3 Temperature dependence of the ^1H n.m.r. spectrum of *N,N*-dimethyl formamide

測定の実際

測定の依頼は 測定者の立場に立つ

測定の依頼は測定するより難しい
測定の依頼は自分が何をしたいか
明確でなければならぬ
自分で測定するといい加減になる

測定の依頼は
測定者の立場に立つ

測定者のスキルアップ
測定者とのコミュニケーション

みんなでHappyになろう

測定のコストを意識する

大学ではプロトン測定1本のコストは... (200MHz)

機械3500万/5年、稼働率60%として15分=330円

休休空素休休へりむ人空調雷氣代促守修押費筆

1本1,200~1,700円

(依頼の場合の人物費 学生350円 教官850円/15分)

合計 850円 + 人件費 =1,200~1,700円/本

測定のコストを意識する

企業の場合¹H-NMR 1本 約1万円

¹⁹F-NMR1本 約5万円

¹³C-NMR1本 約5万円

(基本料金 + 測定技術料金 + 秘密保持契約 + 営業経費 +
本社費....)

外注価格（日立共和eng）

<http://www.hitachi-kyowa.co.jp/bunseki/kiki/22-nmr-info.html>

- 核磁気共鳴分析（NMR）

- 400MHz(¹H)装置

- (1)¹H, ¹⁷O, ¹⁹F : 通常測定 1 測定につき 31,500
 - (2)¹³C : 通常測定 " 42,000
 - (3)その他核種 " 別途お見積り
 - (4)特殊測定（長時間,2次元,デカップリング等） " 別途お見積り
 - (5)解析 1 スペクトルにつき 10,500

- 500MHz(¹H)装置

- (1)¹H, ¹⁷O, ¹⁹F : 通常測定 1 測定につき 36,750
 - (2)¹³C : 通常測定 " 47,250
 - (3)その他核種 " 別途お見積り
 - (4)特殊測定（長時間,2次元,デカップリング等） " 別途お見積り
 - (5)解析 1 スペクトルにつき 10,500



独立行政法人医薬基盤研究所

National Institute of Biomedical Innovation

区分	利用形態	利用料金	備考
成果公開	NMR-LC-MS利用	8,000円/1時間 62,000円/1日 62,000円×日数/1回 ※SPE利用の場合は、以下のプラス料金がかかります。 14,000円/1日 1,750円/1時間	原則として 1日は8時間 1回は5日 を限度とする。
		6,000円/1時間 51,000円/1日 51,000円×日数/1回	
成果非公開	NMR-LC-MS利用	23,000円/1時間 185,000円/1日 185,000円×日数/1回 ※SPE利用の場合は、以下のプラス料金がかかります。 42,000円/1日 5,250円/1時間	原則として 1日は8時間 1回は5日 を限度とする。
		19,000円/1時間 154,000円/1日 154,000円×日数/1回	

試料の調製（完全依頼？、測定依頼？）

予備知識：

試料関係（由来、化合物名、実験番号、構造式）、

性質（形態、沸点、純度、溶媒、安定性）

測定条件（核種、溶媒、濃度、基準物質）

目的（拡大、面積、シフト試薬、NOE、特殊測定）

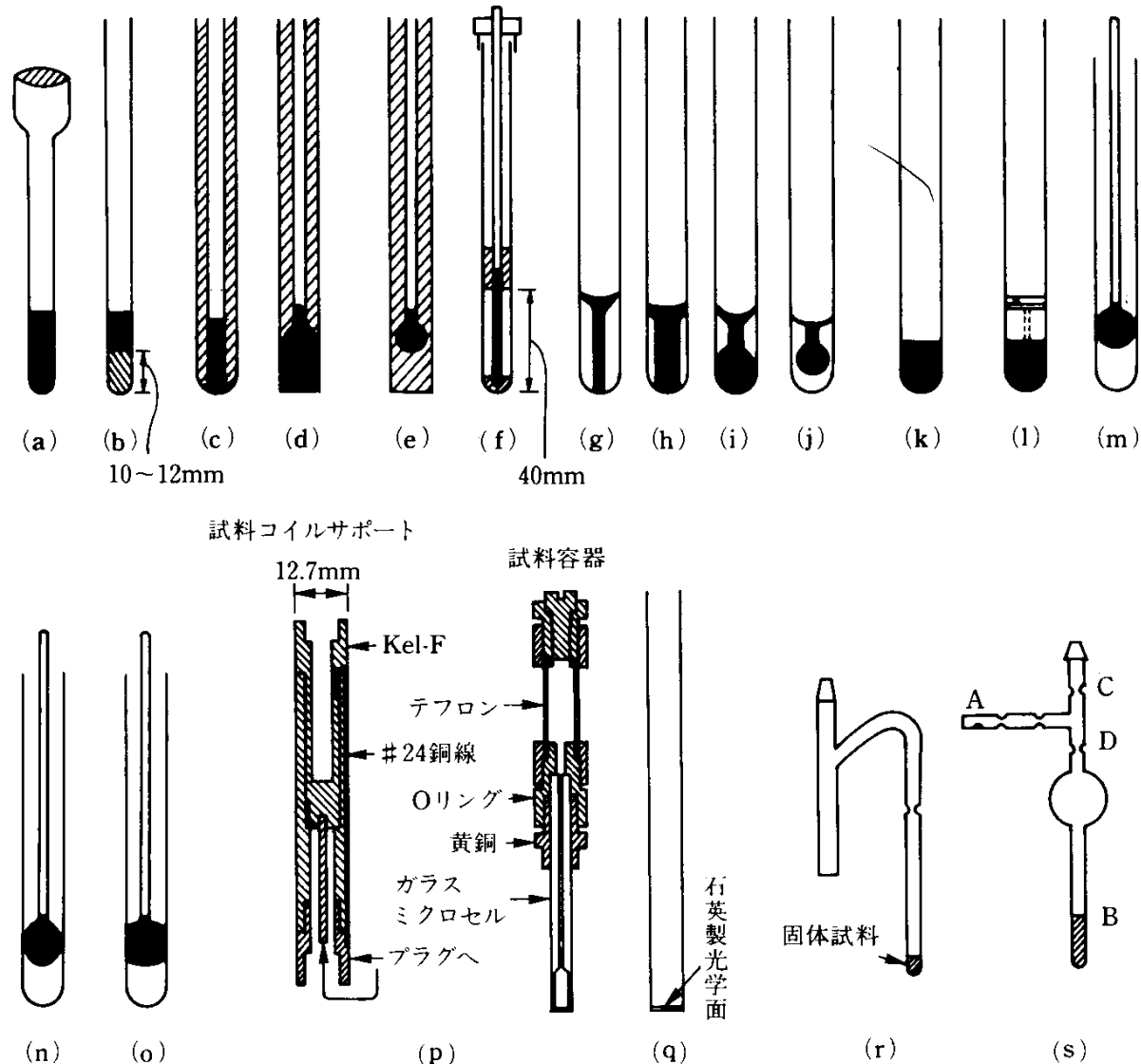
- ・精製法（再結晶溶媒）
- ・可能性のあるコンタミ（不純物）

は必須

試料管

- ・外径5mmの良質なもの、傷、割れ、歪みは不可
- ・蓋はしっかりとする。
- ・プローブ内でサンプルをこぼさないようにする。
- ・Shimコイルがやられてしまう

特殊試料管



監守者に相談

図 3.1 特殊試料管のいろいろ。(a) septum キャップ付き。注射器で空気にさらすことなく試料を注入できる。(b)上げ底セル、(c)厚壁セル、(d)埋込みセミミクロセル、(e)埋め込みセミミクロセル、(f~j) 二重管セル、(k)メニスカス止めガラス管、(l)メニスカス止めテフロンプラグ(中栓)、(m~o)球形・卵形セル、(p)高圧用試料管、(q)光反応用試料管、(r)固体試料溶解用試料管、(s)カルバニオン測定用試料管

内部標準

- IUPACのルール
(合理的でないこともある)
ジメチル水銀の例

内部標準

水素の場合

有機溶媒 : TMS = 0 ppm

水系 : $\text{Me}_3\text{Si}(\text{CH}_2)_3\text{SO}_3\text{Na}$

内部標準

フッ素の場合

有機溶媒 : CFC1₃

水系 : CF₃CO₂H

C₆F₆は認められていない。本来なら換算が必要

内部標準

まさかとは思いますが…HgのNMRは要注意
内部標準はMe₂Hg…

ダートマス大学の化学教授カレン・
ヴェッターハーン (Karen Wetterhahn)
は、ラテックス手袋に数滴のジメチル
水銀をこぼし、被曝した。5か月以内に
水銀中毒の症状を示し、治療が行われ
たが、数か月後に死亡した。

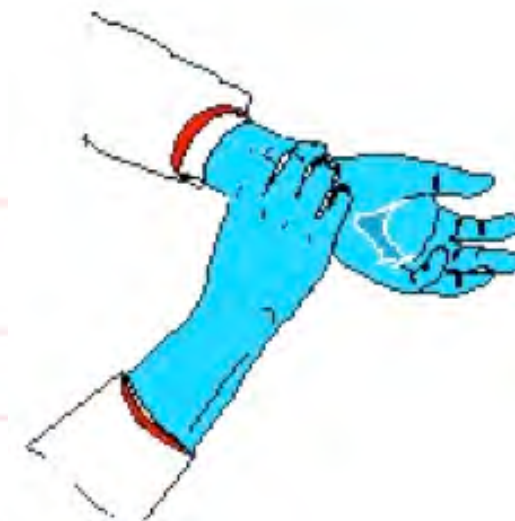
DIMETHYLMERCURY

and Mercury poisoning



Simon Cotton
Uppingham School, Rutland, UK

Also available: [Chime Enhanced](#), [VRML](#), [Jmol](#) and [Chemsymphony](#) versions.



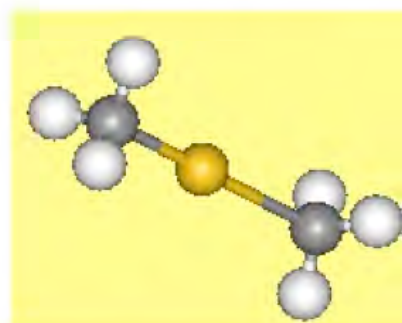
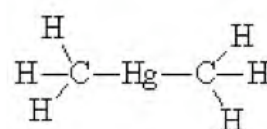
The Karen Wetterhahn story



Picture from [The Scientist Library](#)

Karen Wetterhahn was an internationally respected Professor of Chemistry, an expert researcher in the field of the effects of heavy metals upon living systems, especially in their role in causing cancer. By an exquisite irony, she became a victim of a heavy metal poison.

The Albert Bradley Third Century Professor in the Sciences at Dartmouth College, New Hampshire, Wetterhahn was doing something few professors do - working at the lab bench - on August 14th 1996. She was studying the way mercury ions interacted with DNA repair proteins, and was using $[\text{Hg}(\text{CH}_3)_2]$ as a standard reference material for ^{199}Hg NMR measurements.



監守者に相談

濃度

- 高粘度では半値幅が増大
- 化学交換による化学シフトの以上
- 無限希釈を理想とする

液量

- 少ない
 - 磁場の均一性を保てない
 - ロックがかかりにくい
- 多い
 - 重溶媒がもったいない

重溶媒

表3.2 測定の目的・条件とそれに適した溶媒

測定の目的・条件	溶媒
1. 一般的な測定（標準的な化学シフトを得る目的のとき）	CDCl ₃ , D ₂ O
2. 溶解度	CDCl ₃ , CD ₂ Cl ₂ , (CD ₃) ₂ SO, (CD ₃) ₂ CO, C ₅ D ₅ N, 重ジオキサン, 重ジメチルホルムアミド(DMF), CD ₃ CN, 重テトラヒドロフラン(THF), CD ₃ OD, CD ₃ NO ₂ , D ₂ O, D ₂ SO ₄ , CD ₃ COOD, CF ₃ COOD, etc.
3. 溶媒効果の小さいもの	C ₆ D ₁₂ , CCl ₄
4. 芳香族溶媒効果の利用	
a. C=O, S=O, N→O 化合物等	C ₆ D ₆ , C ₆ F ₆
b. OH化合物等	C ₅ D ₅ N
5. 特殊な溶媒効果の利用 (プロトン付加, 重水素効果等)	CD ₃ OH(D), CD ₃ COOH(D) CF ₃ COOH(D) [NaOD, DCl, D ₂ SO ₄ をD ₂ O, CD ₃ OD などに加えることもよくおこなわれる]
6. 温度可変NMR用	
a. 高温測定用	重トルエン(¹ H NMR), CCl ₂ =CCl-CCl=CCl ₂ オルトジクロロベンゼン(ODCB), DMF- <i>d</i> ₇ (Cl ₃ C) ₂ CO
b. 低温用	フレオン12, 11, 22, TMS, CS ₂ (アミン類には不可), CDCl ₃ , CD ₂ Cl ₂ , (CD ₃) ₂ CO, CD ₃ OD, SO ₂
7. 特殊な溶媒	D ₂ SO ₄ , SO ₂ , AsCl ₃ , SbCl ₃

ろ過

- 固形物が入っていると、磁場の均一性が保てない
 - ロックがかかりにくい
 - シム合せが難しい
 - 使用後の復帰が難しくなる！

脱気

- 酸素が入っていると緩和が早い
 - メリット
 - 積算回数を稼げる
 - 積分値の信頼性向上
 - デメリット
 - 線幅広がる
 - カップリングの信頼性低下

不純物

- 水
- 原料
- 溶媒
- シリカゲル
- グリース
- 可塑剤
- ...

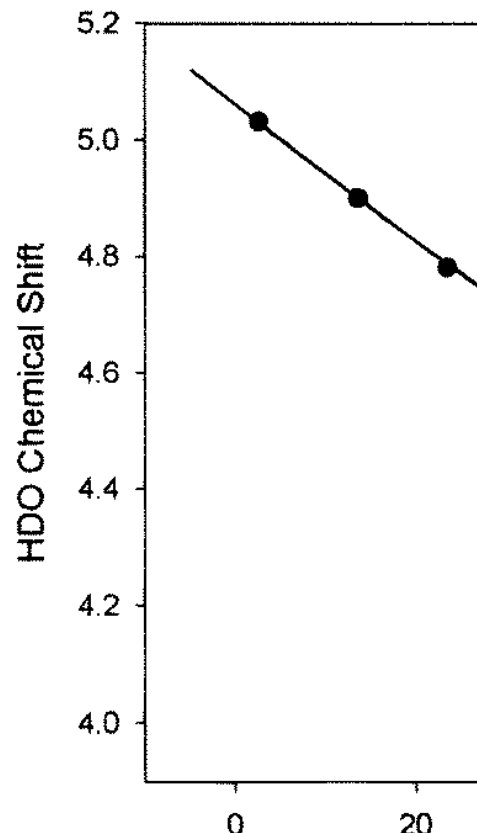
NMR Chemical Shifts of Common Laboratory Solvents as Trace Impurities

Hugo E. Gottlieb,* Vadim Kotlyar, and Abraham Nudelman*

Department of Chemistry, Bar-Ilan University,
Ramat-Gan 52900, Israel

Received June 27, 1997

In the course of the routine use of NMR as an aid for organic chemistry, a day-to-day problem is the identification of signals deriving from common contaminants (water, solvents, stabilizers, oils) in less-than-analytically-pure samples. This data may be available in the literature, but the time involved in searching for it may be considerable. Another issue is the concentration dependence of chemical shifts (especially ^1H); results



JOCで最もDown Loadされている論文

Table 1. ^1H NMR Data

	proton	mult	CDCl_3	$(\text{CD}_3)_2\text{CO}$	$(\text{CD}_3)_2\text{SO}$	C_6D_6	CD_3CN	CD_3OD	D_2O
solvent residual peak			7.26	2.05	2.50	7.16	1.94	3.31	4.79
H_2O		s	1.56	2.84 ^a	3.33 ^a	0.40	2.13	4.87	
acetic acid	CH_3	s	2.10	1.96	1.91	1.55	1.96	1.99	2.08
acetone	CH_3	s	2.17	2.09	2.09	1.55	2.08	2.15	2.22
acetonitrile	CH_3	s	2.10	2.05	2.07	1.55	1.96	2.03	2.06
benzene	CH	s	7.36	7.36	7.37	7.15	7.37	7.33	
tert-butyl alcohol	CH_3	s	1.28	1.18	1.11	1.05	1.16	1.40	1.24
	OH^c	s			4.19	1.55	2.18		
tert-butyl methyl ether	CCH_3	s	1.19	1.13	1.11	1.07	1.14	1.15	1.21
	OCH_3	s	3.22	3.13	3.08	3.04	3.13	3.20	3.22
BHT ^b	ArH	s	6.98	6.96	6.87	7.05	6.97	6.92	
	OH^c	s	5.01		6.65	4.79	5.20		
	ArCH_3	s	2.27	2.22	2.18	2.24	2.22	2.21	
	$\text{ArC}(\text{CH}_3)_3$	s	1.43	1.41	1.36	1.38	1.39	1.40	
chloroform	CH	s	7.26	8.02	8.32	6.15	7.58	7.90	
cyclohexane	CH_2	s	1.43	1.43	1.40	1.40	1.44	1.45	
1,2-dichloroethane	CH_2	s	3.73	3.87	3.90	2.90	3.81	3.78	
dichloromethane	CH_2	s	5.30	5.63	5.76	4.27	5.44	5.49	
diethyl ether	CH_3	t, 7	1.21	1.11	1.09	1.11	1.12	1.18	1.17
	CH_2	q, 7	3.48	3.41	3.38	3.26	3.42	3.49	3.56
diglyme	CH_2	m	3.65	3.56	3.51	3.46	3.53	3.61	3.67
	CH_2	m	3.57	3.47	3.38	3.34	3.45	3.58	3.61
	OCH_3	s	3.39	3.28	3.24	3.11	3.29	3.35	3.37
1,2-dimethoxyethane	CH_3	s	3.40	3.28	3.24	3.12	3.28	3.35	3.37
	CH_2	s	3.55	3.46	3.43	3.33	3.45	3.52	3.60
dimethylacetamide	CH_3CO	s	2.09	1.97	1.96	1.60	1.97	2.07	2.08
	NCH_3	s	3.02	3.00	2.94	2.57	2.96	3.31	3.06
	NCH_3	s	2.94	2.83	2.78	2.05	2.83	2.92	2.90
dimethylformamide	CH	s	8.02	7.96	7.95	7.63	7.92	7.97	7.92
	CH_3	s	2.96	2.94	2.89	2.36	2.89	2.99	3.01
	CH_3	s	2.88	2.78	2.73	1.86	2.77	2.86	2.85
dimethyl sulfoxide	CH_3	s	2.62	2.52	2.54	1.68	2.50	2.65	2.71

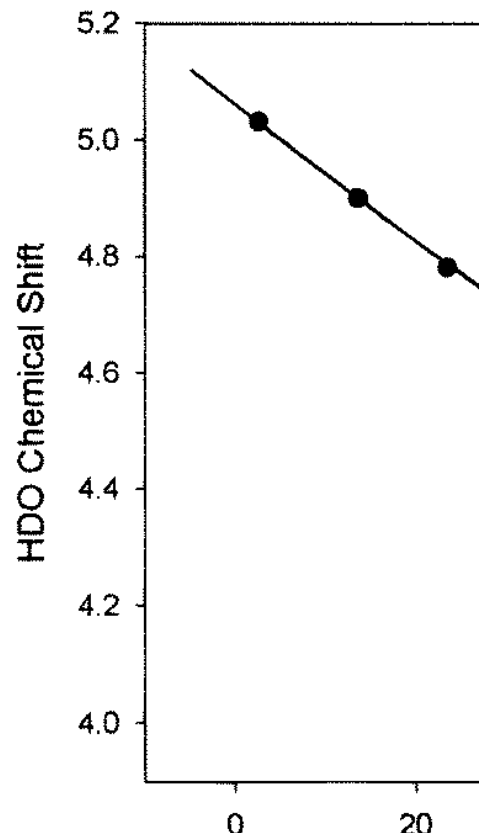
NMR Chemical Shifts of Common Laboratory Solvents as Trace Impurities

Hugo E. Gottlieb,* Vadim Kotlyar, and Abraham Nudelman*

Department of Chemistry, Bar-Ilan University,
Ramat-Gan 52900, Israel

Received June 27, 1997

In the course of the routine use of NMR as an aid for organic chemistry, a day-to-day problem is the identification of signals deriving from common contaminants (water, solvents, stabilizers, oils) in less-than-analytically-pure samples. This data may be available in the literature, but the time involved in searching for it may be considerable. Another issue is the concentration dependence of chemical shifts (especially ^1H); results



JOCで最もDown Loadされている論文

NMR測定をルーチンにしない

NMR測定はルーチンにすると
「最低限の」測定しかできない。

NMR測定は測定者の技術でもっと
上を狙える。

よりよい測定はより多くの情報を
与える

NMR測定をルーチンにしない

を目指せ 「磁場の達人」

使用後の復帰が自力ができるのなら、使い道は広がります
測定でわからないことは監守者に相談すること

本日のアイテム

- ・測定の実際
- ・FT-NMRのきも
- ・なぜ高磁場のNMRを目指すのか
- ・新しい磁気共鳴

FT-NMRのきも

美しいスペクトルを取るために...
目的に合ったスペクトルを取るために...

今、測定しないと次はない！

- もはや試料がない
- 試料が分解してしまった
- 時間との戦い→今ない時間が後であるか？
- あとで必要なときにやればいい、の誘惑

→後悔しない測定を、一期一会

NMRの調整どころ

- 試料の調製
- 分光器の調製
 - 安定性 (stability)
 - 分解能 (resolution)
 - 感度 (sensitivity)

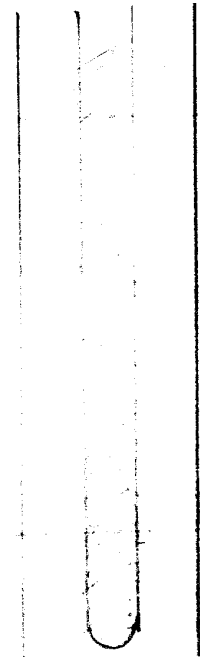
NMRの難しさ

- エネルギー差が小さい
- ボルツマン分布の差が小さい
- 緩和時間が比較的長い (^{13}C , etc.)
- 天然同位体比が少ない (^{13}C , ^{15}N , ^{17}O)
- 高い測定精度要求 0.01 ppm = 1億分の1

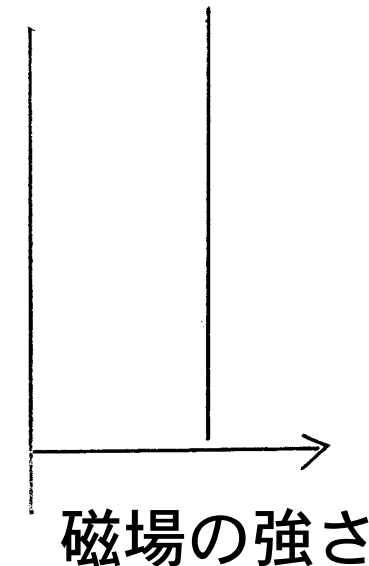
Shim

測定範囲は
広いほうが
サンプル量
多い

短いほうが
磁場を均一
に保ち易い

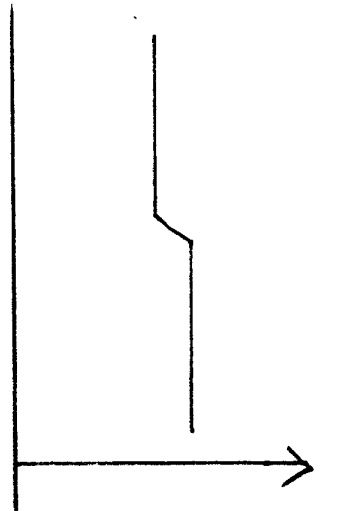


均一



磁場の強さ

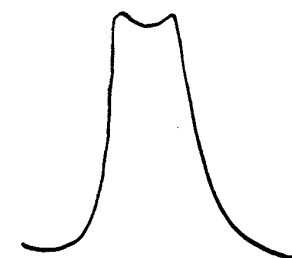
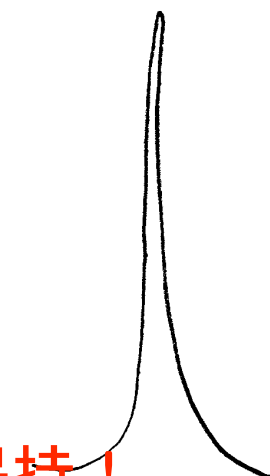
不均一



磁場の強さ

$$0.01 \text{ ppm} = 1/100,000,000$$

しかもこの状態を測定期間中保持！



Shim

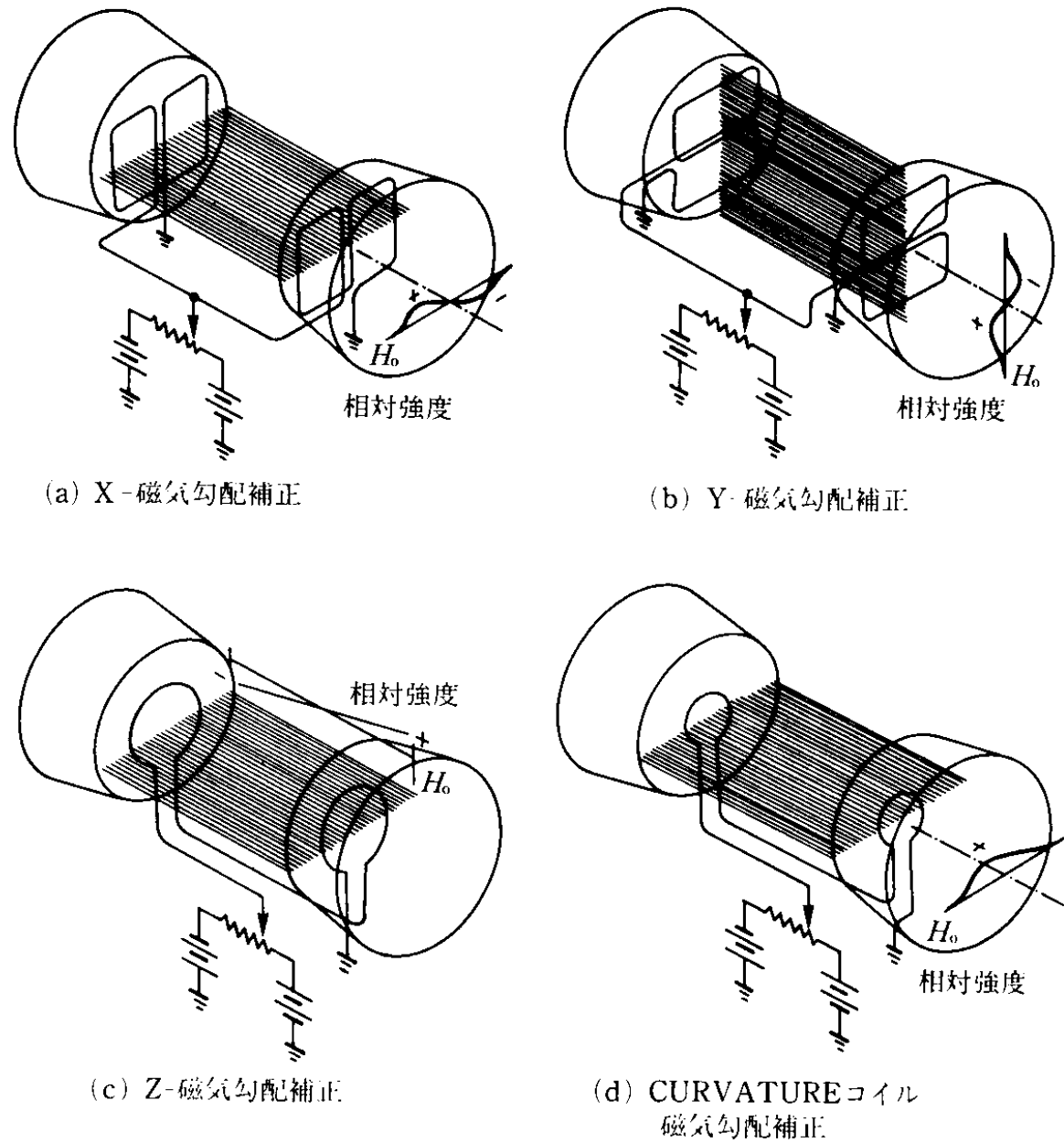


図4.1 シムコイルでつくられる補正用磁場 [F. A. Bovey, *Nuclear Magnetic Resonance Spectroscopy*, p. 36, Academic Press (1969).]

Table 2.1 NMR Shims

Shim

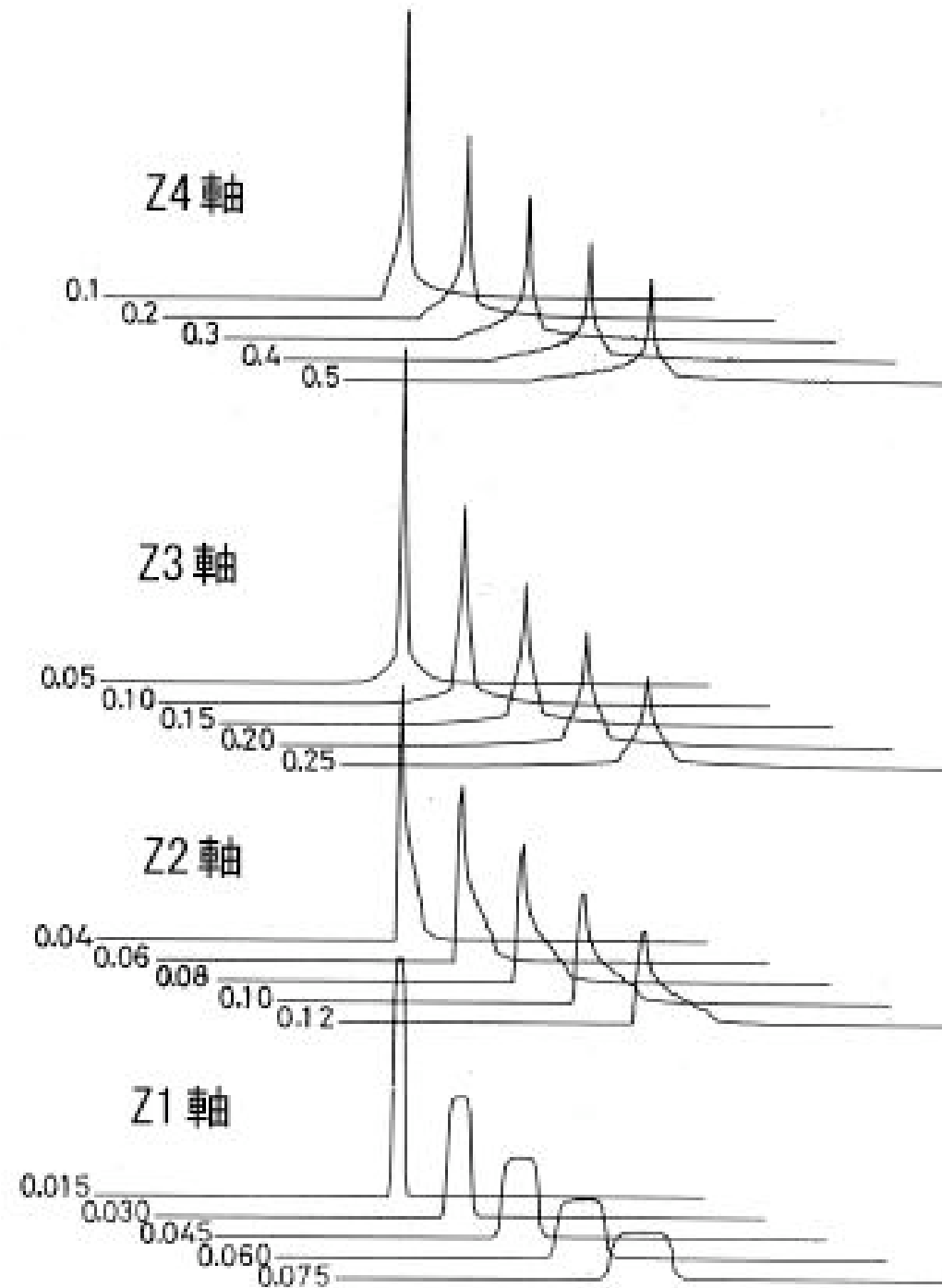
わっかるかな？

わかんねーだろうな

おれもわかんねえ

Shim name	Function
Z^0	1 – main field
Z^1	Z
Z^2	$2Z^2 - (X^2 + Y^2)$
Z^3	$Z[2Z^2 - 3(X^2 + Y^2)]$
Z^4	$8Z^2[Z^2 - (X^2 + Y^2)] + 3(X^2 + Y^2)^2$
Z^5	$48Z^3[Z^2 - 5(X^2 + Y^2)] + 90Z(X^2 + Y^2)^2$
X	
Y	Y
ZX	ZX
ZY	ZY
XY	XY
$X^2 - Y^2$	$X^2 - Y^2$
Z^2X	$X[4Z^2 - (X^2 + Y^2)]$
Z^2Y	$Y[4Z^2 - (X^2 + Y^2)]$
ZXY	ZXY
$Z(X^2 - Y^2)$	$Z(X^2 - Y^2)$
X^3	$X(X^2 - 3Y^2)$
Y^3	$Y(3X^2 - Y^2)$

Shim



Shim

調製基準は
エチル基の
カルテット
4本の間が
Base Line
レベルに
なる

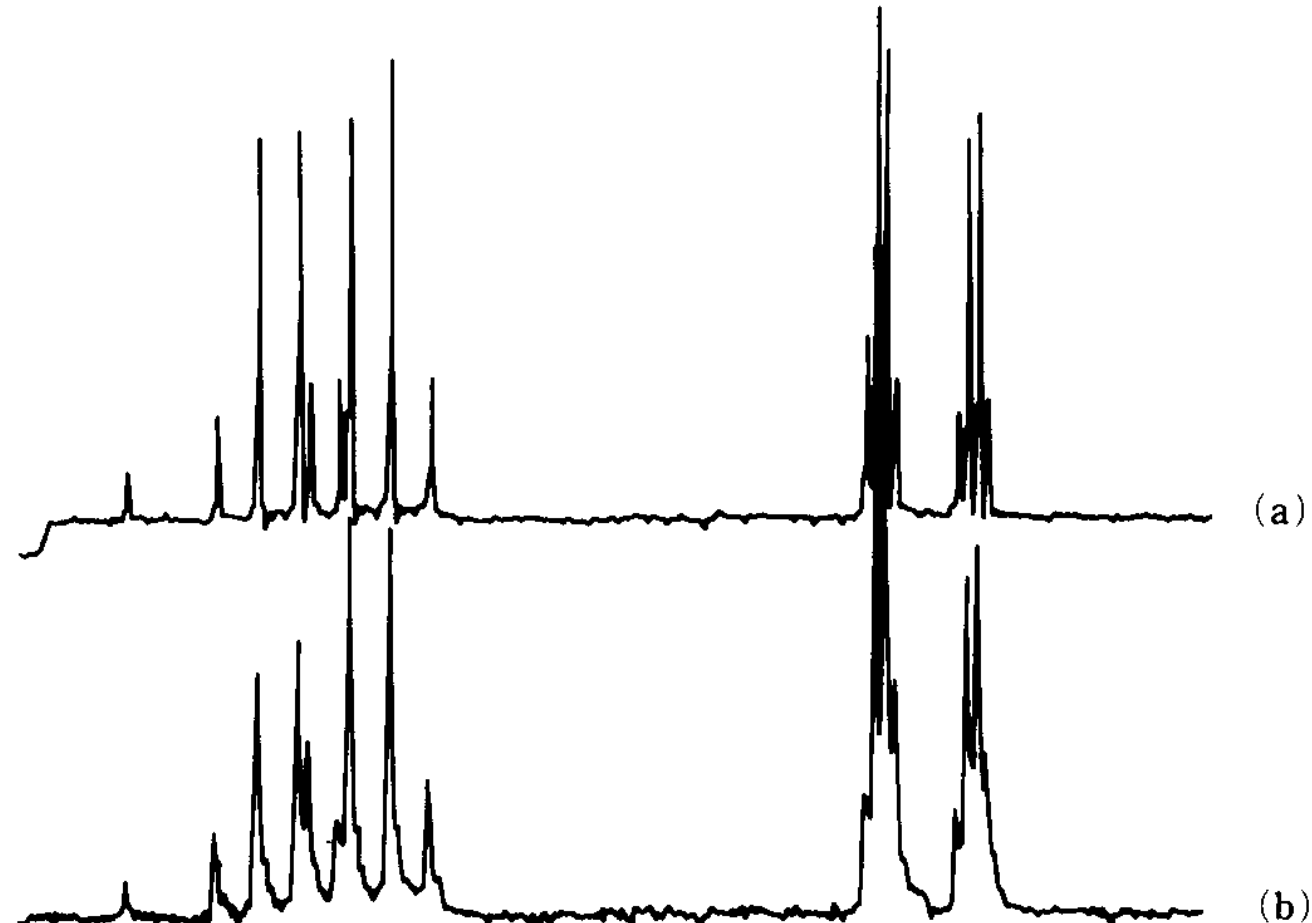


図 4.2 自動シム制御装置の効果. $\text{CH}_3\text{CH}=\text{CHCOOCH}_3$ の二重結合部のプロトンスペクトル. (a) SHIMPLEX により自動的に分解能をあげたスペクトル, (b) Y, C シムを故意にずらして分解能を悪くしたスペクトル

Spin

サテライトの
高さは主な
ピークの
1/40以下

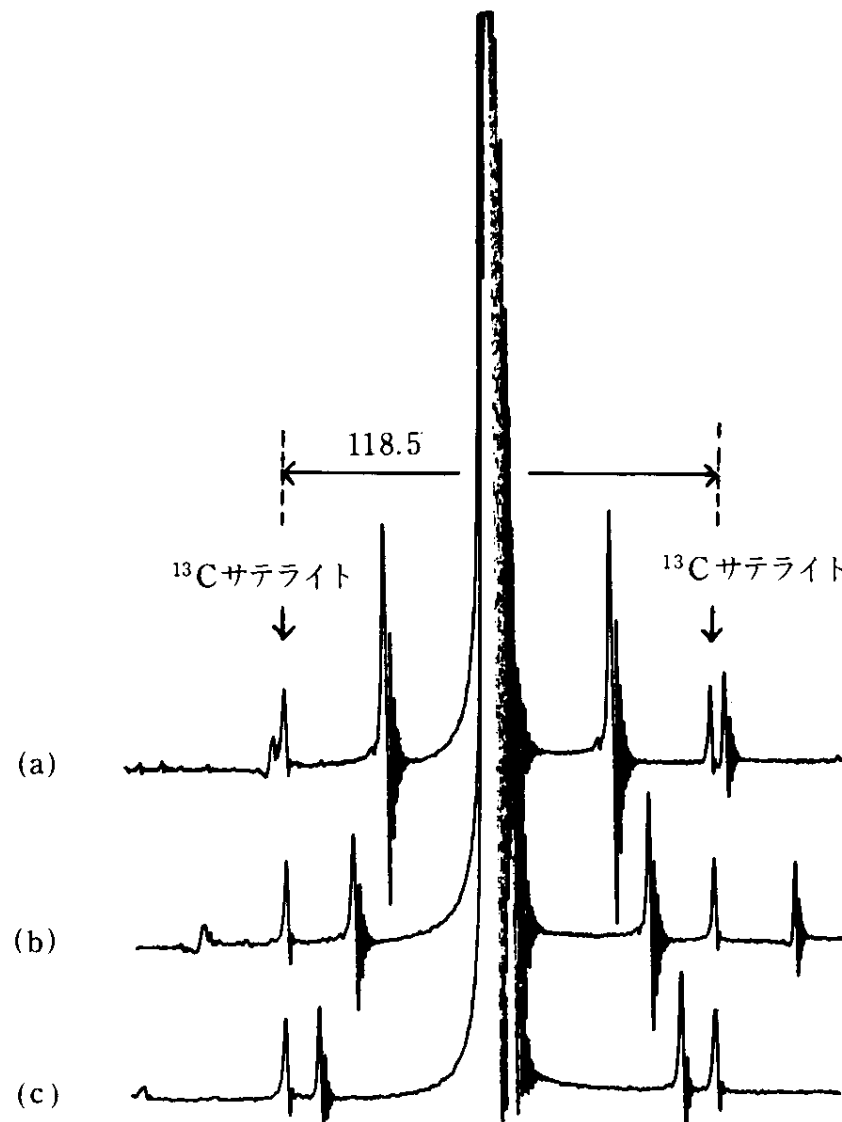


図 4.4 TMS シグナルのサイドバンド。 (a) 30rps, (b) 40rps, (c) 50rps. 移動しないピークは ^{13}C サテライト、すなわち ^{13}C 核によるスピン分裂したシグナル

S/N比

$$\frac{S}{N} = \frac{201}{6.5} \times 2.5 = 77$$

積算回数で調整

$S/N > 50$

S/Nを2倍にする
には積算回数を
4倍にする
(2乗倍にする)

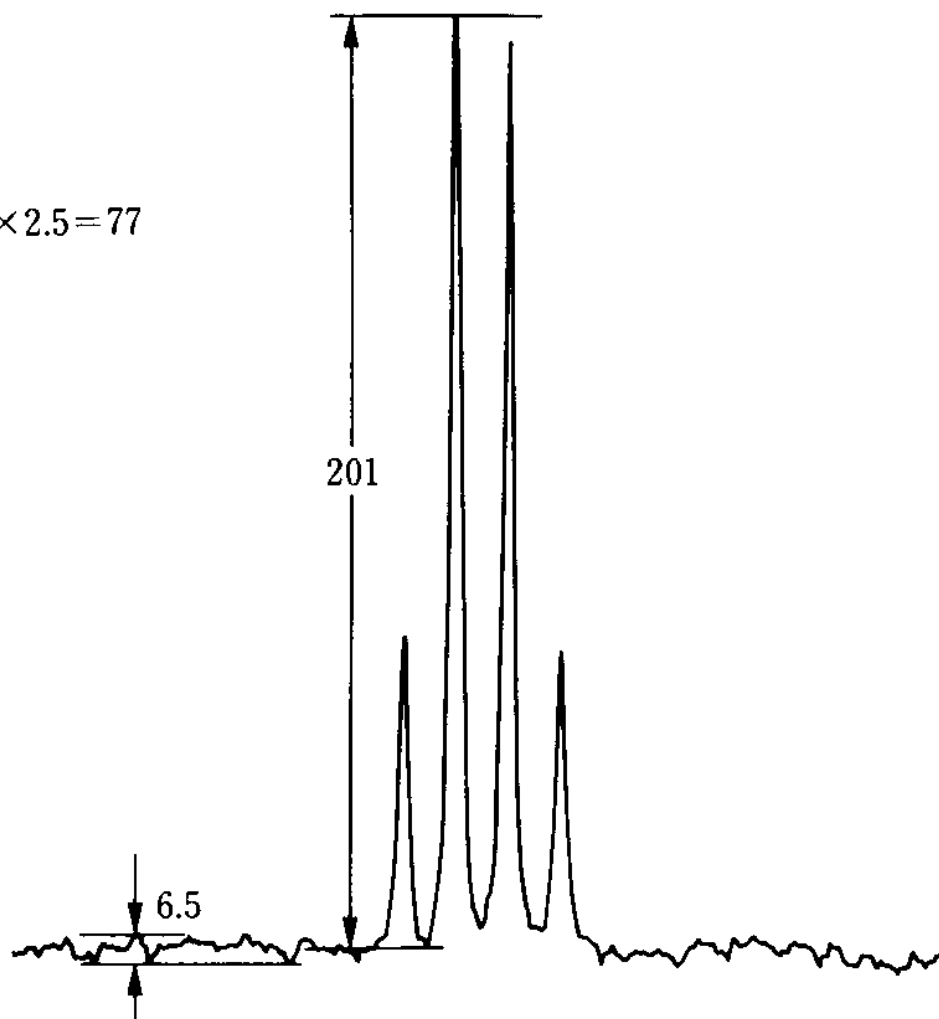


図4.6 感度のチェック。1%エチルベンゼン(CCl_4 溶液の CH_2 部分)。外部ロック測定。装置はJEOL MH-100 [日本電子株式会社提供]

FT NMRのTime Table

いっぱい倒すと1回の強度大、
次の積算までの待ち時間大→積算回数が減る

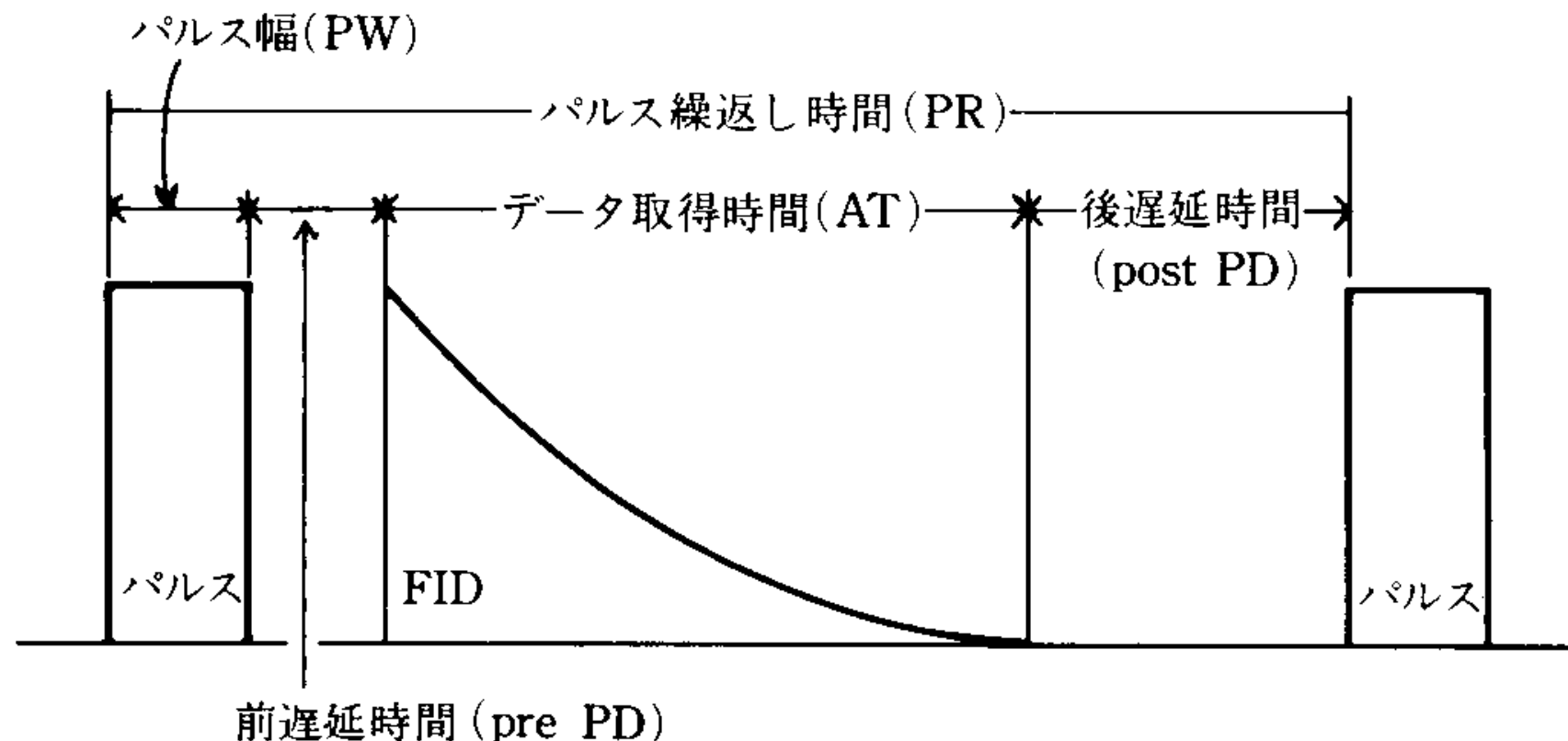


図 4.12 FT NMR の時間割

FT NMRの倒し方と回復時間

いっぱい倒すと1回の強度大、
次の積算までの待ち時間大→積算回数が減る

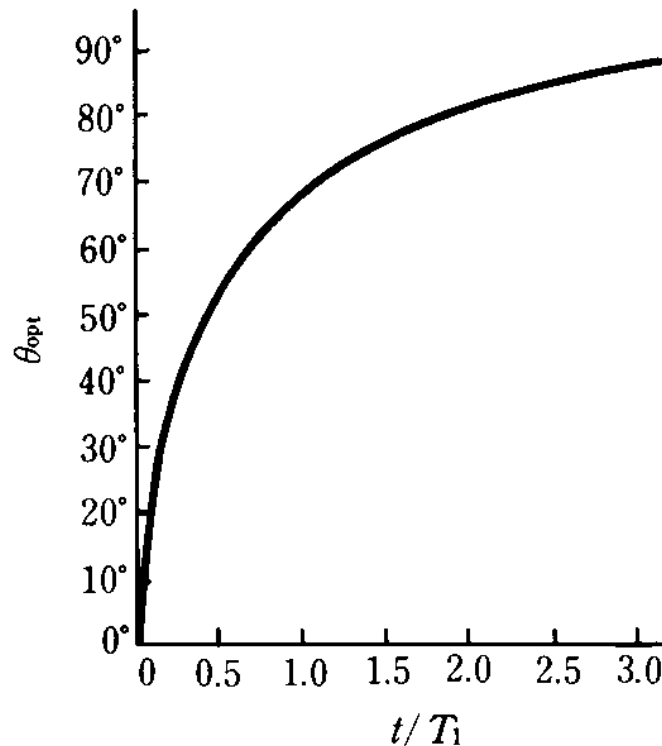


図 4.13 磁化の回復 (99.5 %) に要する時間 T と最適パルス角 θ_{opt} との関係.

緩和時間はややこしい！

縦緩和や横緩和への影響因子

- 双極子一双極子緩和
- 常磁性不純物緩和、酸素・鉄
- スピニー回転緩和
- Etc.

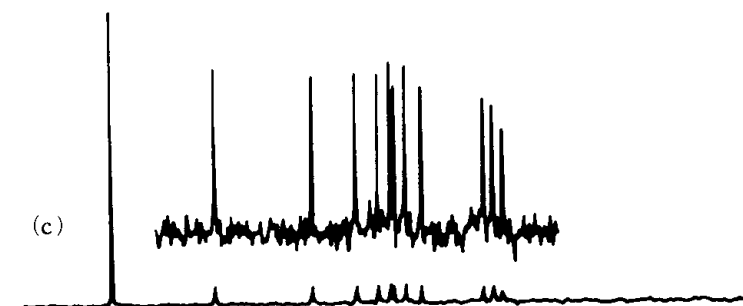
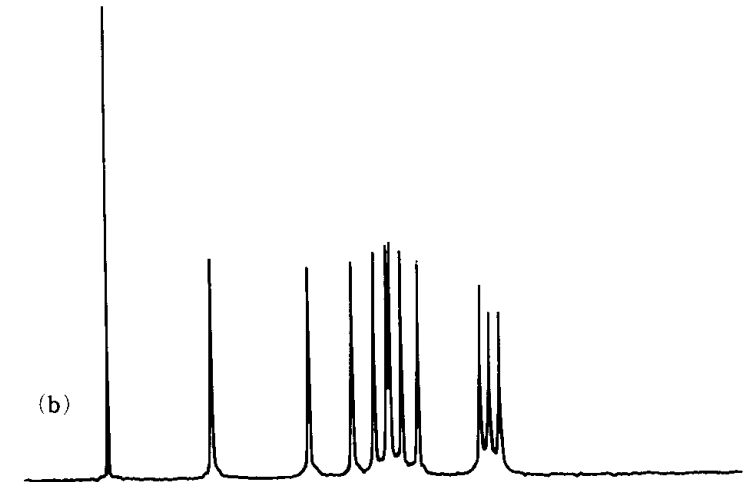
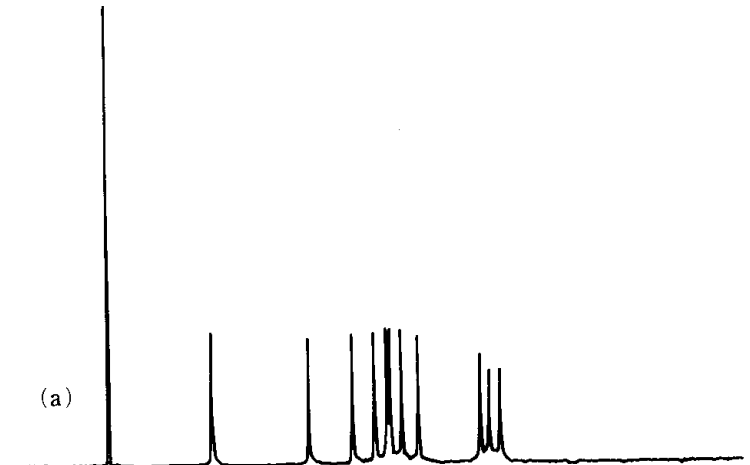
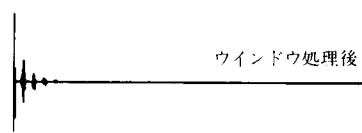
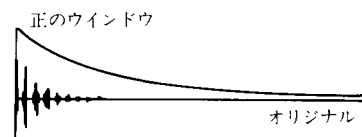
でもこれを使うともっと情報が取れる

FIDの加工

ウインドウ処理

S/N比の向上
分解能の低下

S/N比の低下
分解能の向上



デジタル分解能の問題

- データーポイント数は 32 K
 - ^1H は15-20 ppmを測定
 - 1点0.0005 ppm
 - 600 MHzなら0.30 Hz,
300 MHzなら0.15 Hz
- (ただし、最近はデジタルポイント数が増えたので、300MHz以外は気にしなくてもよいレベルになった。)
- * 磁場が強いと分解能は下がる！

デジタル分解能の問題

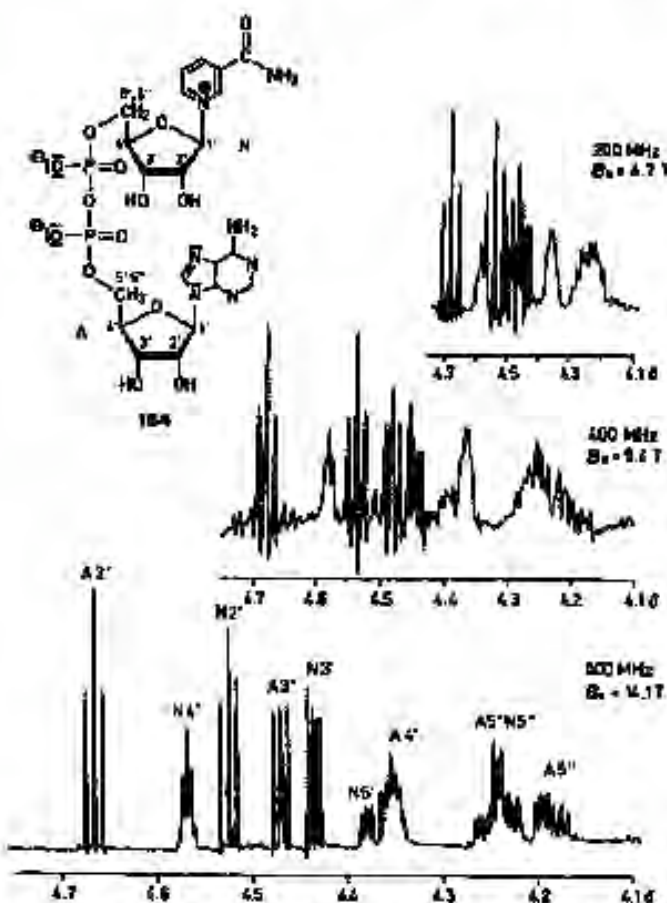
- データーポイント数は32K
- ^{19}F は250 ppmを測定
 - 1点0.008 ppm
 - 600 MHzなら4.7 Hz,
 - 300 MHzなら2.3 Hz
- (ただし、最近はデジタルポイント数が増えたので、300MHz以外は気にしなくてもよいレベルになった。)
- J 値の有効数字は....

高磁場のNMRは必ずしも有利ではない

本日のアイテム

- ・測定の実際
- ・FT-NMRのきも
- ・なぜ高磁場のNMRを目指すのか
- ・新しい磁気共鳴

皆が高周波数のNMRを求める理由



200MHz

メリット

- ・重なりがない
- ・カップリングがす
れない
- ・S/N比の向上

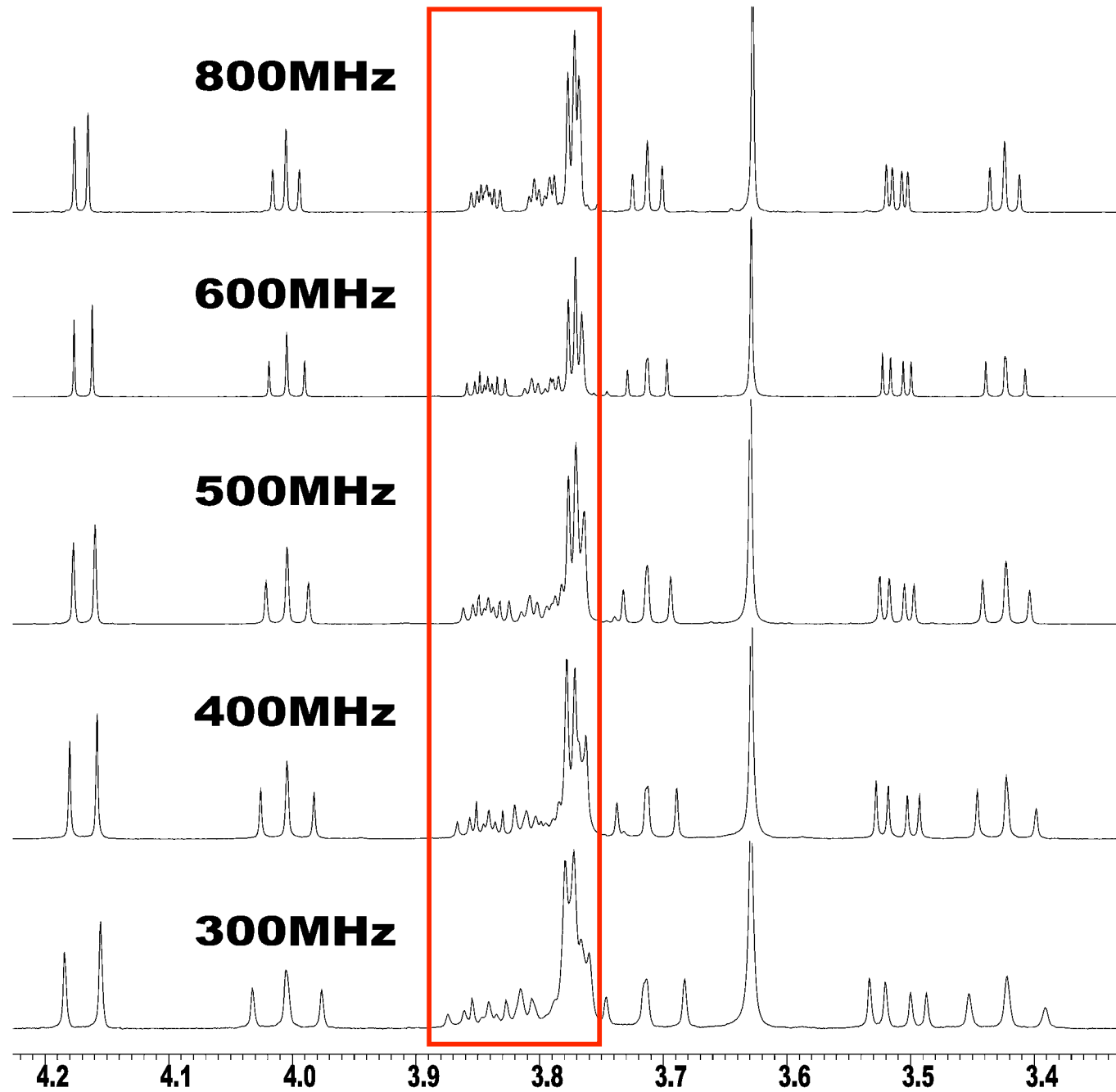
400MHz

デメリット

- ・高い
- ・強磁場
- ・管理が大変

600MHz

Figure 18.3. ^1H NMR spectrum NAD^+ (184) in the high-field region of the ribosomal proteins at three different field strengths and ^1H frequencies. Because of the more favorable H/D ratio, the resolution increases with increasing field strength and facilitates spectral analysis.



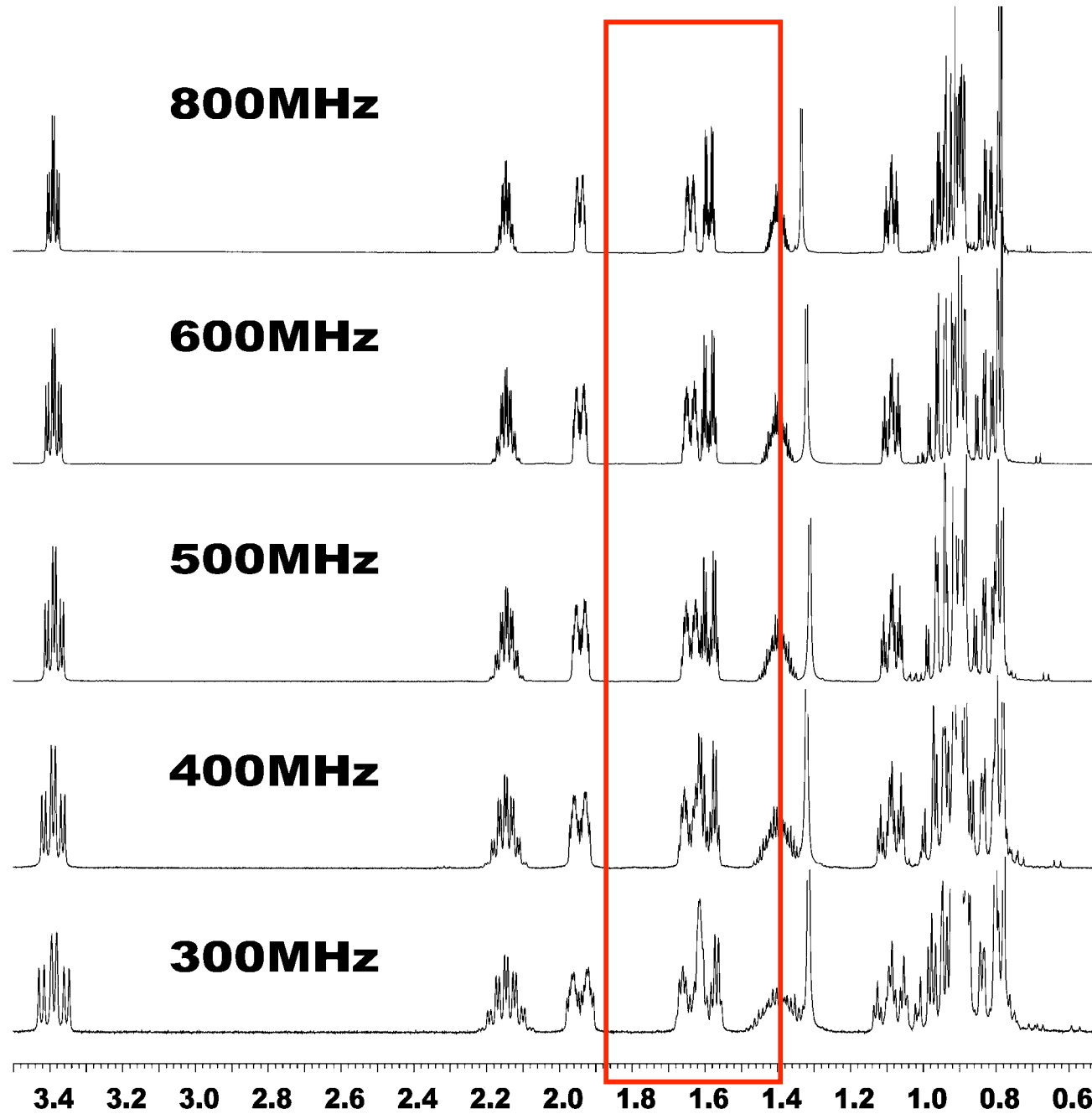
JEOL

Sample:
sucrose

solvent:
 D_2O

Scans:
8scans

Concentration:
4mg/0.6ml



JEOL

Sample:
DL-Menthol

solvent:
CDCl₃

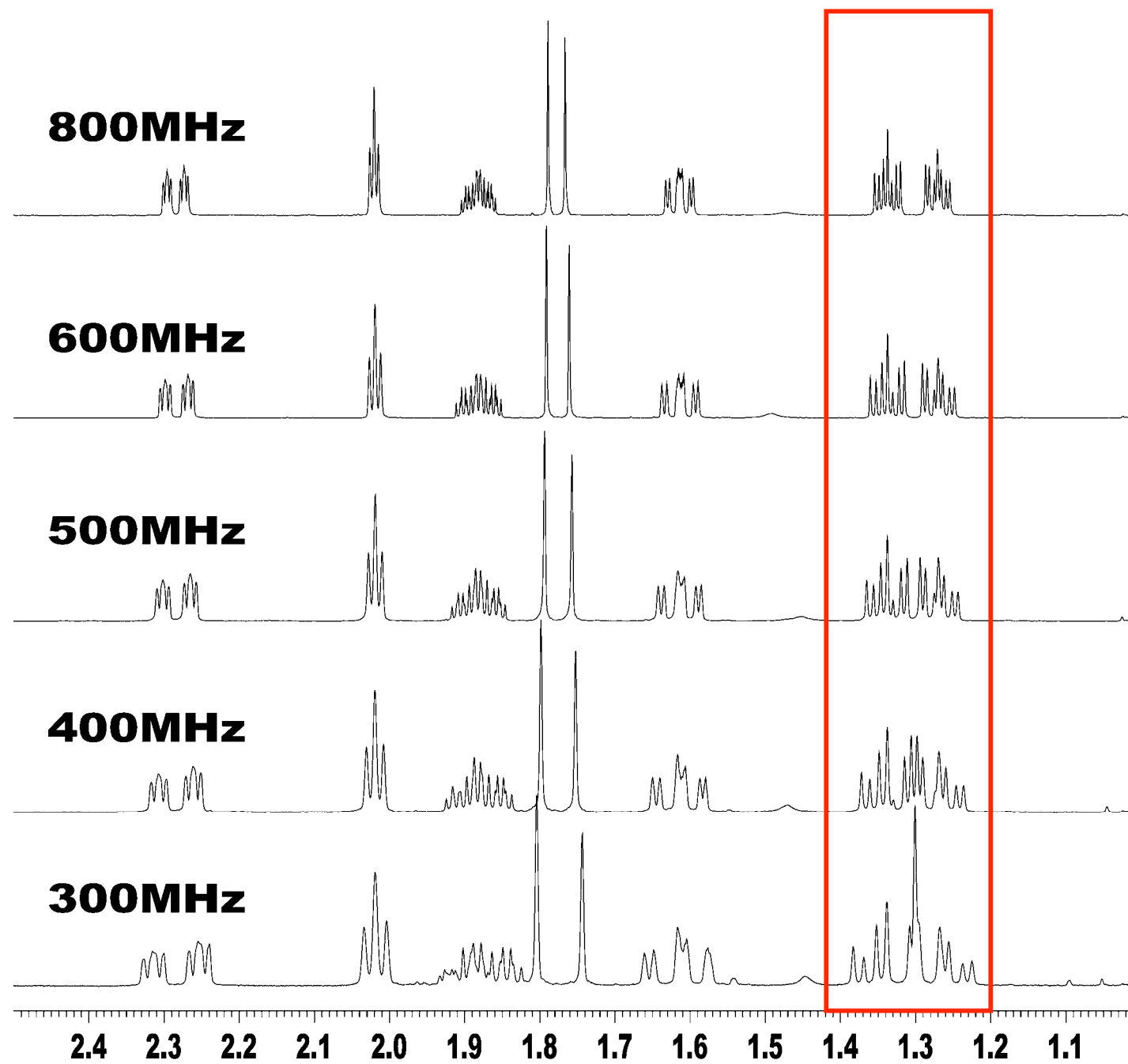
Scans:
8scans

Concentration:
5mg/0.6ml

300 MHz vs 800 MHz



2.0 1



JEOL

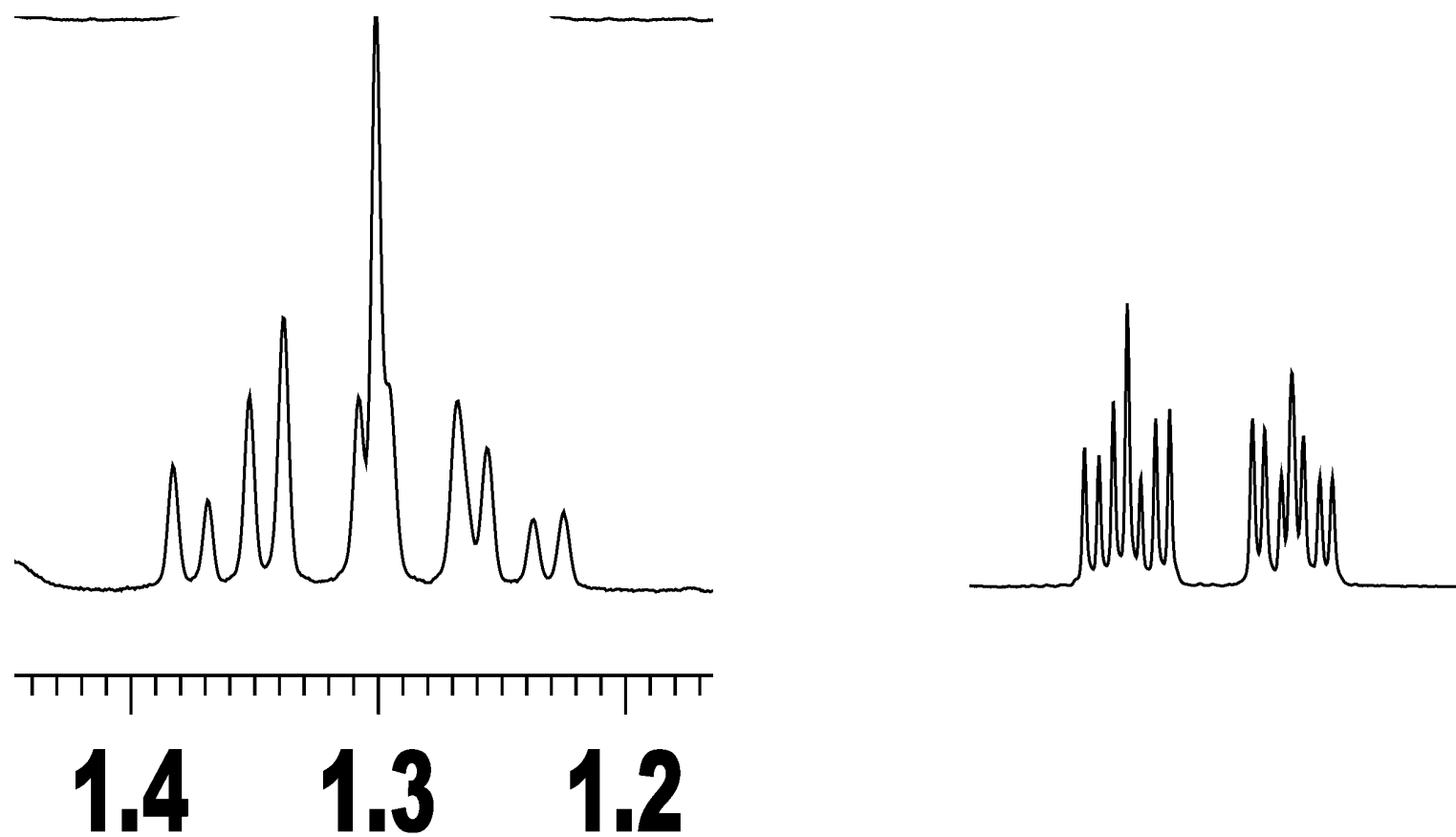
Sample:
Camphor

solvent:
CDCl₃

Scans:
8scans

Concentration:
5mg/0.6ml

300 MHz vs 800 MHz



高磁場装置のメリット

- スペクトルの分離がよい
→ 解析が容易、J値が正確
- S/N比が向上、磁場の強さの二乗倍
→ 積算回数が少なくて済む
→ 少量のサンプルで測定できる

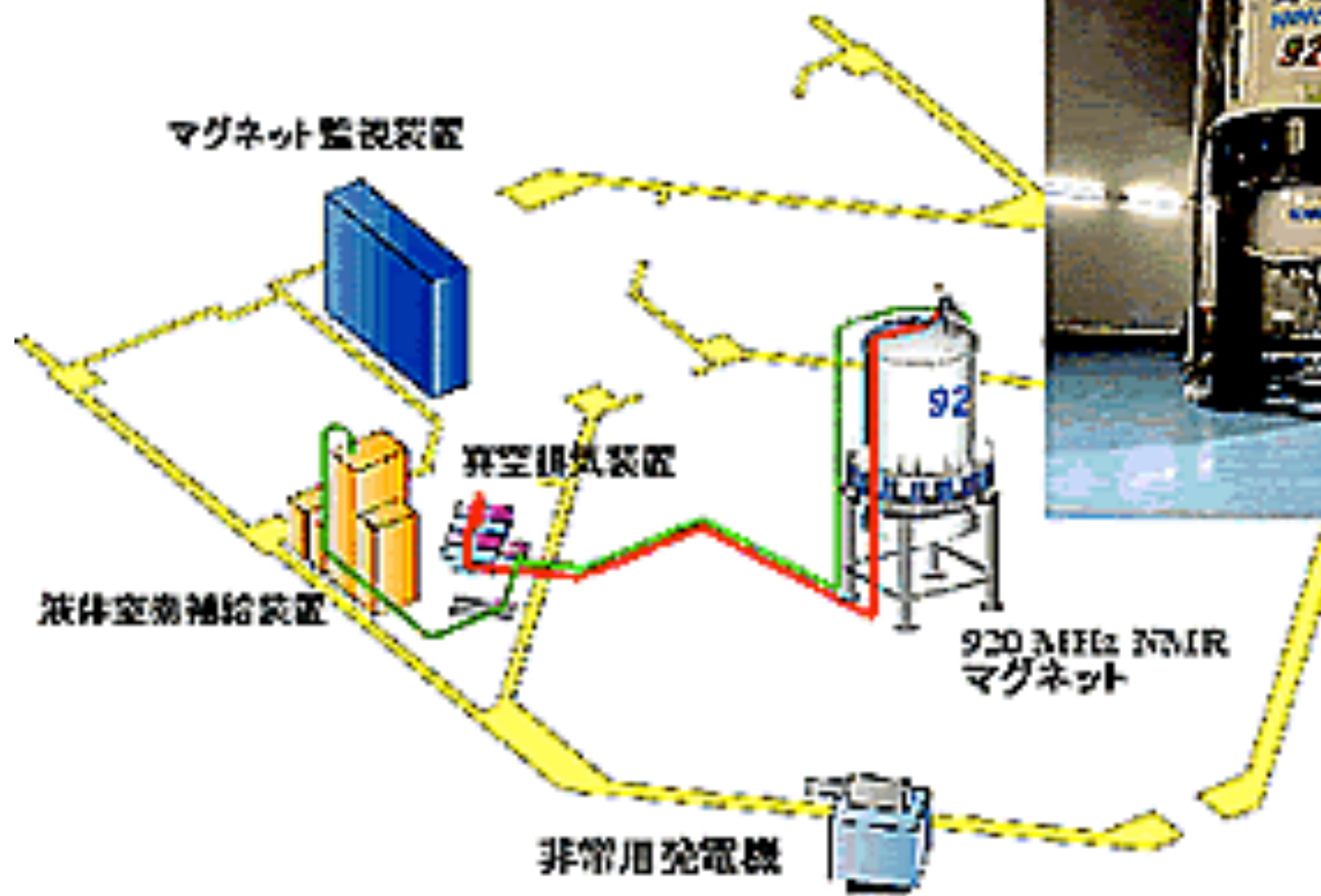
デメリット

- 装置の管理
 - 高価格
 - メンテの大変さ 液体窒素ヘリウム
 - 超強磁場 遮蔽、健康影響？
- J へのデジタル分解能問題
 - (600 MHzマシンで ^{19}F で J 値の有効数字を0.0 Hzにするためには、0.00017 ppmの精度、1.5 Mpのデーター取得が必要。)

結論

- 高磁場NMRは適材適所で使うべし
- 生体分子の分析や少量物質の分析には
強力な武器
- 簡単な物質の合成にはover spec.

920 MHz NMR (JEOL)



900 MHz NMR (Varian)



900 MHz NMR (Bruker)



900 MHzは
300 MHzの
20倍の価格

価格：
AVANCE300
¥56,000,000

AVANCE900
¥1,170,000,000
(標準システム)

本日のアイテム

- ・ 測定の実際
- ・ FT-NMRのきも
- ・ なぜ高磁場のNMRを目指すのか
- ・ 新しい磁気共鳴
 - INEPT と DEPT
 - DOSY
 - COSY
 - NOESY
 - 2D INADEQUATE

FT NMRのTime Table

いっぱい倒すと1回の強度大、
次の積算までの待ち時間大→積算回数が減る

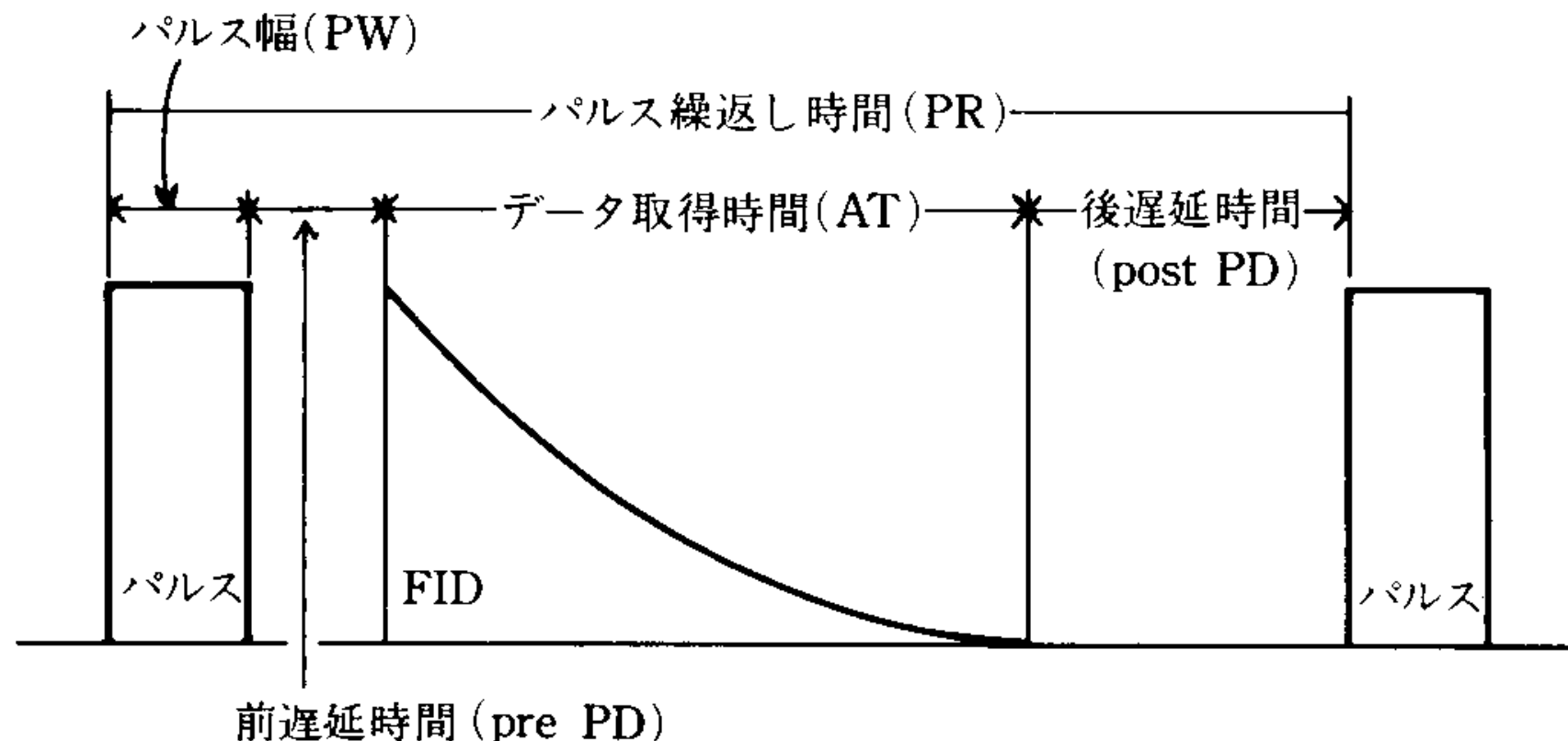


図 4.12 FT NMR の時間割

FT NMRの倒し方と回復時間

濃いサンプルなら倒し(パルス幅)を大きく、
積算回数は少なめでDTを長めに
薄いサンプルなら倒しを小さく、
積算回数を稼ぐ。

Totalで最大のS/Nを目指す。

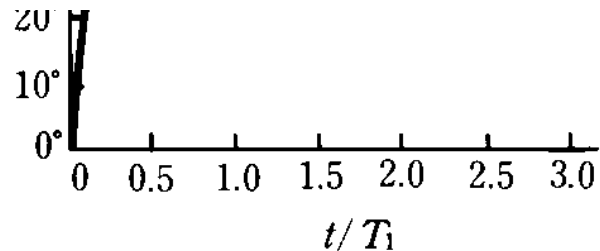


図 4.13 磁化の回復 (99.5 %) に要する時間 T と最適パルス角 θ_{opt} との関係。

緩和時間はややこしい！

縦緩和や横緩和への影響因子

- 双極子一双極子緩和
- 常磁性不純物緩和、酸素・鉄
- スピニー回転緩和
- Etc.

でもこれを使うともっと情報が取れる

基本事項の確認

- 緩和
- NOE
- J coupling

INEPT とDEPT

- INEPTは当初、プロトンの分極を ^{13}C へ移すことにより、感度の向上を目指すものであった。
- INEPTにおいて、炭素に結合している水素数により分極が逆転する。
- これを改良し炭素についている水素の数を決定できるようにしたのがDEPT

緩和時間はややこしい！

縦緩和や横緩和への影響因子

- 双極子一双極子緩和
- 常磁性不純物緩和、酸素・鉄
- スピニー回転緩和
- Etc.

でもこれを使うともっと情報が取れる

INEPT

Insensitive

Nuclei

Enhancement by

Polarization

Transfer

の略、水素の分極を ^{13}C に送り込む。

→S/N比が良くなる。

→水素のつき方が判る

INEPTの原理

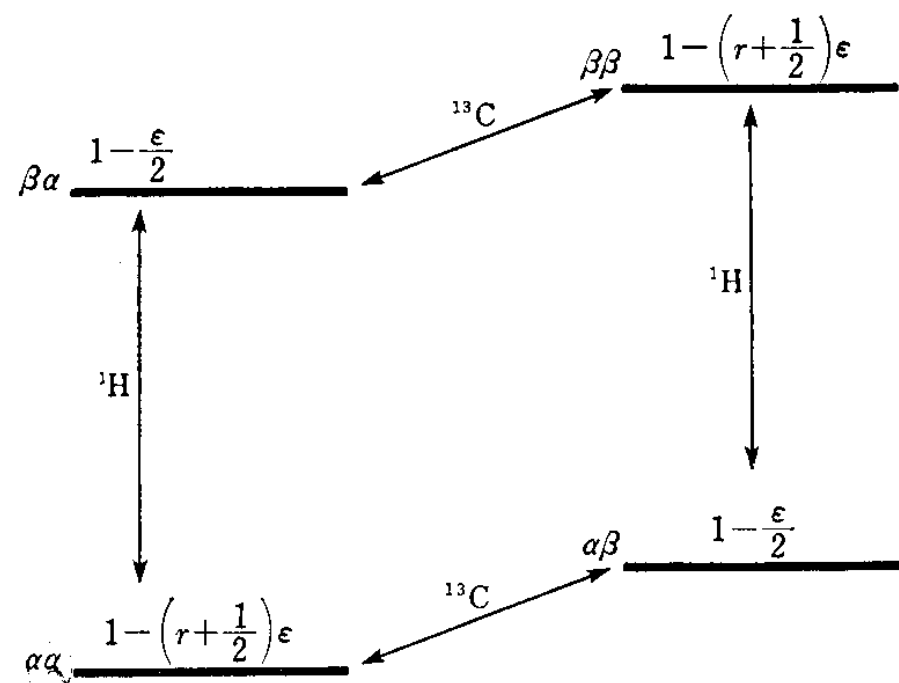


図 3 CH_2 スピン系のエネルギー準位. $\epsilon = \gamma_{\text{C}} \hbar H_0 / kT$, $r = \gamma_{\text{H}} / \gamma_{\text{C}}$.

INEPT—強度増大法

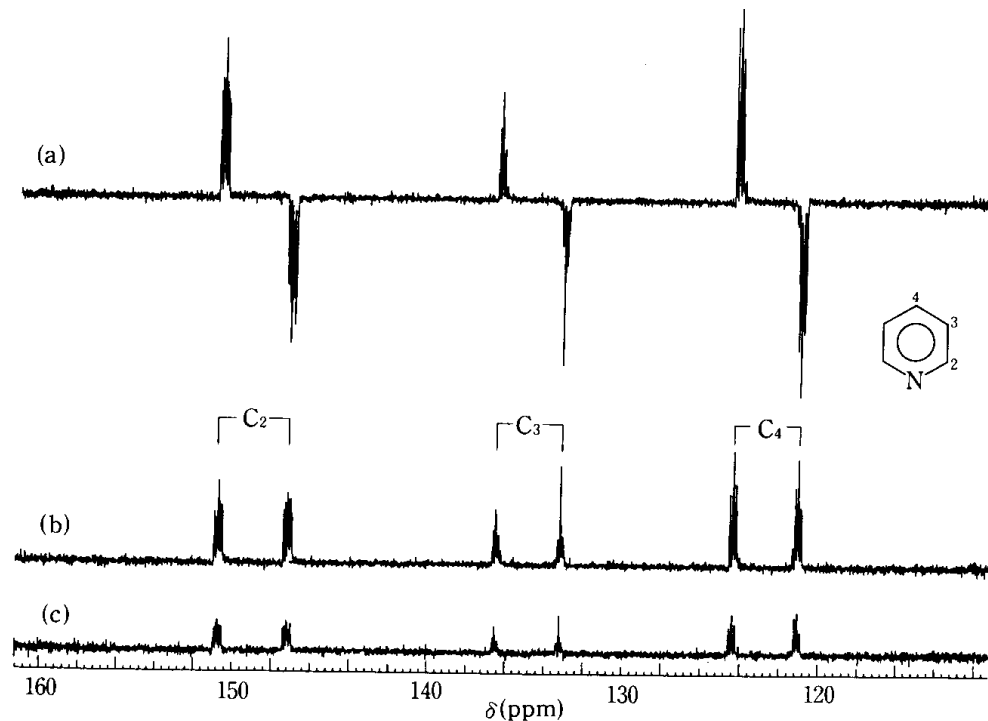
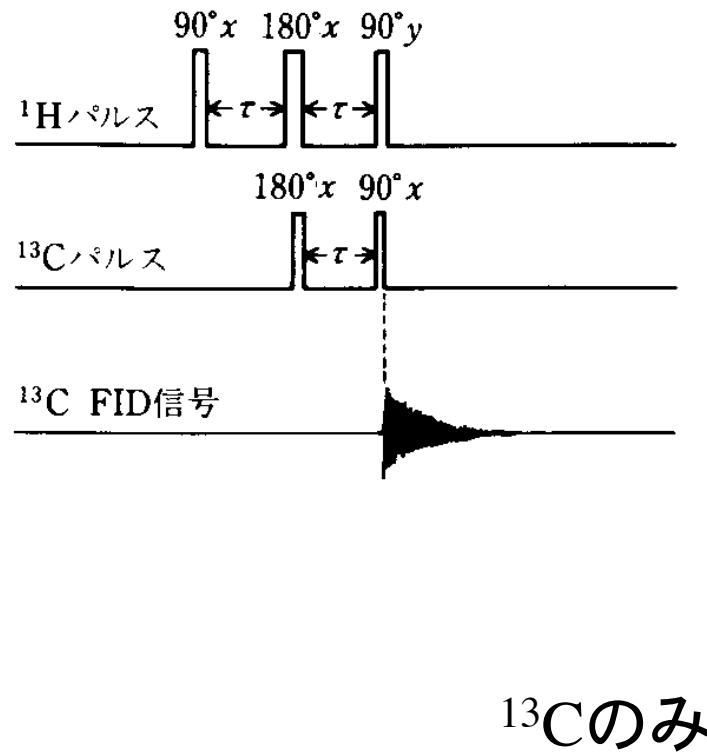


図 6.22 感度増大のための INEPT 測定例, ピリジンの ^{13}C NMR, 50MHz, (a) INEPT 法, $\tau \approx 1/(4J_{\text{CH}})$ (図 6.21 (a) 参照), (b) デカップリング効果を消去した NOE 測定 (5.2.4 項参照), (c) プロトン非照射条件でのスペクトル. (a), (b), (c) ともに測定時間は同一. [日本電子株式会社提供]

INEPT—結合水素判別

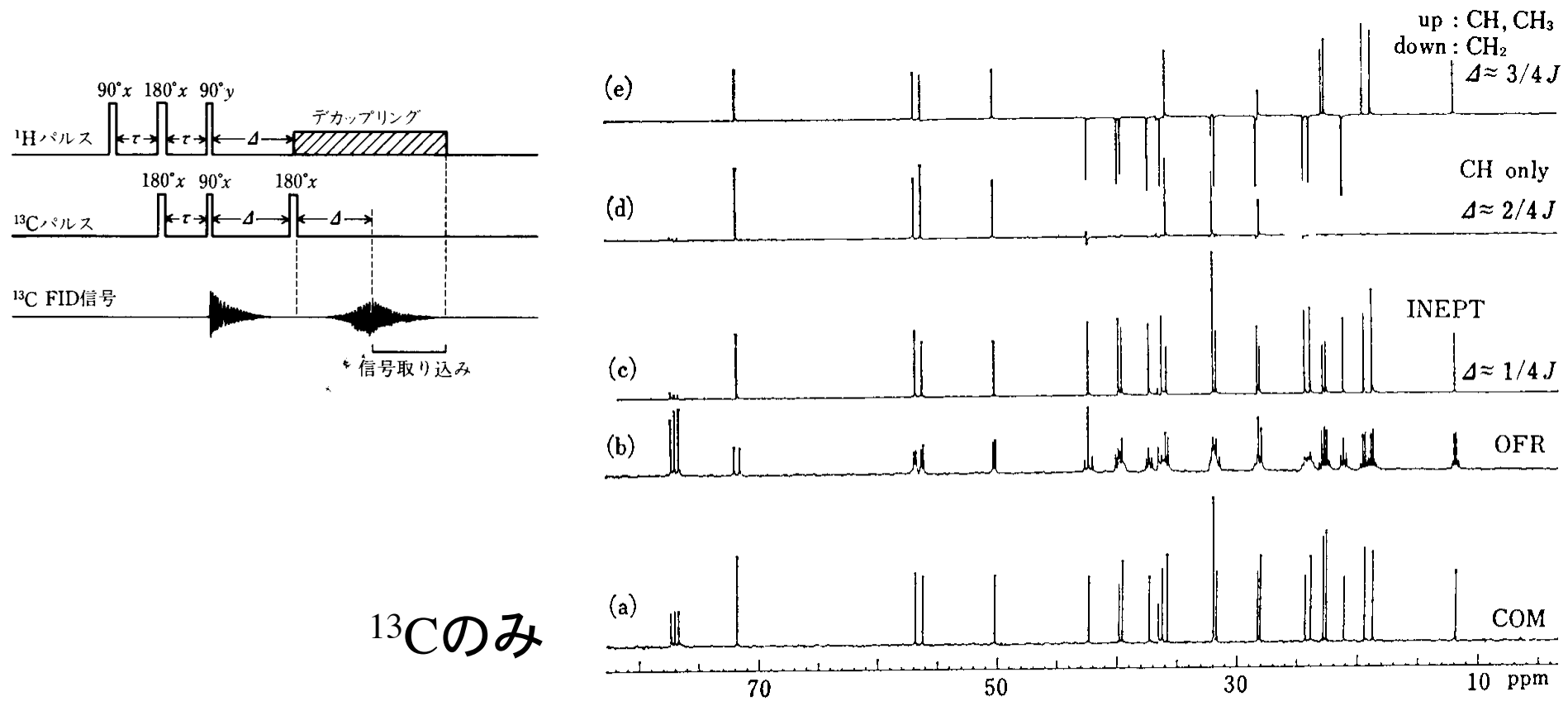
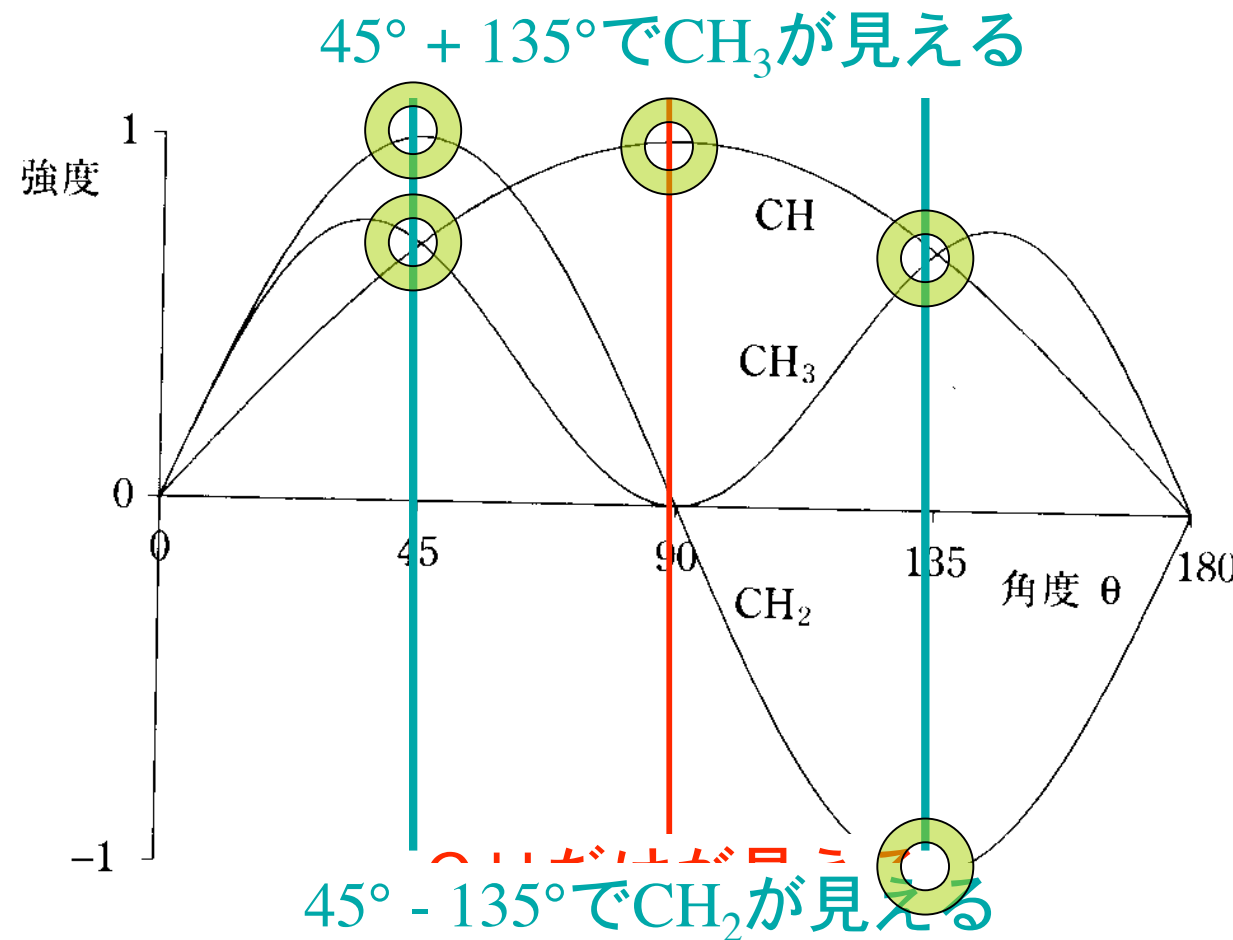


図 6 コレスステロールの INEPT スペクトル. (a) 完全デカップル通常スペクトル, (b) オフレゾナススペクトル, (c) INEPT, $\Delta=1/4 J$, (d) INEPT, $\Delta=1/2 J$, (e) INEPT, $\Delta=3/4 J$.

INEPT—結合水素判別

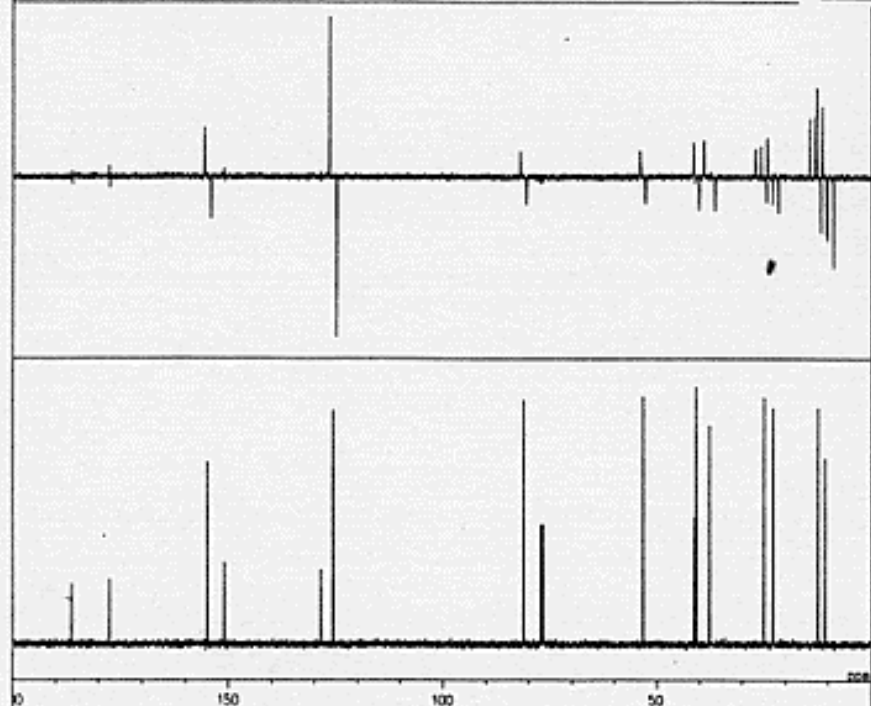


交換時間の長さで、¹³Cの強度は変わる

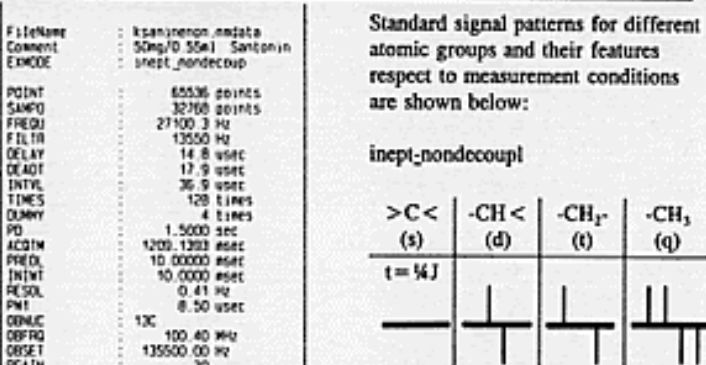
INEPT

2-3 J_{CH} Measurement Using INEPT (inept_nondecoup)
 The sensitivity is drastically enhanced in this method. The spectrum obtained in this method has better S/N than in the "noe" method and is easy to analyze because coupled signals give pairs of signals in the opposite directions, upward and downward. Signals of the quaternary carbons are eliminated.

2-3/ Sample: α -Santonin in CDCl_3 (50 mg/0.55 ml)

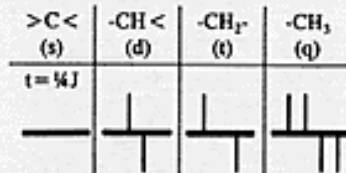


File Name: santonin_nodata
 Comment: 50mg/0.55ml Santonin
 inepT_nondecoup
 EXMODE:
 POINT: 65536 points
 SAMPL: 32768 points
 FREQ1: 27100.3 Hz
 FILT1: 13550 Hz
 DELAY: 14.8 usec
 DEADT: 17.9 usec
 INVL: 36.9 usec
 TIMES: 128 times
 DURAT: 4 times
 PD: 1.5000 sec
 ACQIM: 1200-1200 usec
 PROD: 10.0000 usec
 INTWT: 10.0000 usec
 RESOL: 0.41 Hz
 PW1: 8.50 usec
 DPPM: 13C
 DPPRFQ: 100.40 MHz
 DPPSET: 13550.00 Hz
 RESAT: 30
 R1A1N: 12.50 usec
 PRO: 135.00 Hz
 JOINT: 1H
 INTRAC: 399.65 Hz
 INTRQ: 134500.00 Hz
 T1SET: 67 times
 SCANS: 600.3
 SLINT: 0.0013

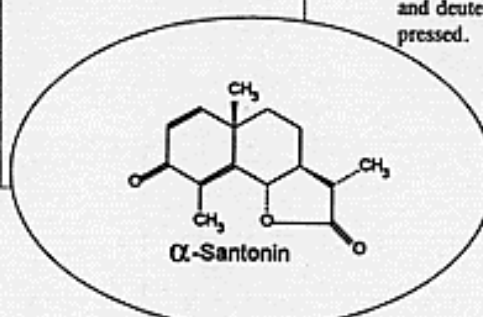


Standard signal patterns for different atomic groups and their features respect to measurement conditions are shown below:

inept-nondecoupl



- Effective only when $t = 1/4 J$.
- The pulses can be repeated in a cycle corresponding to the ^1H relaxation time.
- Signals of the quaternary carbons and deuterated solvent are suppressed.



DEPT

INEPTの改良版

さらに改良したものが
多数ある

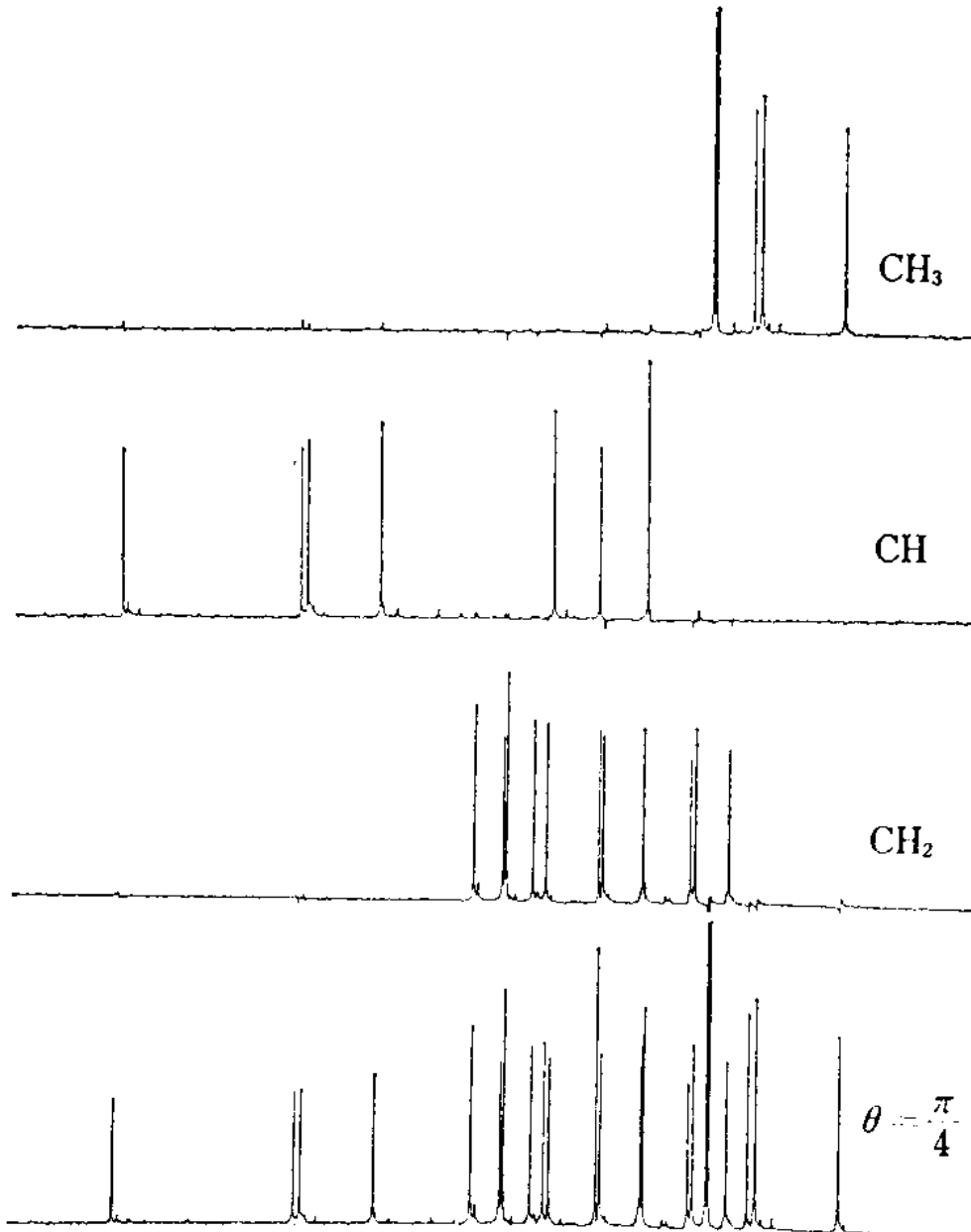
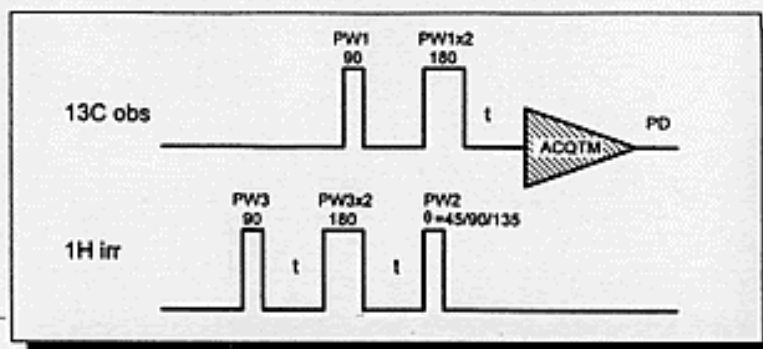
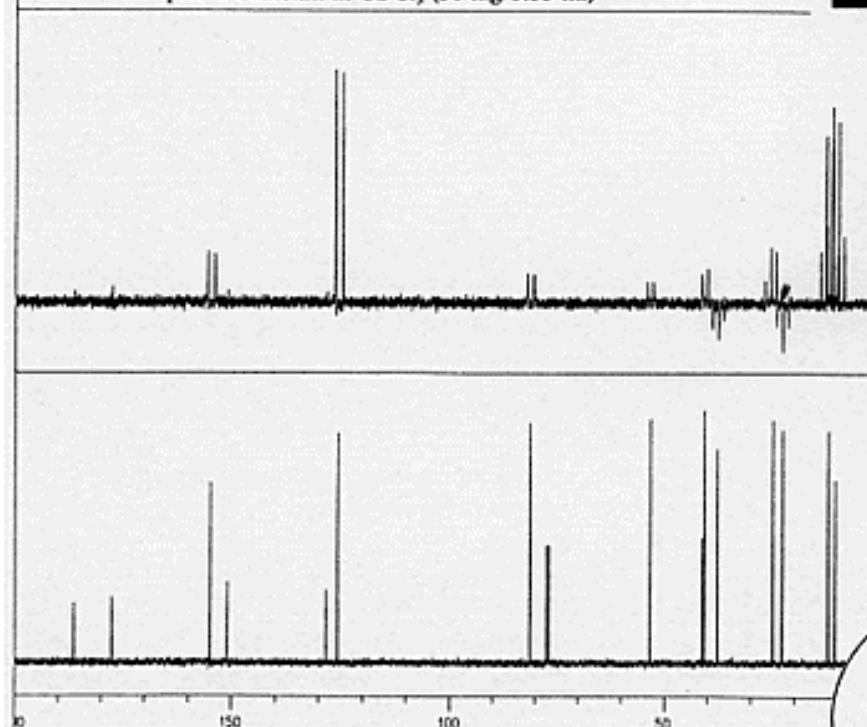


図 8 コレステロールの DEPT スペクトル. CH_3 , CH_2 , CH_3 部分スペクトルの編集²⁰⁾.

DEPT

2-4 $J_{\text{C-H}}$ Measurement Using DEPT (dept_nondecoup)
 The sensitivity is drastically enhanced in this method. The spectrum obtained in this method has better S/N than in the "noe" method and is easy to distinguish different atomic groups because each atomic group has an inherent phase character. Signals of the quaternary carbons are eliminated.

2-4/ Sample: α -Santonin in CDCl_3 (50 mg/0.55 ml)

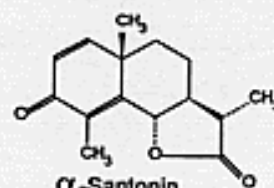


Standard signal patterns for different atomic groups and their features respect to measurement conditions are shown below:

dept-nondecoup

	$>\text{C}<$ (s)	$-\text{CH}<$ (d)	$-\text{CH}_2-$ (t)	$-\text{CH}_3$ (q)
$\theta_1 = 45$	—			
$\theta_2 = 90$	—		—	—
$\theta_3 = 135$	—			—

- The spectrum for each atomic group can be edited from the spectra for $\theta_1 - \theta_2$.
- Signals of the quaternary carbons and deuterated solvent are suppressed.



本日のアイテム

- ・新しい磁気共鳴
 - INEPT と DEPT
 - DOSY
 - COSY
 - NOESY
 - 2D INADEQUATE

緩和時間はややこしい！

縦緩和や横緩和への影響因子

- 双極子一双極子緩和
- 常磁性不純物緩和、酸素・鉄
- スピニー回転緩和
- Etc.

でもこれを使うともっと情報が取れる

緩和時間はややこしい！

縦緩和や横緩和への影響因子

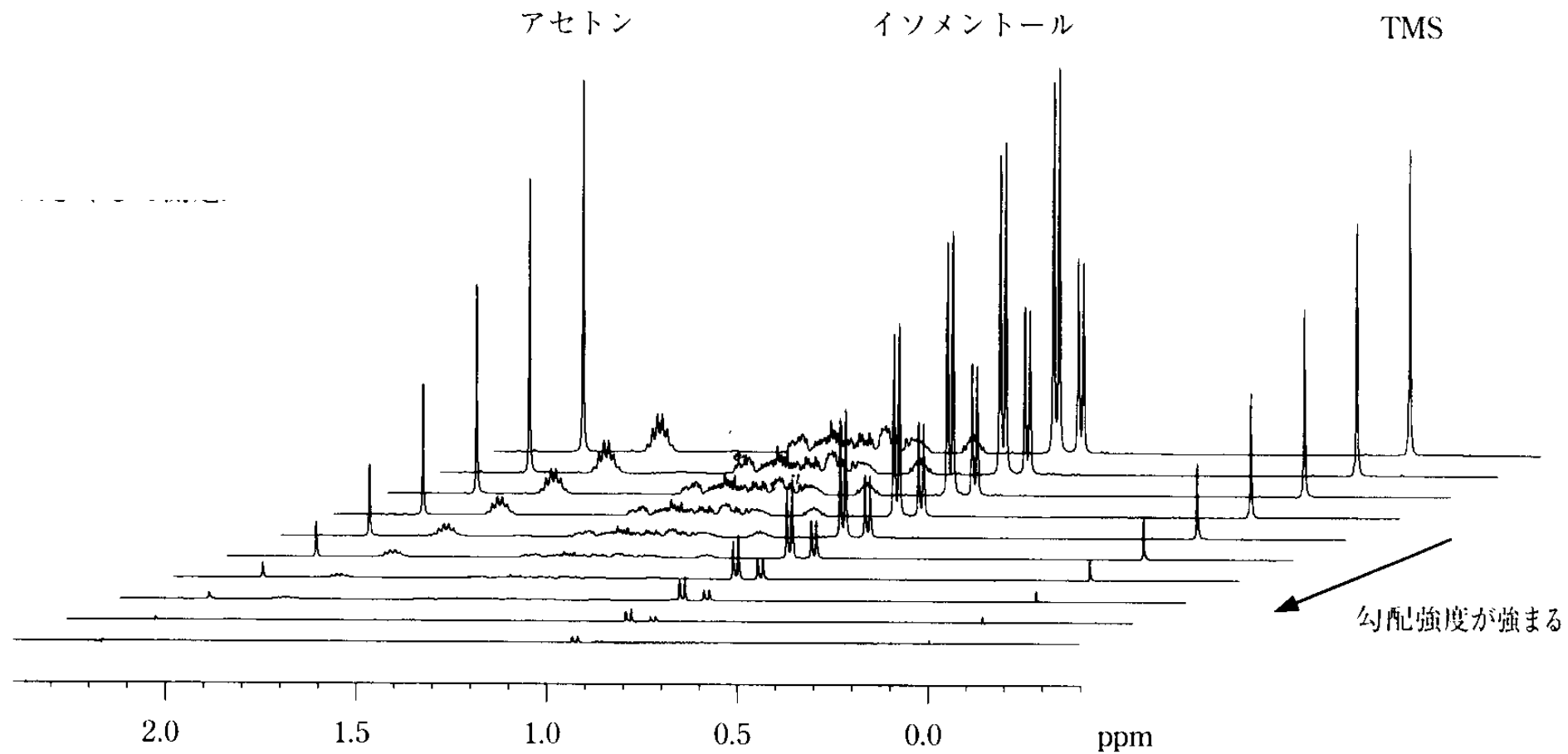
- 双極子一双極子緩和
- 常磁性不純物緩和、酸素・鉄
- スピニー回転(拡散)緩和
- Etc.

でもこれを使うともっと情報が取れる

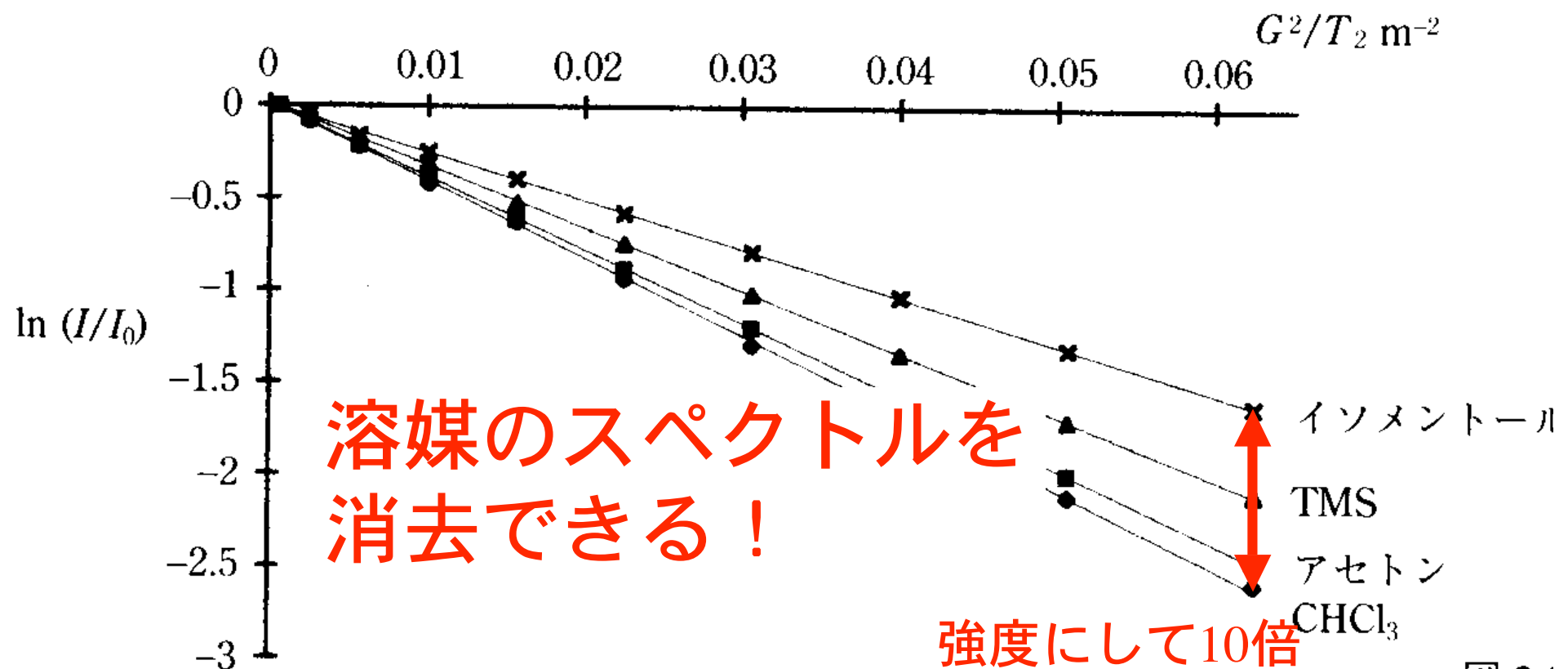
スピニー回転(拡散)緩和

- 小さな分子ほど拡散しやすい
- 小さな分子ほど回転しやすい
- →小さな分子ほど緩和しやすい。
(ピークが小さくなる)

DOSY



DOSY



さて、できるから、
やっていいのか？。

それが、研究の本質にかかわる
のなら、データーのメーキングに
なる恐れもある。

純度の議論が必要なのに溶媒の
ピークを消すことは許されない。

自己責任で！

本日のアイテム

- ・新しい磁気共鳴
 - INEPT と DEPT
 - DOSY
 - COSY
 - NOESY
 - 2D INADEQUATE

COSY

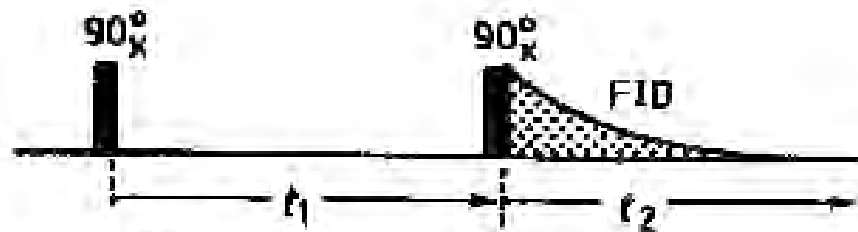
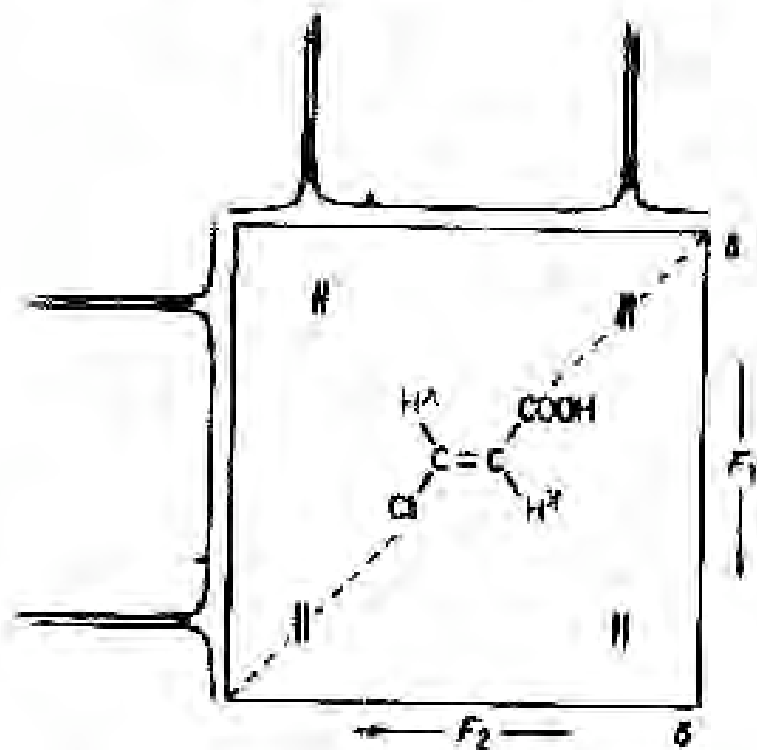


Figure 8.12 Pulse sequence for a COSY spectrum



フーリエ変換は
時間を周波数に変換

t_1 to F_1
 t_2 to F_2

COSY

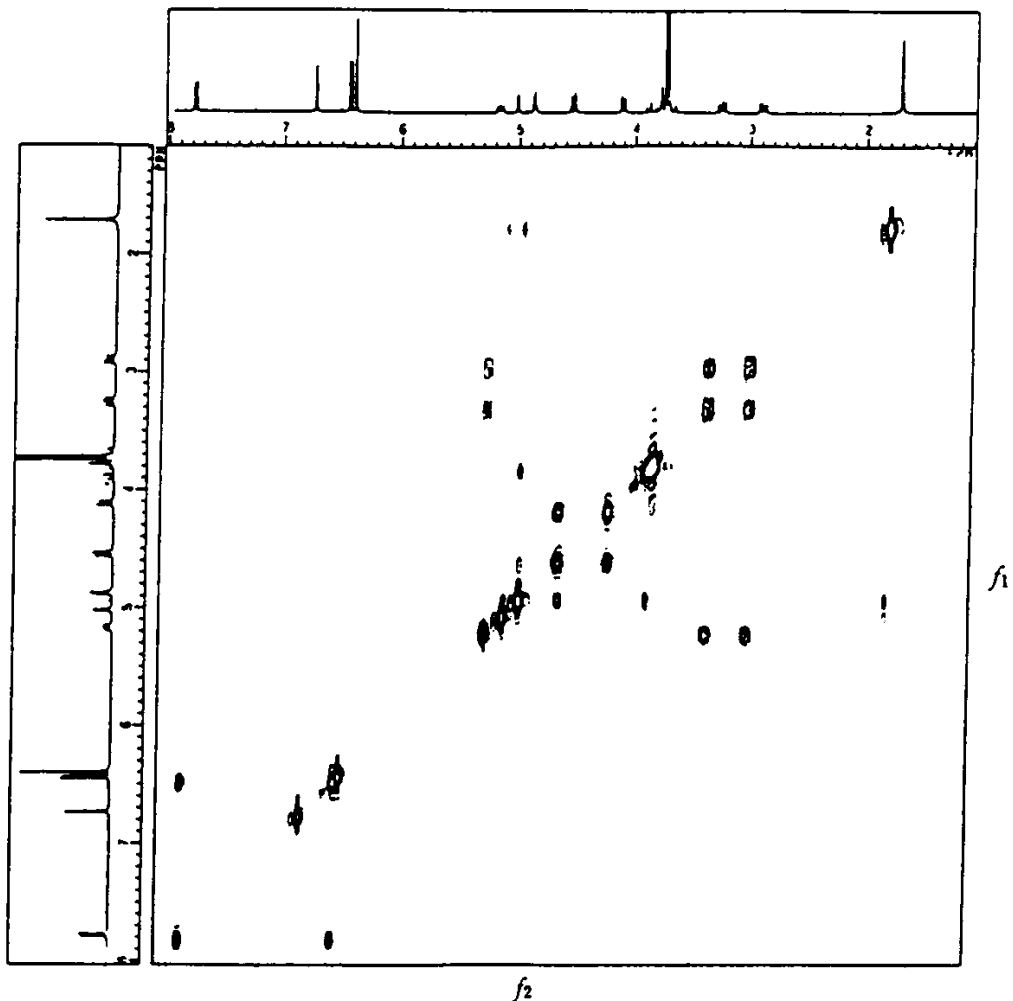
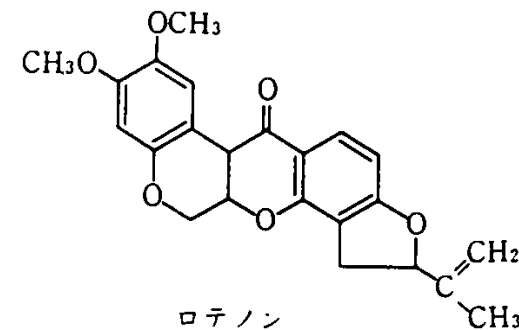
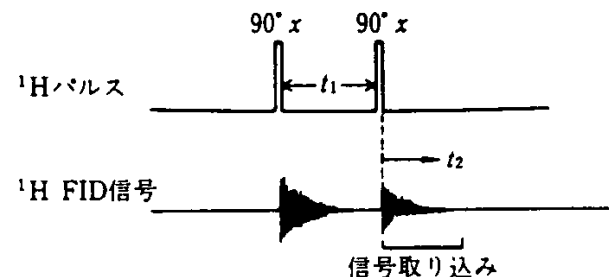


図 6.33 J 相関 ^1H - ^1H 2 次元 NMR (COSY スペクトルの counter plot), ロテノン, 400MHz, f_1 , f_2 . [日本電子株式会社提供]



(c) $\delta_{\text{H}}/\delta_{\text{H}}$ 相関 (J_{HH} を介して)



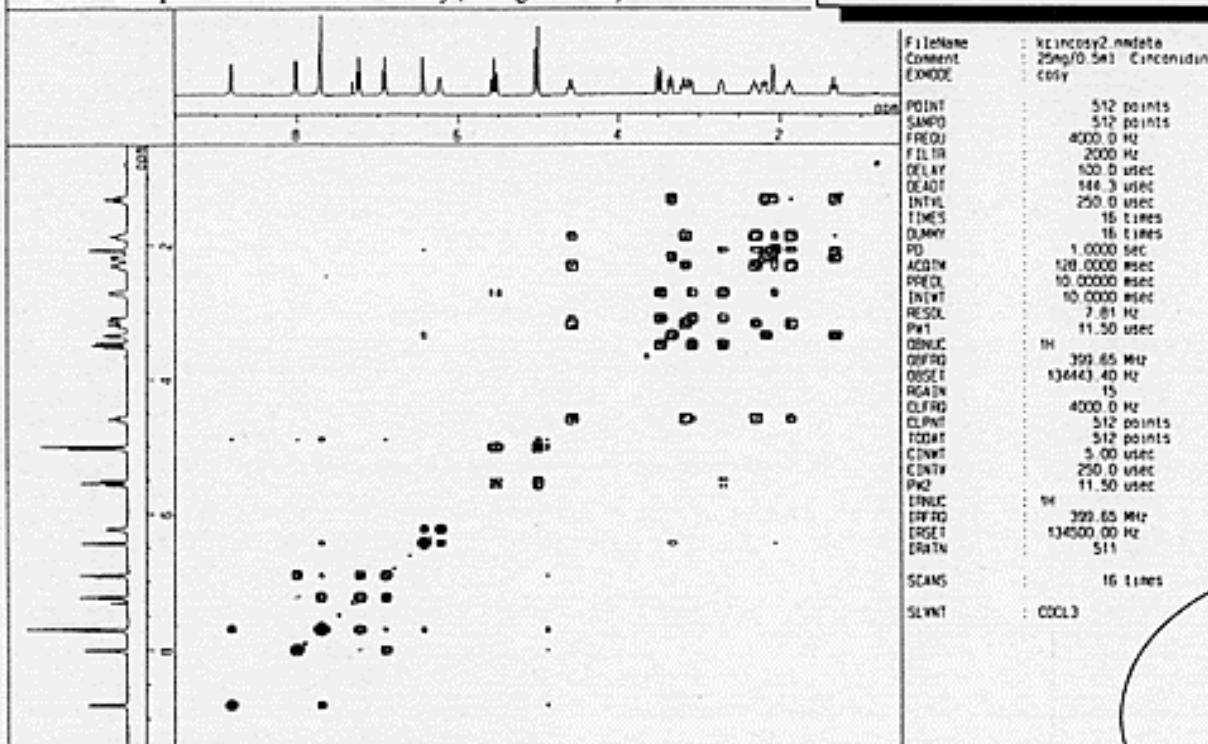
COSY

CHAPTER 3 ^1H OBSERVATION 2D NMR

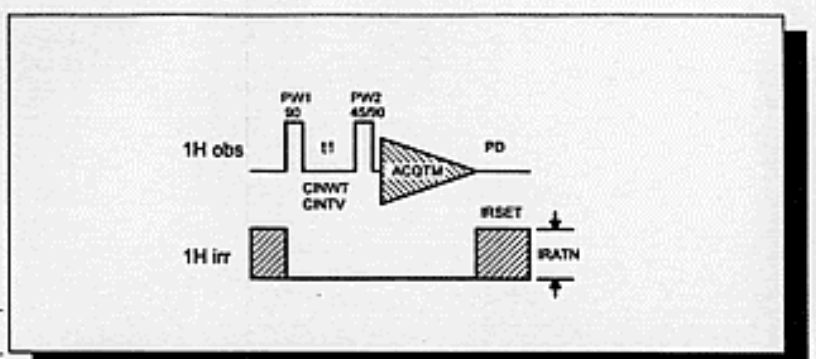
3-1-1 Homonuclear Shift Correlation (cosy)

Correlations between the J -coupled signals are observed. The spin coupling network of ^1H nuclei in a molecule can be clarified by this experiment. By adjusting parameters, small long-range couplings can also be observed.

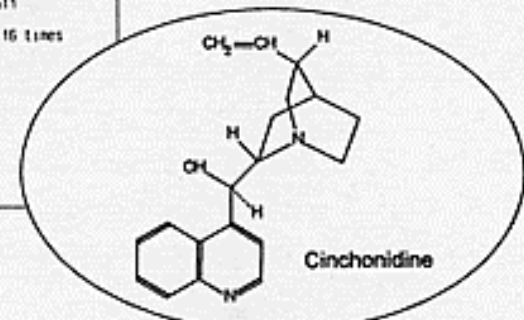
3-1-1/ Sample: Cinchonidine in CDCl_3 (25 mg/0.55 ml)



Both f_2 and f_1 axes represent the ^1H chemical shift.



Correlation signals appear as cross peaks at coordinates (δ_A, δ_X) and (δ_X, δ_A) , where δ_A and δ_X are chemical shifts of the nuclei A and X between which J -coupling is present.



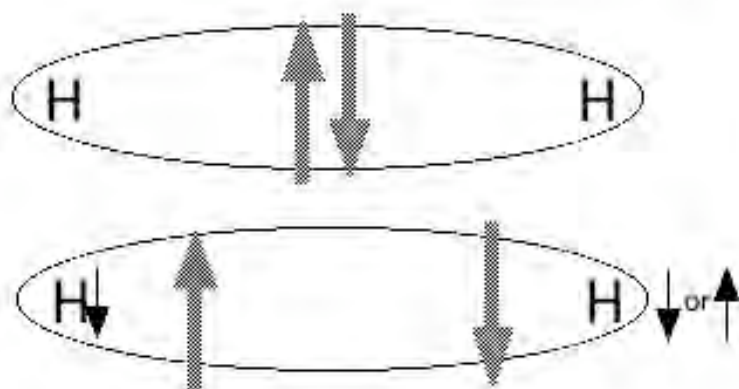
本日のアイテム

- ・新しい磁気共鳴
 - INEPT と DEPT
 - DOSY
 - COSY
 - NOESY
 - 2D INADEQUATE

NOE

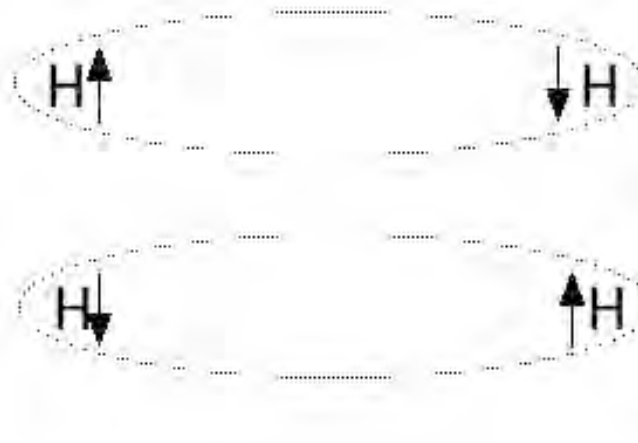
NOE 何故起こる？

Spin-spin coupling



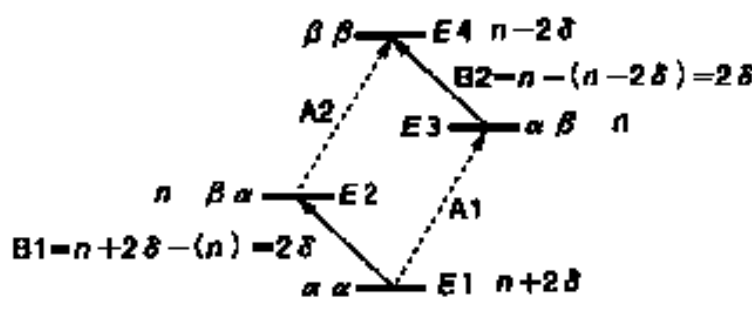
not the matter of distance

NOE

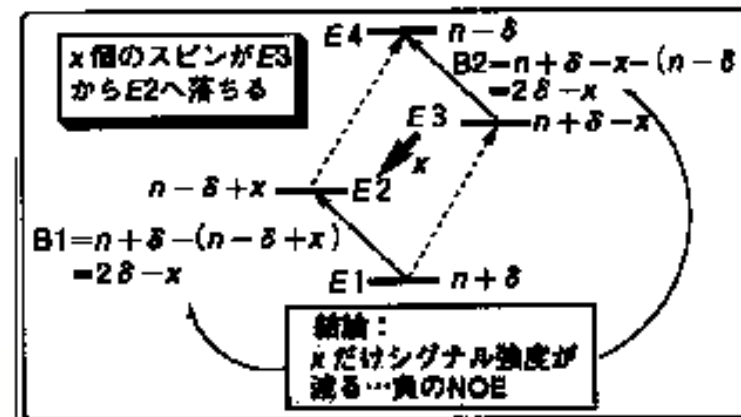
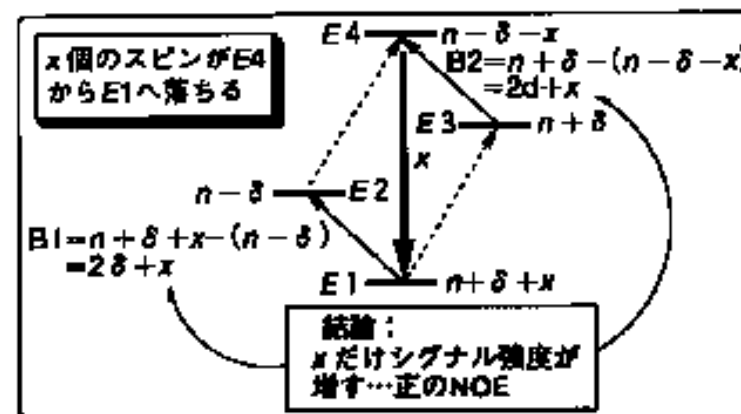
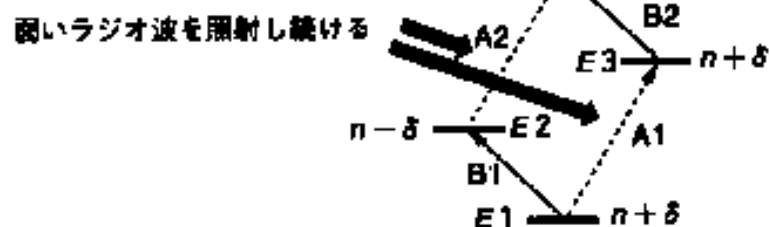


$$\frac{1}{r^6}$$

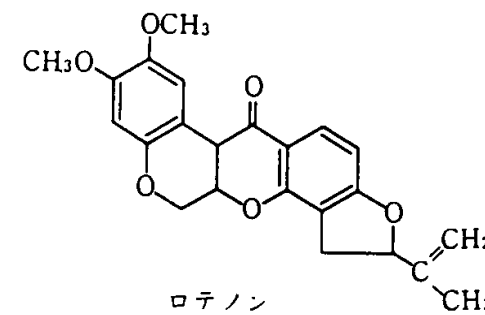
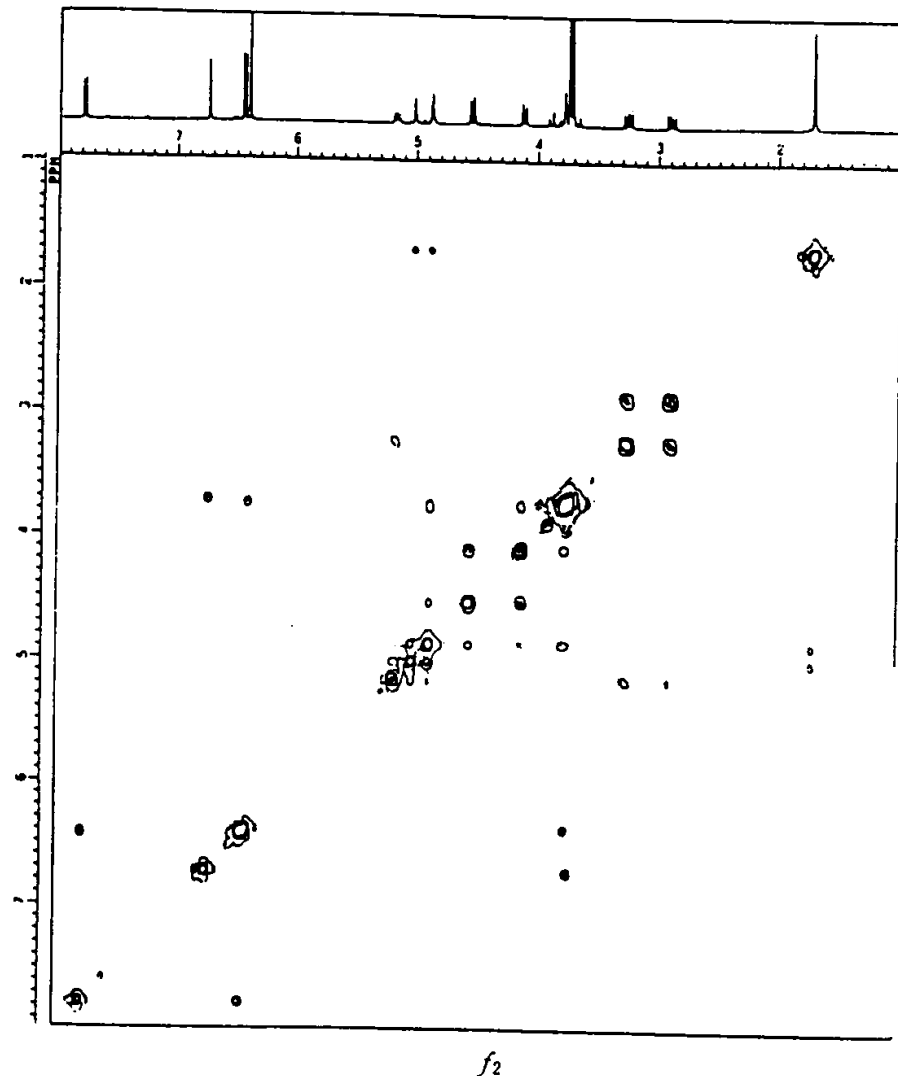
NOE



弱く A_1, A_2 を
照射して飽和させる



NOESY



(e) $\delta_{\text{H}}/\delta_{\text{H}}$ 相関 (NOEを介して)

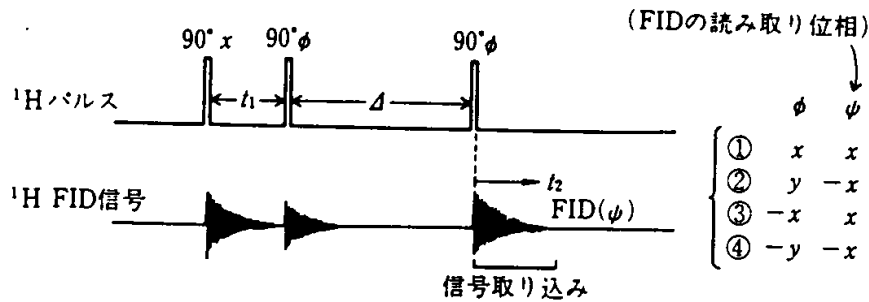
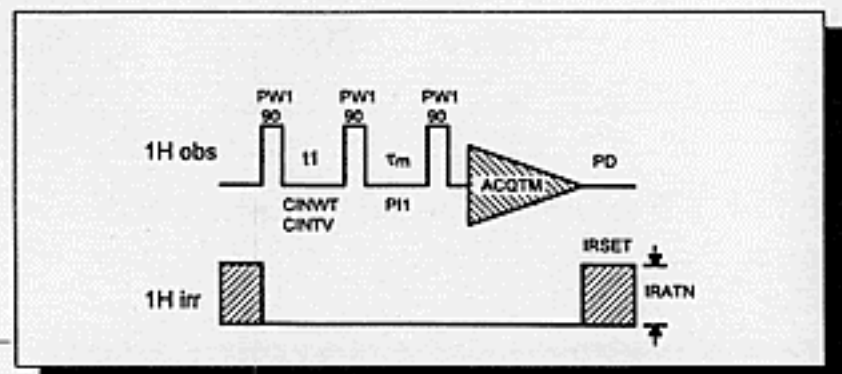


図 6.34 NOE 相関 ^1H - ^1H 2 次元 NMR (NOESY スペクトルの counter plot), ロテノン, 400MHz, f_1 , f_2 : δ_{H} . [日本電子株式会社提供]

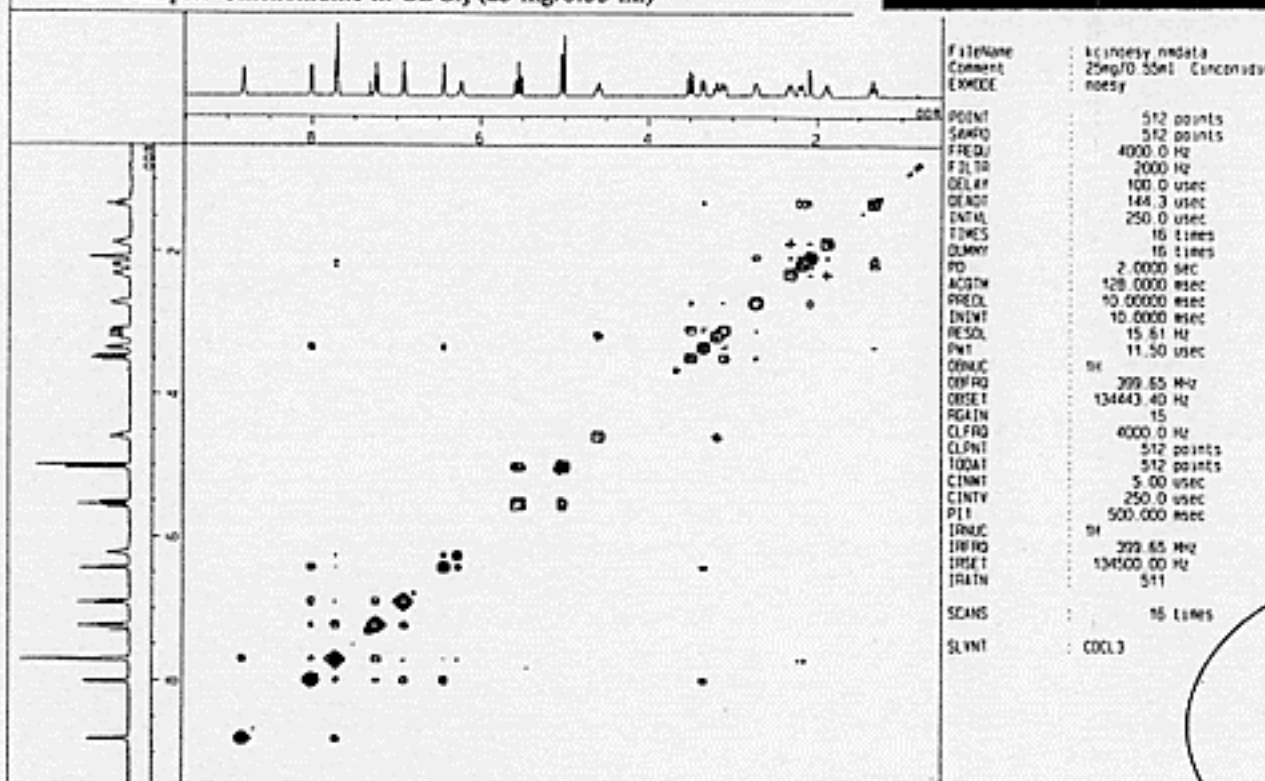
NOESY

3-2-1 Homonuclear NOE Correlation (noesy)

The correlation signals due to NOE and chemical exchange are observed. By observing NOE, information on nuclei spatially close can be obtained. The method is useful in analysis of three-dimensional structures of compounds.

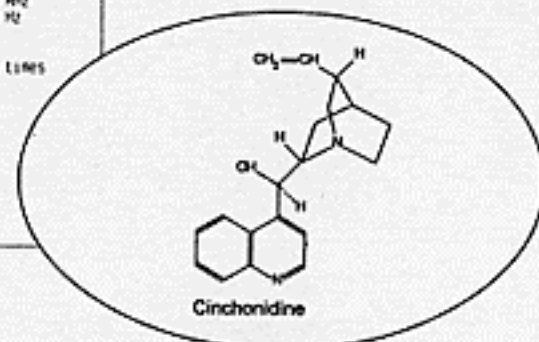


3-2-1/ Sample: Cinchonidine in CDCl_3 (25 mg/0.55 ml)



Both the f_2 and f_1 axes represent the ^1H chemical shift.

Correlation signals appear as cross peaks along perpendicular lines at the corresponding signal positions on the f_2 and f_1 axes. Since the correlation signals due to J -coupling also appear, use data of cosy, etc. together to distinguish them.



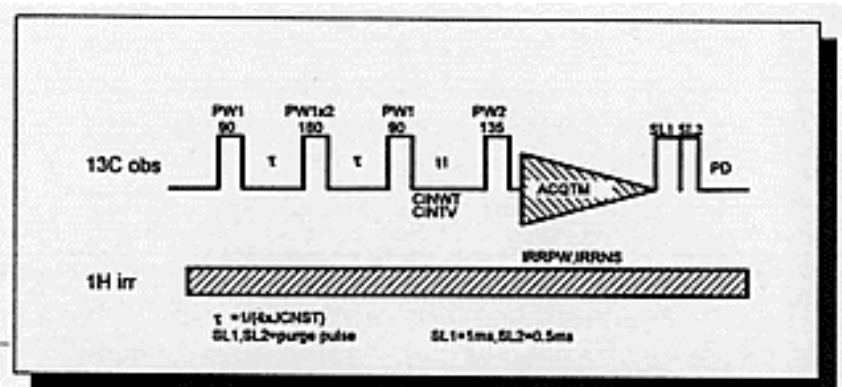
本日のアイテム

- ・新しい磁気共鳴
 - INEPT と DEPT
 - DOSY
 - COSY
 - NOESY
 - 2D INADEQUATE

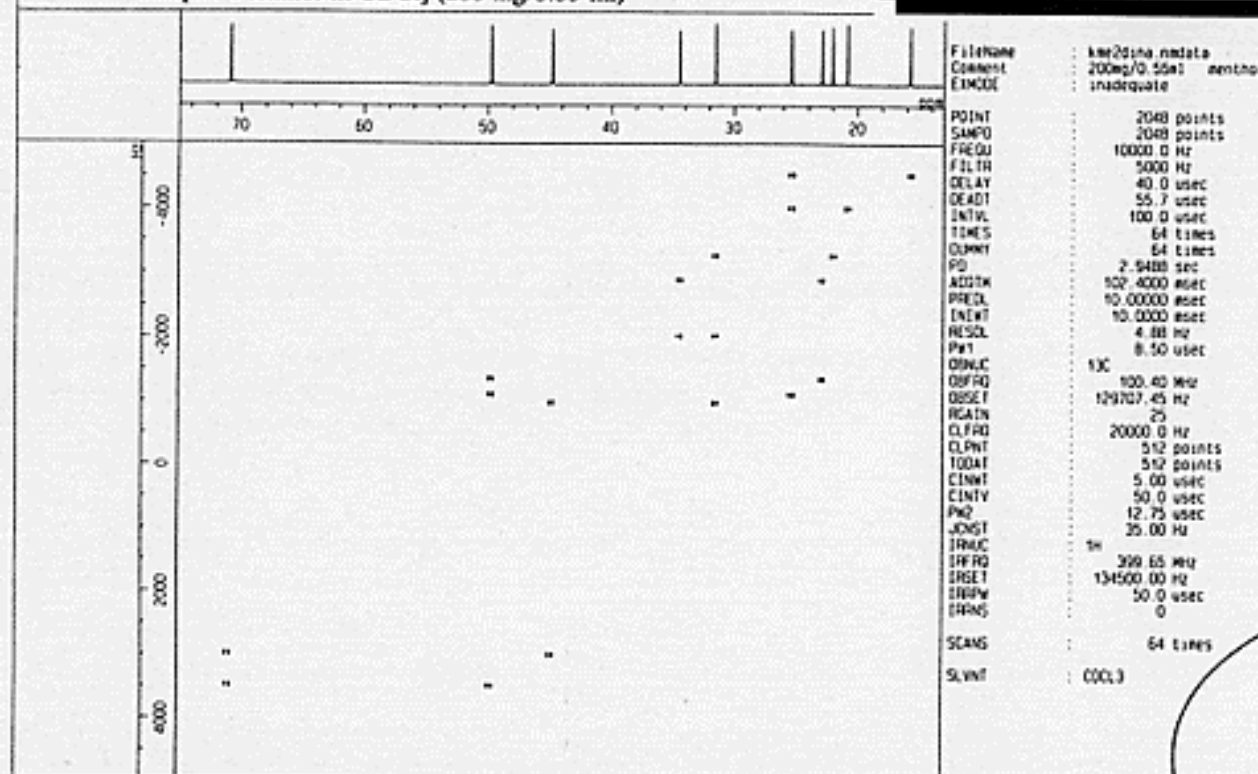
2D-INADEQUATE

4-3 INADEQUATE

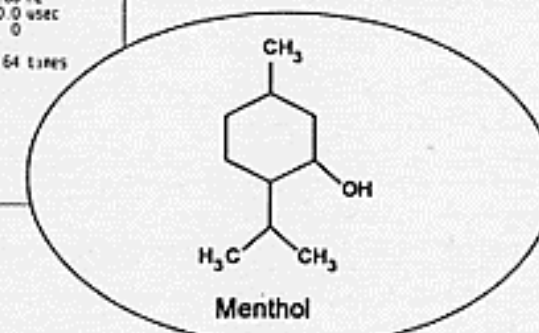
Linkage between the ^{13}C and ^1H nuclei is observed. Signals of ^{13}C nuclei bonded with ^1H nuclei are eliminated. The method is useful for clarifying carbon skeletons of compounds.



4-3-1/ Sample: Menthol in CDCl_3 (200 mg/0.55 ml)



The f_1 axis represents the ^{13}C chemical shift and the f_2 axis the double-quantum frequency of a two- ^{13}C spin system. Correlation signals are observed at equal distances to the left and right sides from a straight line drawn from the right top to the left bottom with a gradient of about 63.4° .



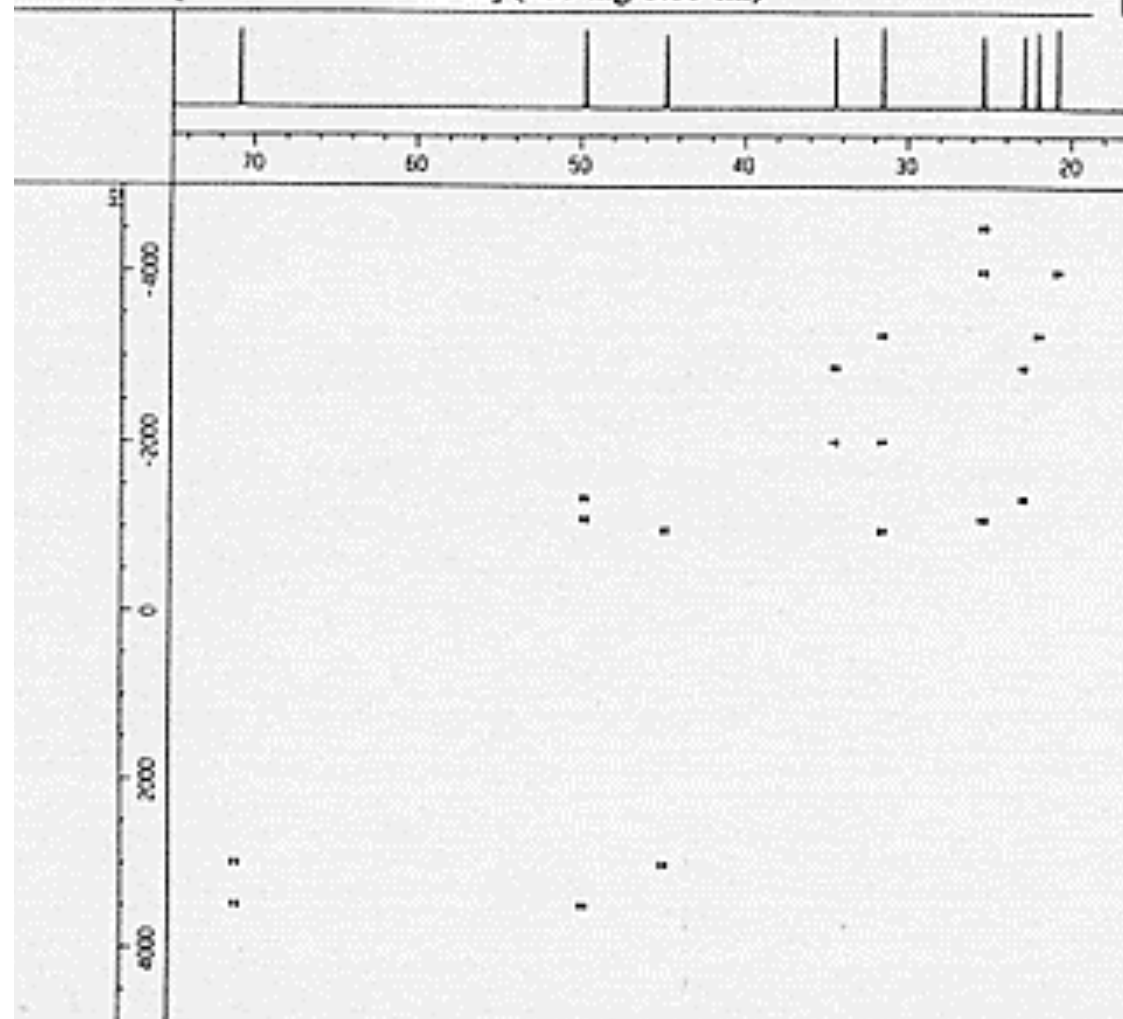
2D-INADEQUATE

- ^{13}C - ^{13}C の相関から、炭素骨格の構造決定
- 確率的にめちゃ低い \Leftrightarrow ノイズ少ない

1H irr

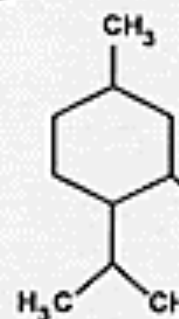
 $\tau = 1/\pi J_{\text{H,H}}$
 SL1,SL2=purge pulse

SL1=1ms,SL2=0.5ms

-3-1/ Sample: Menthol in CDCl_3 (200 mg/0.55 ml)

FileName : kar2dina.nmdat
 Comment : 200mg/0.55ml menthol
 EXMODE : inadequate
 POINT : 2048 points
 SAMPO : 2048 points
 FREQU : 10000.0 Hz
 FILTR : 5000 Hz
 DELAY : 40.0 usec
 DEADT : 55.7 usec
 INTVL : 100.0 usec
 TIMES : 64 times
 QSWRT : 64 times
 P0 : 2.9488 sec
 ADDTM : 502.4000 usec
 PREDL : 10.00000 usec
 ENDT : 10.00000 usec
 RESOL : 4.88 Hz
 P1 : 8.50 usec
 13C :
 QFREQ : 100.40 Hz
 QFSET : 129107.45 Hz
 QFQIN : 25
 QFQPO : 20000.0 Hz
 QFQPT : 512 points
 T0DAT : 512 points
 CINMT : 5.00 usec
 CINTY : 50.0 usec
 P02 : 12.75 usec
 J01ST : 25.00 Hz
 JRMUC :
 JRFQ : 399.65 Hz
 JRFSET : 134500.00 Hz
 JRFPW : 50.0 usec
 JRFNS : 0
 SCANS : 64 times
 SVMT : 000.3

The f_1 axis represents the chemical shift and the quantum frequency of the system. Correlations are observed at equal distances on the left and right sides of the 2D plot. A 1D 1H NMR spectrum is drawn from the 2D plot at the bottom with a gradient of 63.4°.



Menthol

FT-NMR

- ・ 多次元化することにより構造解析容易。
- ・ 見えないものが見えるようになった。
- ・ 装置の変更は小、プログラムの多様化
 - →同じ装置で多機能化

大学院SC-NMR使用上の注意

- 装置の操作が簡単になったので、マナーが主な試験の不合格理由！
- 数年前にあった実例
 - 試験中にコンピューターがフリーズ！
 - 受験者「すいません、コンピューターの故障です」
 - 試験官「で、どうする？」
 - 受験者「試験続行できないから、先生、直して下さい。」
 - 試験官『OUT!』
 - 受験者「え、なにそれ？」「やってられないよー」

大学院SC-NMR使用上の注意

- 装置はデリケートだから丁寧に扱う
- 小さな異常でも看過しない
- 室温に注意
- 異常を発見したらすぐに教員→監守者へ
- 指定のサンプルチューブ以外の使用禁止
- トラブルたらすぐに連絡（誰に？）
- 部屋の整理整頓、ゴミに注意

大学院SC-NMR使用上の注意

- 責任がもてない時間の使用禁止
(担当教員帰宅後の修士学生は原則使用禁止)
夜中に監守者を呼びださない！
- 終夜測定の開始は 19 時以降
できれば 21 時以降
- 混んでいる機械の**長時間占拠は迷惑**
- 予約は必要十分な時間
– 使い終わったら次の人に連絡！

大学院SC-NMR使用上の注意

- 責任がもてない時間の使用禁止
(担当教員帰宅後の修士学生は使用禁止)

夜中に監守者を呼びださない！

監守者の召還は、教員しか行わない

平日9:00-17:00は砂月先生、松本先生
それ以外（土日休日、夜間）は学部の監守者

大学院SC-NMR使用上の注意

- 使った後は復帰
(復帰できない者は使用禁止、資格剥奪)

同様に部屋を乱雑に使う者は警告3回で剥奪

必ず標準サンプルを測定する！
(そのために必要な測定時間の確保)

- アルバトロス予約は正しい手順で
(同研究室が3回/年飛ばしたらアク禁)

大学院SC-NMR使用上の注意

- 使った後は復帰
(復帰できない者は使用禁止、資格剥奪)
同様に部屋を乱雑に使う者は警告3回で剥奪

必ず標準サンプルの測定！

教員は、熟知していることが大前提

不要なオートチューンは行わない→壊れる！

大学院SC-NMR使用上の注意

- 使った後は復帰
(復帰できない者は使用禁止、資格剥奪)
同様に部屋を乱雑に使う者は警告3回で剥奪

装置をルーチンで使わない。操作の目的の理解を試験では求める。
それが理解できていないものは不合格

不要なオートチューンは行わない→壊れる！

試験に落ちる原因

- この講習会の内容を憶えていない
(試験時に口頭試問があります)
- 試験中の装置のフリーズで試験官にヘルプを求める
- 退出時にスリッパを片付けない
- 操作は完璧でもマナー違反は資格を与えません。
- マナー違反警告 3 回で資格剥奪です。

Must!

測定終了後は標準サンプルを測定し、Shimなどがあっていることを確認する。

「時間がない」は許されない！
これが守られていない場合は、資格剥奪します！

大学院SC-NMR使用上の注意

- 常識力で、みんなでhappyになろう。
- ルールを守ってみんなでhappyになろう。
- ルールやマナーを守れないものは使用をやめてもらう